

EXPLICATION DE LA PLANCHE I.

	Pages.
FIG. 1 à 9. — <i>Actinostroma clathratum</i> NICHOLSON	77
Coupes originales conservées au British Museum (Natural History) à Londres.	
1. Coupe verticale dans le type n° 141. Gerolstein (Allemagne) (×3). Lame figurée par H. A. NICHOLSON (1888, pl. I, fig. 11).	
2. Coupe verticale dans le paratype n° 142. Gerolstein (×3).	
3. Lame verticale dans le paratype n° 145. Hebborn (×3).	
4. Coupe mixte dans le paratype n° 147. Hebborn (×3).	
5. Coupe verticale dans le type n° 148. Dartington (×3). Figurée par H. A. NICHOLSON (1888, pl. XII, fig. 3).	
5a. Coupe tangentielle dans le même spécimen (×3). Figurée par H. A. NICHOLSON (1888, pl. XII, fig. 2).	
6. Coupe verticale dans le paratype n° 150. Teignmouth (×3).	
7. Lame verticale dans le paratype n° 151. Teignmouth (×3).	
8. Coupe verticale dans le paratype n° 152. Teignmouth (×3).	
9. Coupe verticale dans le paratype n° 153a. Teignmouth (×3).	
9a. Autre coupe verticale (n° 153b) dans le même spécimen (×3).	
FIG. 10. — « <i>Stromatopora concentrica</i> » BARGATZKY = <i>Actinostroma clathratum</i> NICHOLSON	84
10. Coupe verticale originale n° 2. Hebborn (×3). Conservée au Musée de Paléontologie de l'Université de Bonn.	
FIG. 11. — « <i>Stromatopora papillosa</i> » BARGATZKY = <i>Actinostroma clathratum</i> NICHOLSON	85
11. Lame originale n° 5 (×3) conservée au Musée de Paléontologie de l'Université de Bonn.	
FIG. 12. — <i>Actinostroma clathratum</i> NICHOLSON	77
12. Coupe verticale dans un spécimen de l'Ardenne (×3). Pl. Surice 51e, n° 4176, <i>Gi.</i>	
FIG. 13. — <i>Actinostroma clathratum</i> NICHOLSON var. <i>intricatum</i> nov. var.	87
13. Coupe verticale dans un spécimen globulaire (×3). Pl. Olloy 12, n° 4552, <i>Gid.</i>	

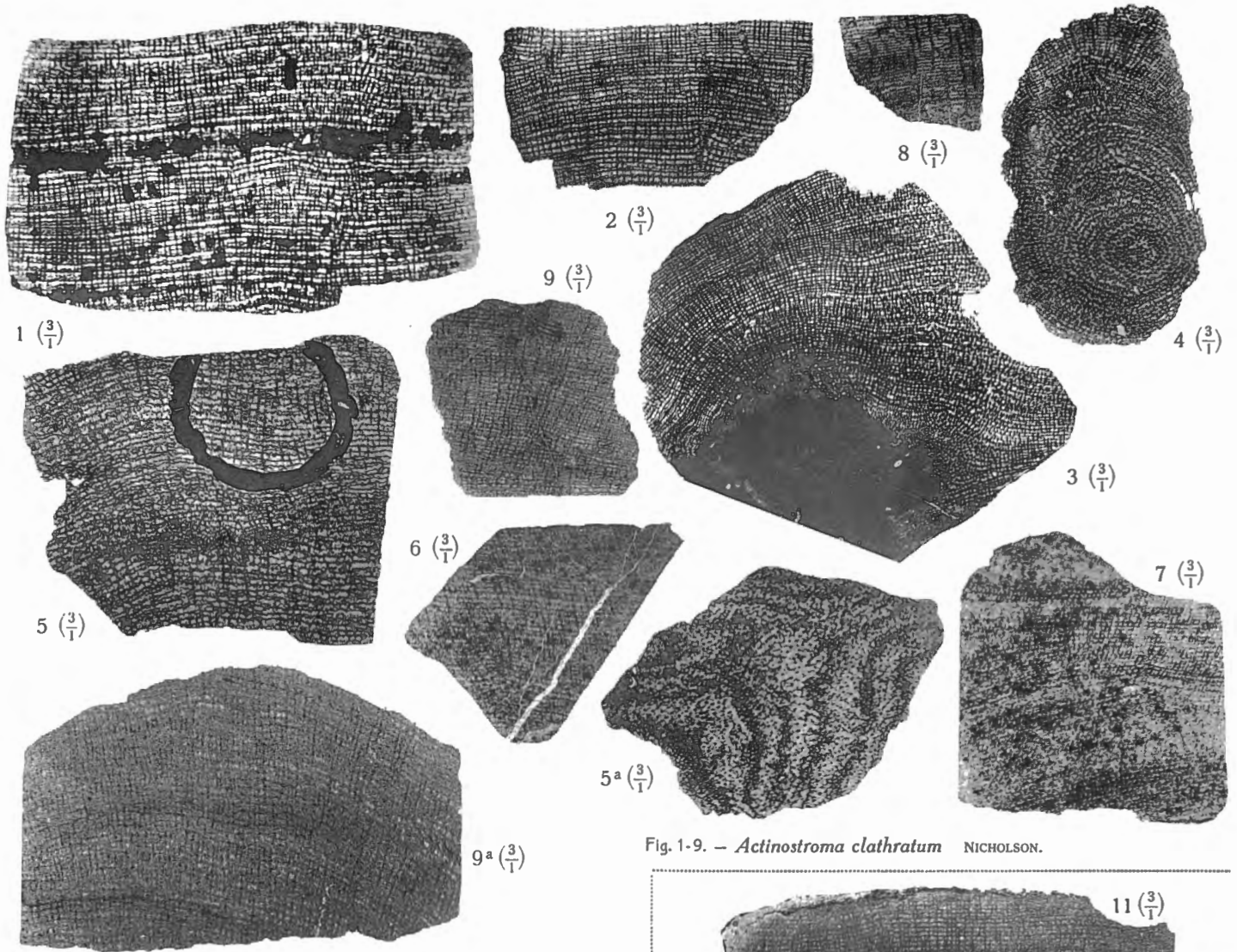


Fig. 1-9. — *Actinostroma clathratum* NICHOLSON.



Fig. 11. — "*Stromatopora papillosa*" BARGATZKY.



Fig. 10. — "*Stromatopora concentrica*" BARGATZKY.

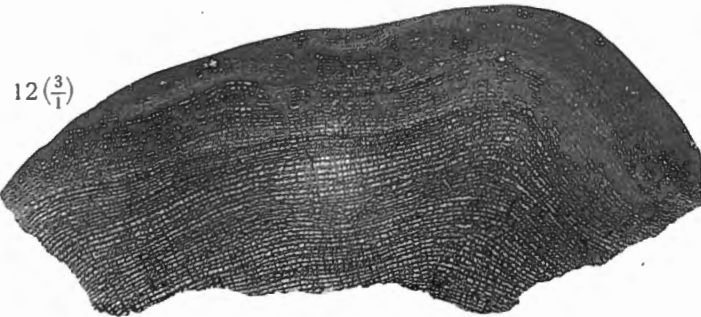


Fig. 12. — *Actinostroma clathratum* NICHOLSON.

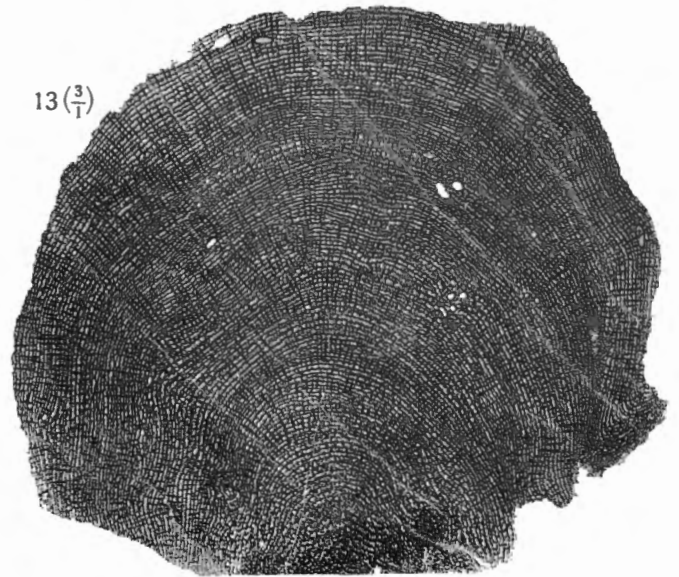


Fig. 13. — *Actinostroma clathratum* NICHOLSON.
 var. *intricatum* nov. var.

EXPLICATION DE LA PLANCHE II.

	Pages.
FIG. 1 à 2. — <i>Actinostroma clathratum</i> NICHOLSON var. <i>intricatum</i> nov. var.	87
1. Coupe verticale montrant l'irrégularité du tissu (×3). Pl. Olloy 12, n° 4574, <i>Gid.</i>	
2. Coupe verticale dans un autre spécimen du même gisement (×3). Pl. Olloy 12, n° 4587, <i>Gid.</i>	
FIG. 3 à 6. — <i>Actinostroma devonense</i> nov. sp.	88
3. Coupe verticale dans un spécimen à tissu uniforme à éléments peu contrastés (×3). Pl. Couvin 56, n° 4369, <i>F2h.</i>	
4. Coupe verticale (×3). Pl. Couvin 6150, n° 4389, <i>F1b.</i>	
4a. Coupe oblique dans le même spécimen (×3). Remarquer le contraste de cette lame comparativement à la figure 4.	
5. Coupe verticale dans un spécimen à tissu contrasté (×3). Pl. Couvin 56, n° 4534, <i>F2h.</i>	
6. Coupe verticale montrant un tissu très contrasté à piliers fortement prédominants (×3). Pl. Hamoir 7817, n° 4409, <i>F2h.</i>	

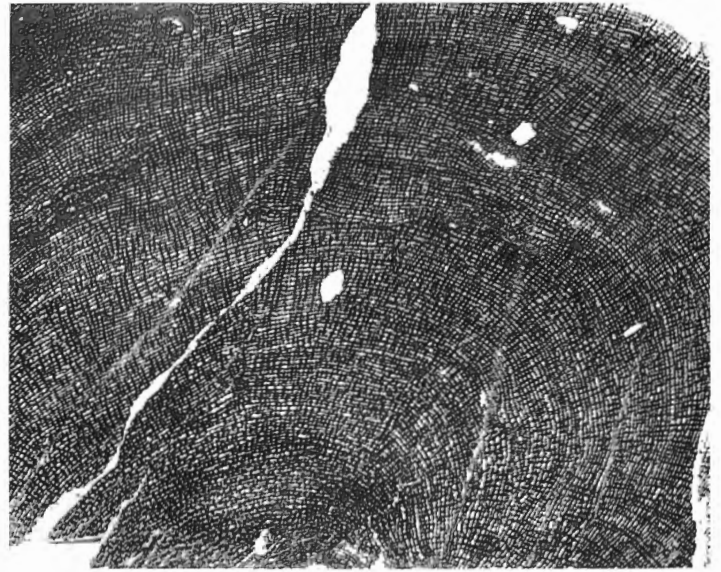
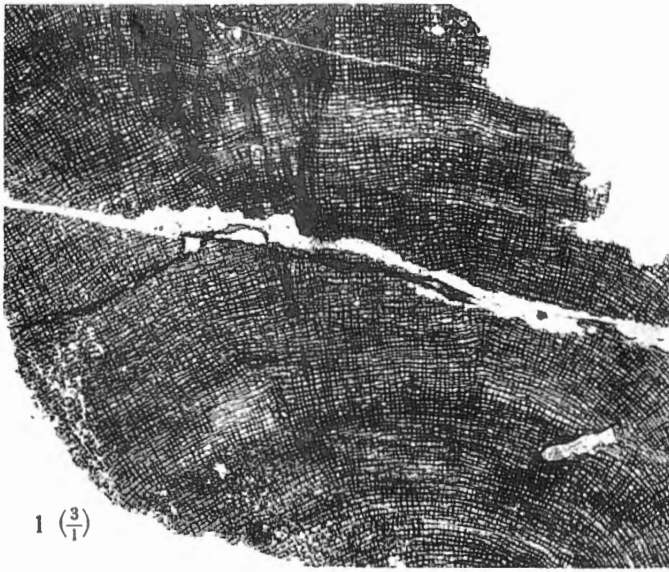


Fig. 1-2. — *Actinostroma clathratum* NICHOLSON var. *intricatum* nov. var.

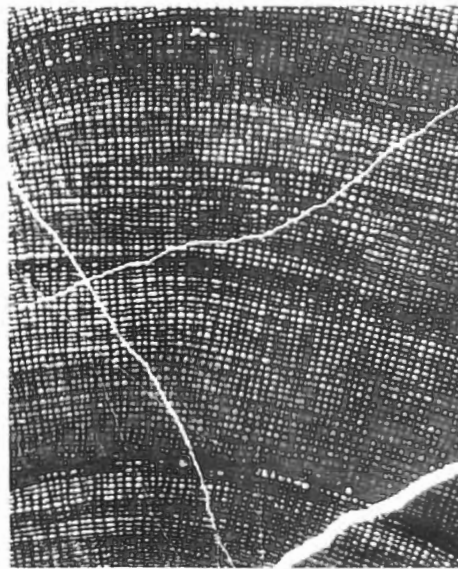
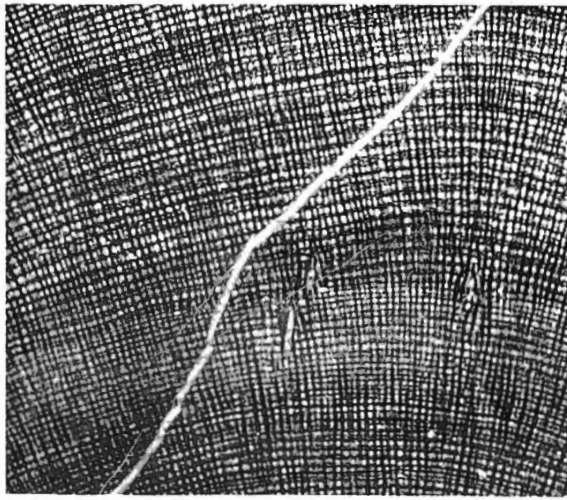


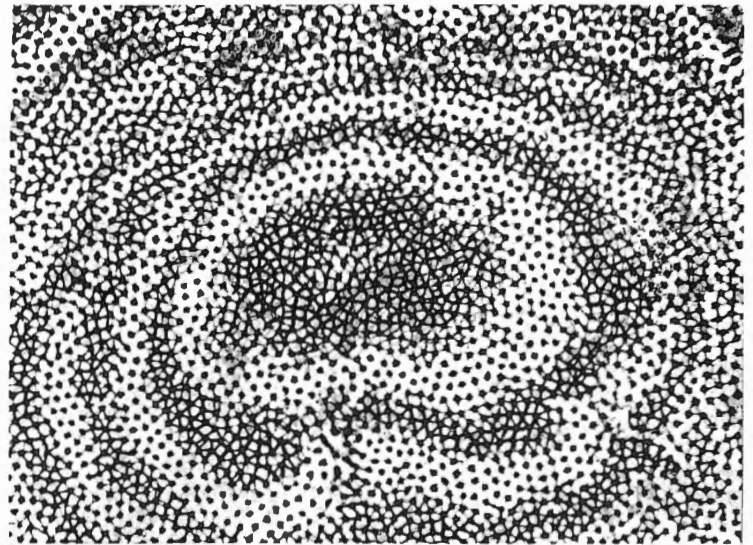
Fig. 3-6. — *Actinostroma devonense* nov. sp.

EXPLICATION DE LA PLANCHE III.

	Pages.
FIG. 1 à 3. — <i>Actinostroma devonense</i> nov. sp.	88
1. Coupe verticale montrant des lamelles groupées et prenant un aspect cellulaire (×3). Remarquer les astrorhizes très redressées. Pl. Couvin 6150, n° 4379, F1b.	
1a. Coupe tangentielle dans le même spécimen (×3).	
2. Coupe tangentielle montrant une étoile astrorhizale très ramifiée, à branches étroites (×3). Pl. Couvin 56, n° 4524, F2h.	
3. Coupe tangentielle montrant deux types de réseaux hexactinelloïdes (×6). Pl. Couvin 6150, n° 4389, F1b.	
FIG. 4 à 6. — <i>Actinostroma hebbornense</i> NICHOLSON	92
4. Coupe verticale dans le paratype n° 185a de H. A. NICHOLSON (Hebborn) (×3), conservée au British Museum (Natural History).	
5. Coupe verticale dans un exemplaire original de « <i>Stromatopora astroites</i> » BARGATZKY (×3). Lame originale (n° 4) conservée au Musée de Paléontologie de l'Université de Bonn. Schladetal (Ober Mitt. Devon.).	
6. Coupe verticale dans un autre original d'A. BARGATZKY, Hebborn (×3). Lame originale (n° 11) conservée au Musée de Paléontologie de l'Université de Bonn.	
FIG. 7 à 8. — <i>Actinostroma densatum</i> nov. sp.	94
7. Coupe verticale dans le type de l'espèce (×3). Pl. Rance 44, n° 4329, F2g.	
7a. Partie agrandie de la même coupe (×6).	
8. Coupe verticale dans le paratype (×3). Pl. Olloy 12, n° 4596, G1d.	



1 ($\frac{3}{1}$)

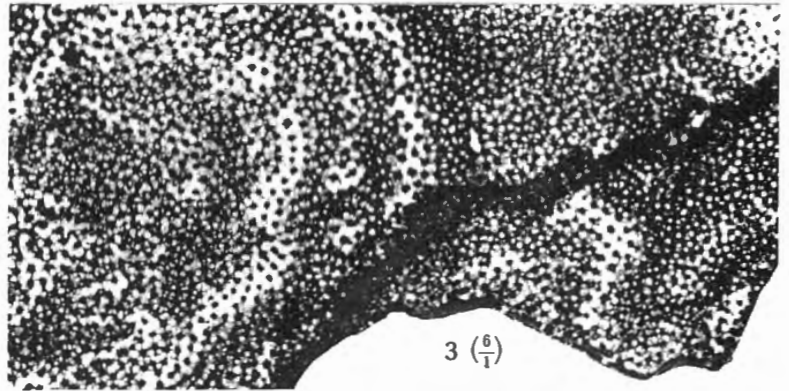


1^a ($\frac{6}{1}$)



2 ($\frac{3}{1}$)

Fig. 1-3.
Actinostroma devonense
 nov. sp.



3 ($\frac{6}{1}$)



4 ($\frac{3}{1}$)



5 ($\frac{3}{1}$)



6 ($\frac{3}{1}$)

Fig. 4-6. — *Actinostroma hebbornense* NICHOLSON.



7 ($\frac{3}{1}$)



7^a ($\frac{6}{1}$)



8 ($\frac{3}{1}$)

Fig. 7-8. — *Actinostroma densatum* nov. sp.

EXPLICATION DE LA PLANCHE IV.

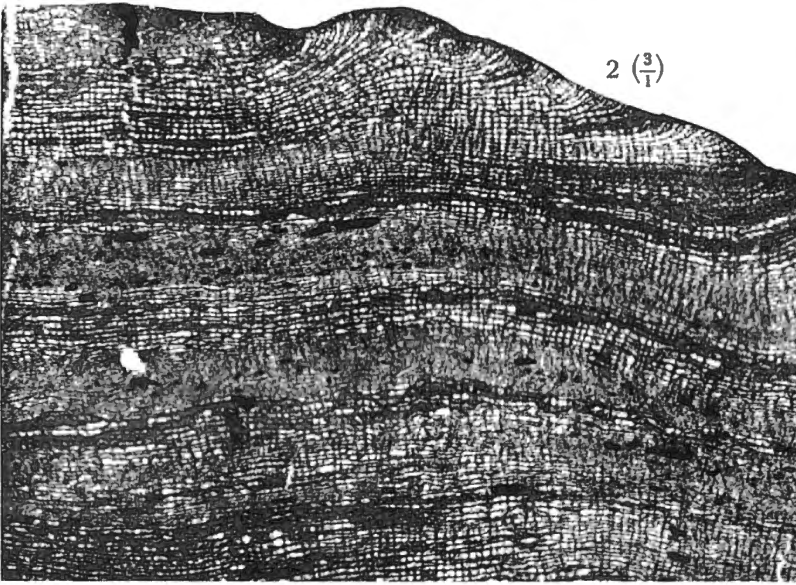
	Pages.
FIG. 1 à 4. — <i>Actinostroma dehorneæ</i> nov. sp.	96
1. Coupe verticale dans le paratype (×3). Remarquer l'empâtement calcaire dont le centre est localisé au-dessus d'un bombement lamellaire. Pl. Surice 26, n° 4136, <i>F2g</i> .	
1a. Partie agrandie de la même coupe (×6).	
1b. Coupe tangentielle dans le même spécimen, montrant des étoiles astrorhizales à branches nombreuses, très ramifiées (×3).	
2. Coupe verticale montrant une zonation de caractère latilaminaire déterminée par l'écartement et l'allure variables des lamelles (×3). Pl. Rance 43, n° 4312, <i>F2g</i> .	
3. Coupe verticale dans un spécimen dont les lamelles présentent localement une structure lenticulaire irrégulière ou subdissépimentaire (×3). Pl. Rance 43, n° 18728, <i>F2g</i> .	
4. Coupe verticale dans un paratype (×3). Pl. Rance 43, n° 18714, <i>F2g</i> .	



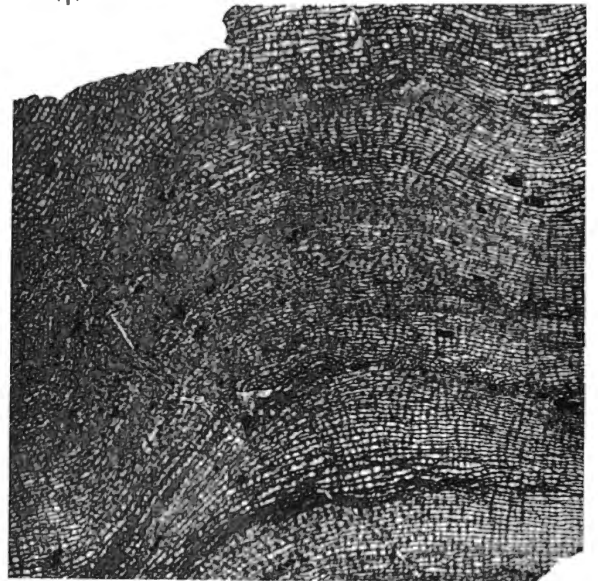
1 ($\frac{3}{1}$)



1^a ($\frac{6}{1}$)



2 ($\frac{3}{1}$)



3 ($\frac{3}{1}$)



1^b ($\frac{3}{1}$)



4 ($\frac{3}{1}$)

Fig. 1-4. — *Actinostroma dehorneæ* nov. sp.

EXPLICATION DE LA PLANCHE V.

	Pages.
FIG. 1 à 5. — <i>Actinostroma dehornæ</i> var. <i>densicolumnatum</i> nov. var.	98
1. Coupe verticale montrant un contraste net entre les zones à tissu lâche et à tissu serré (×3). Pl. Surice 52g, n° 4211, F2g.	
2. Coupe verticale dans un gros spécimen. Les deux types de tissu sont ici irrégulièrement indentés l'un dans l'autre (×3). Pl. Louveigné 22, n° 4343, F111.	
3. Coupé verticale dans une grosse colonie. Remarquer les lamelles groupées en tissu subcellulaire dans les zones claires (×3). Pl. Louveigné 22, n° 4359, F111.	
3a. Partie agrandie de la même coupe (×6).	
4. Coupe verticale (×3) où les zones à tissu serré sont imprégnées de pigment noir. Pl. Sautour 7574, n° 4294, F2g.	
5. Coupe verticale dans un spécimen complètement dépourvu de zonation (×3).	

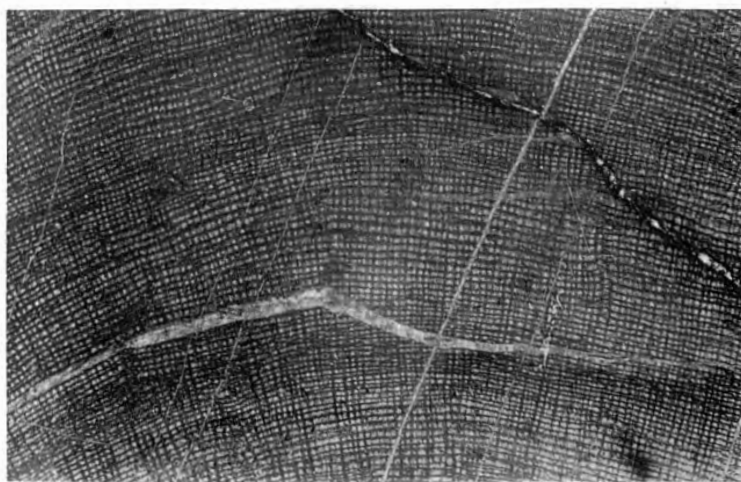
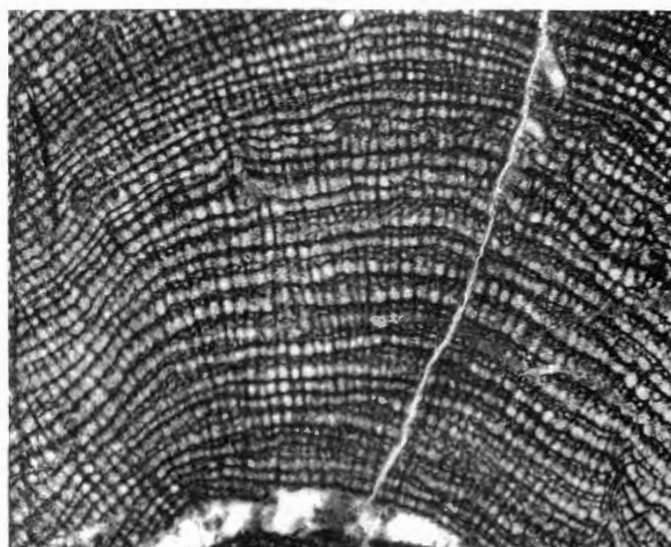
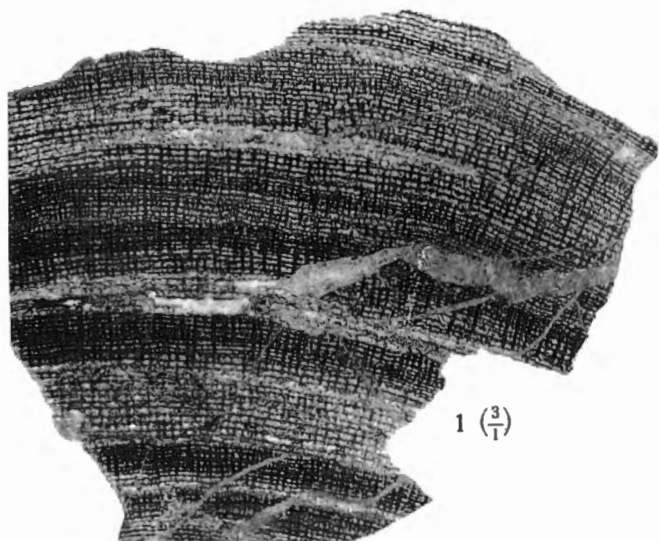
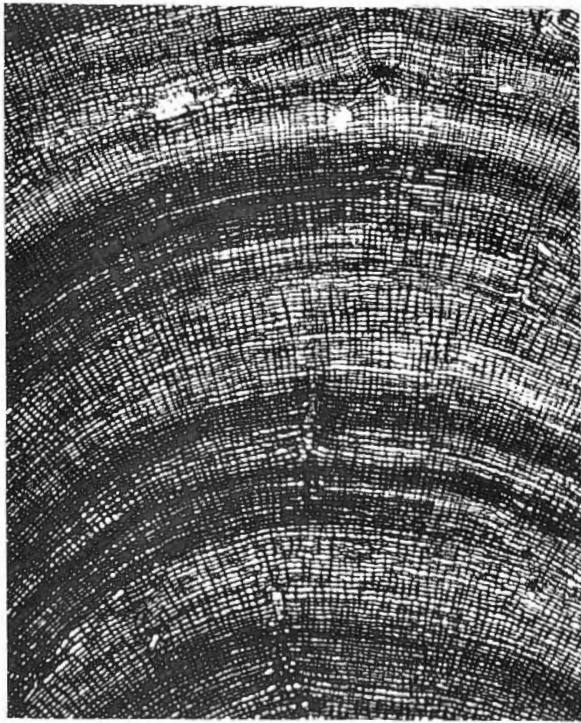


Fig. 1-5. — *Actinostroma dehornee* var. *densicolumnatum* nov. var.

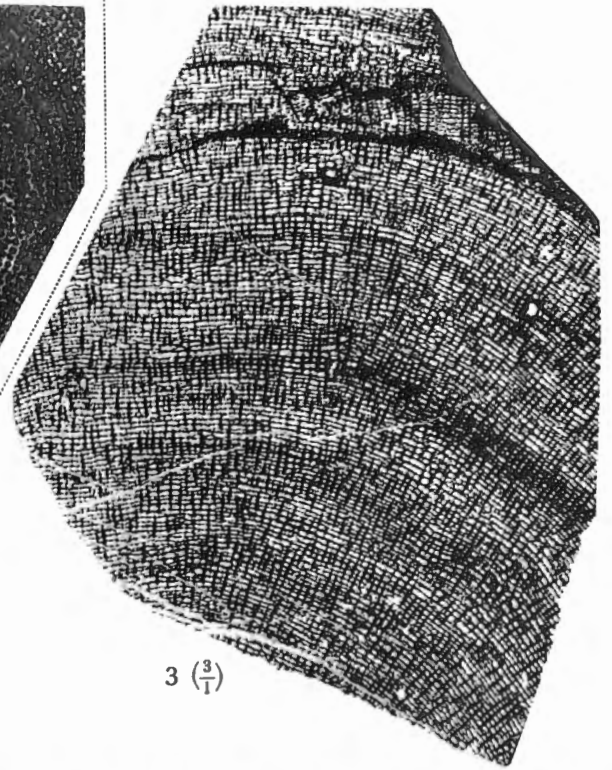
EXPLICATION DE LA PLANCHE VI.

	Pages.
FIG. 1. — <i>Actinostroma dehorneæ</i> var. <i>constrictum</i> nov. var.	99
1. Coupe verticale montrant une sorte de latilamination marquée par des zones alternantes, d'importance variable, à lamelles serrées, pigmentées, et à lamelles plus espacées (×3). Pl. Rance 50, n° 4333, <i>F2g</i> .	
1a. Coupe tangentielle dans le même spécimen (×3).	
FIG. 2 à 4. — <i>Actinostroma septatum</i> nov. sp.	99
2. Coupe verticale dans le holotype (×3). Pl. Han-sur-Lesse 6199, n° 4593, <i>Gib</i> .	
2a. Partie agrandie de la même coupe (×6). Remarquer l'abondance des septa astrorhizaux.	
3. Coupe verticale dans un paratype (×3). Pl. Senzeille 28, n° 4237, <i>F1b</i> .	
4. Coupe verticale dans un spécimen dont les lamelles ont une allure subvésiculaire (×3). Pl. Senzeille 6841, n° 4259, <i>F2g</i> .	
4a. Coupe tangentielle dans le même spécimen (×3).	



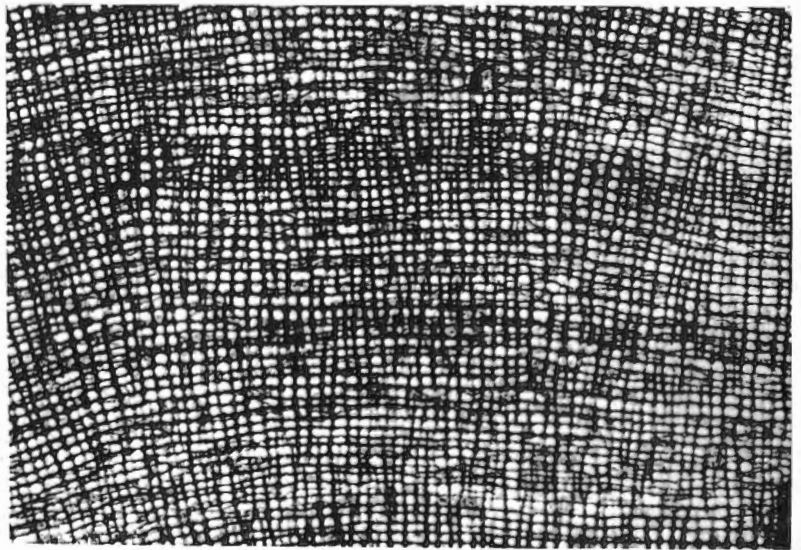
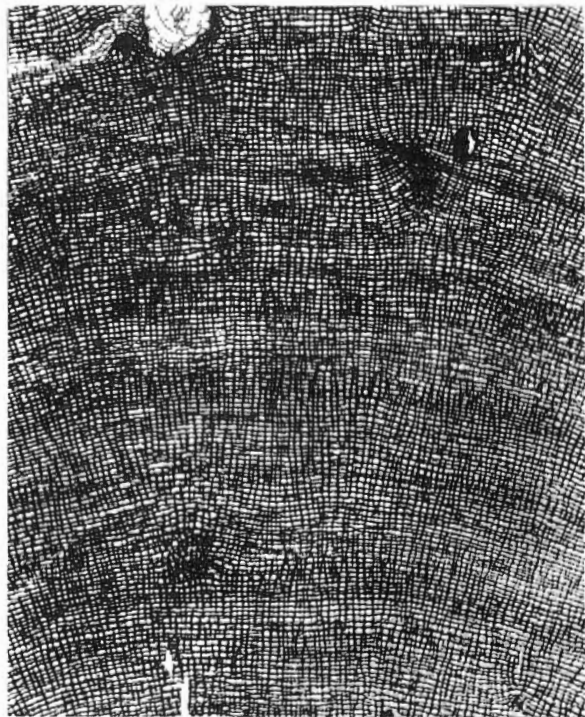
1^a ($\frac{3}{1}$)

Fig. 1. — *Actinostroma dehornea*
 var. *constrictum*
 nov. var.



3 ($\frac{3}{1}$)

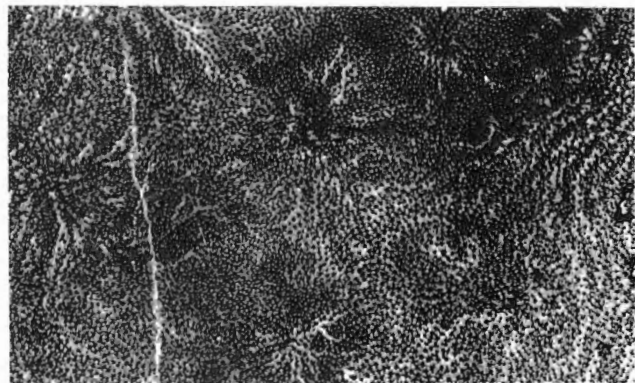
1 ($\frac{3}{1}$)



2^a ($\frac{6}{1}$)

2 ($\frac{3}{1}$)

4 ($\frac{3}{1}$)



4^a ($\frac{3}{1}$)

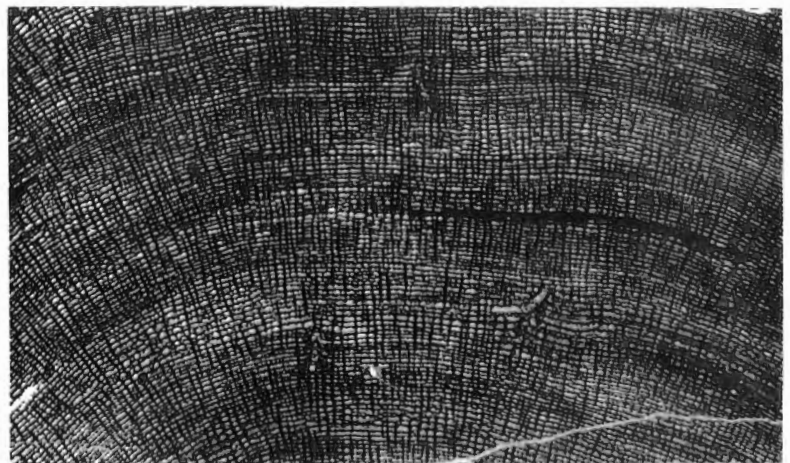
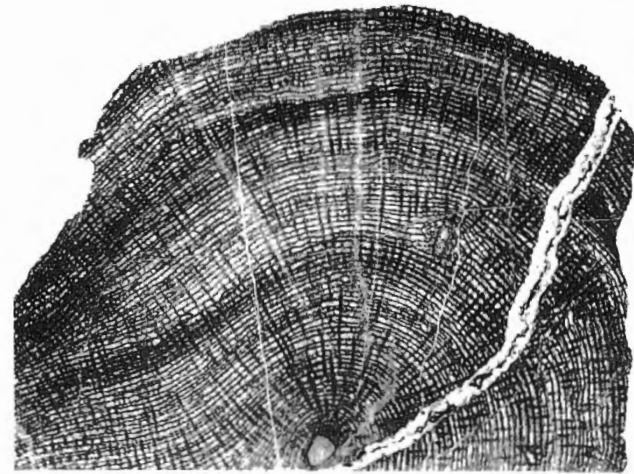


Fig. 2-4. — *Actinostroma septatum* nov. sp.

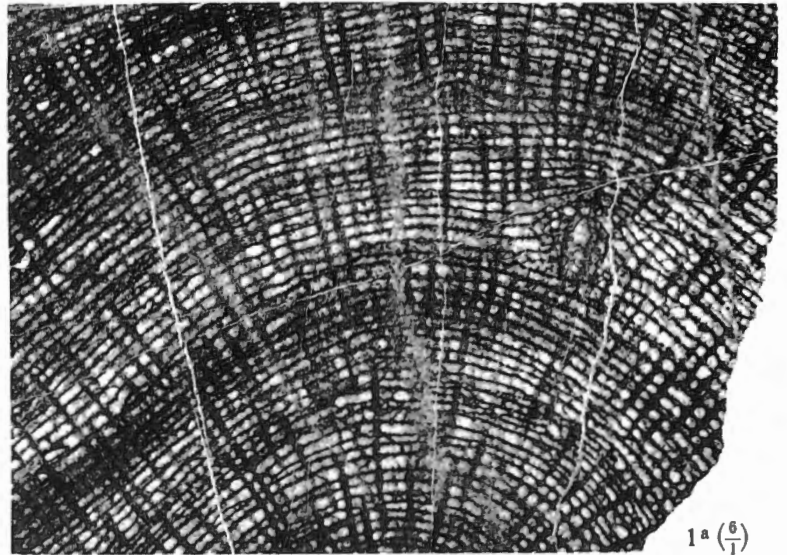
EXPLICATION DE LA PLANCHE VII.

	Pages.
FIG. 1. — <i>Actinostroma septatum</i> var. <i>robustum</i> nov. var.	101
1. Coupe verticale dans un spécimen globulaire (×3). Pl. Han-sur-Lesse 6199, n° 4461, <i>Gib.</i>	
1a. Partie agrandie de la même coupe (×6).	
FIG. 2. — <i>Actinostroma tabulatum</i> nov. sp.	102
2. Coupe tangentielle dans le holotype, montrant les piliers isolés ou réunis par un réseau hexactinelloïde puissant (×3). Pl. Senzeille 27b, n° 4589, <i>F1b ?</i>	
2a. Coupe verticale dans le même spécimen (×3).	
2b. Partie agrandie de la même coupe (×6).	
FIG. 3. — <i>Actinostroma tabulatum</i> var. <i>crassum</i> nov. var.	103
3. Coupe verticale montrant une partie des piliers réduits à un alignement de ponctuations fixées sur les lamelles (×6). Pl. Rance 52, n° 4342, <i>F2g.</i>	

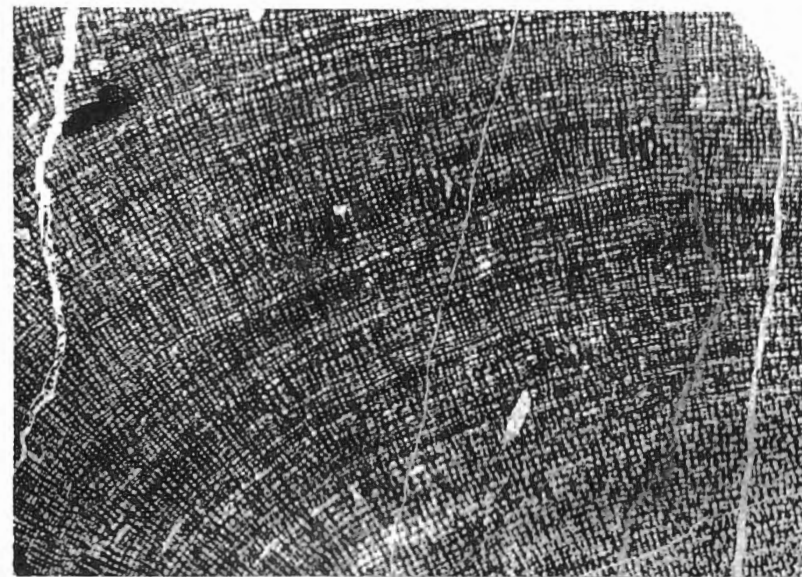


1 ($\frac{3}{1}$)

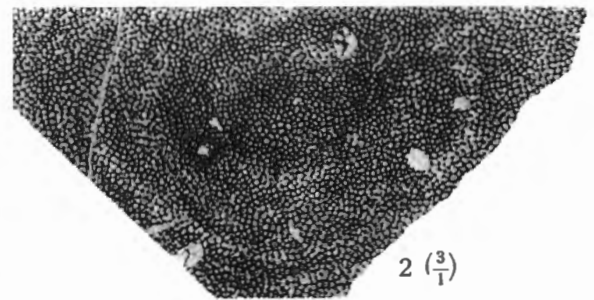
Fig. 1. — *Actinostroma septatum* var. *robustum* nov. var.



1^a ($\frac{6}{1}$)

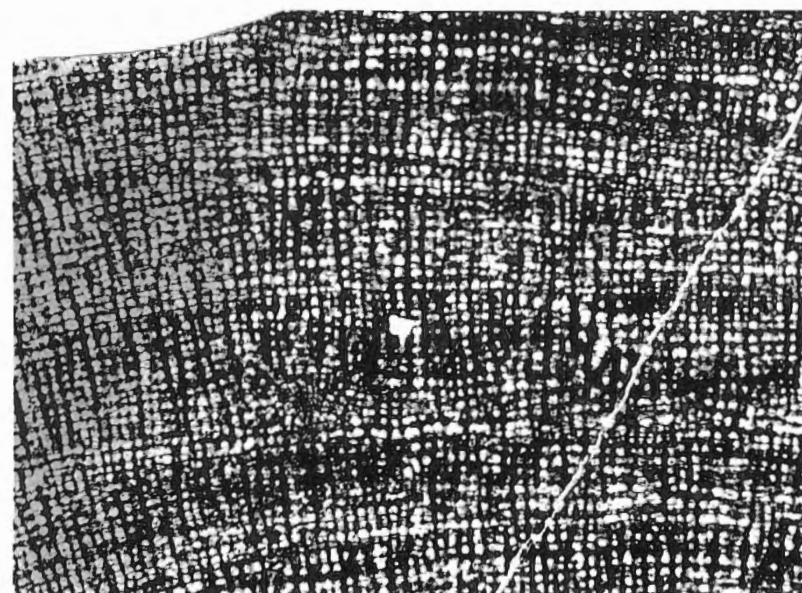


2^a ($\frac{3}{1}$)

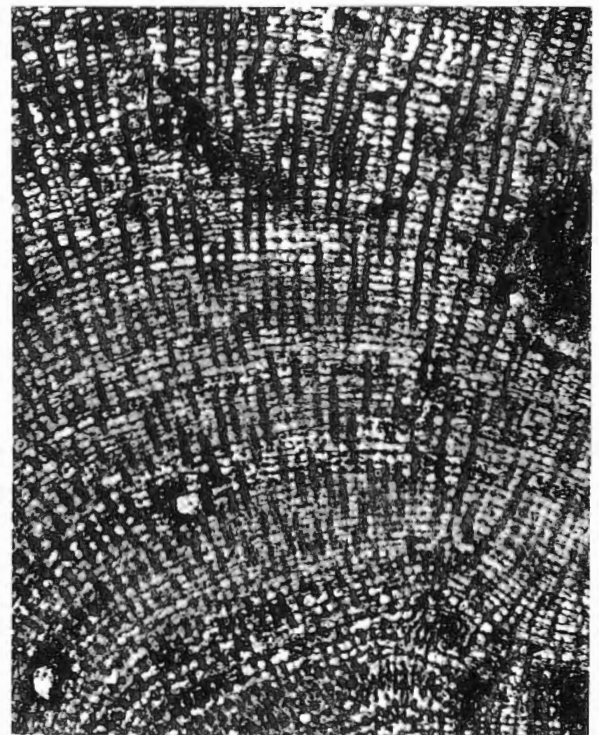


2 ($\frac{3}{1}$)

Fig. 2. — *Actinostroma tabulatum* nov. sp.



2^b ($\frac{6}{1}$)



3 ($\frac{6}{1}$)

Fig. 3. — *Actinostroma tabulatum* var. *crassum* nov. var.

EXPLICATION DE LA PLANCHE VIII.

	Pages.
FIG. 1 à 3. — <i>Actinostroma bifarium</i> NICHOLSON	104
1. Coupe verticale dans un paratype de H. A. NICHOLSON (×3). Lame originale n° 165c, conservée au British Museum (Natural History), à Londres. Büchel (Allemagne).	
2. Coupe verticale dans un autre paratype de H. A. NICHOLSON (×3). Lame originale n° 169a, conservée au British Museum (Natural History), à Londres. Teignmouth (Angleterre).	
3. Coupe verticale dans un spécimen de l'Ardenne (×3). Pl. Surice 51e, n° 4157, <i>Gl.</i>	
FIG. 4. — <i>Actinostroma conglomeratum</i> nov. sp.	105
4. Coupe tangentielle dans le holotype (×3). Pl. Vencimont 6291, n° 4569, <i>Co2c.</i>	
4a. Coupe verticale dans le même spécimen (×3).	
4b. Partie agrandie de la figure précédente (×6).	
FIG. 5. — <i>Actinostroma geminatum</i> nov. sp.	106
5. Coupe verticale dans le holotype, montrant le groupement par deux des lamelles (×3). Pl. Couvin 7961, n° 4570, <i>Co2b.</i>	
5a. Partie agrandie de la même coupe (×6).	

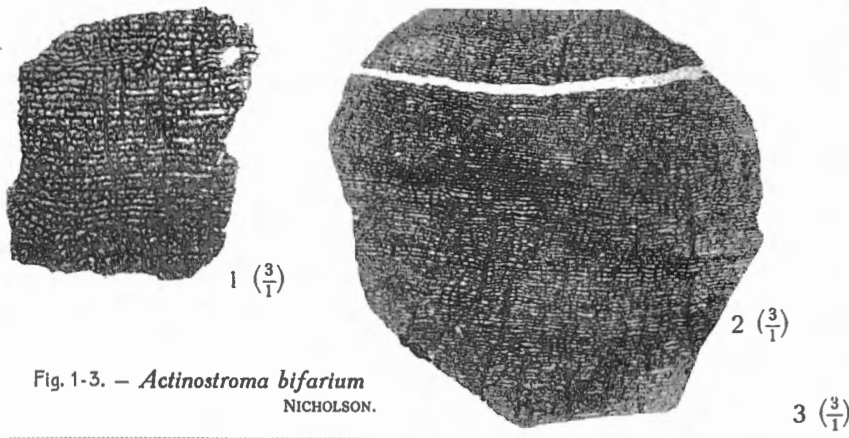


Fig. 1-3. — *Actinostroma bifarium*
 NICHOLSON.

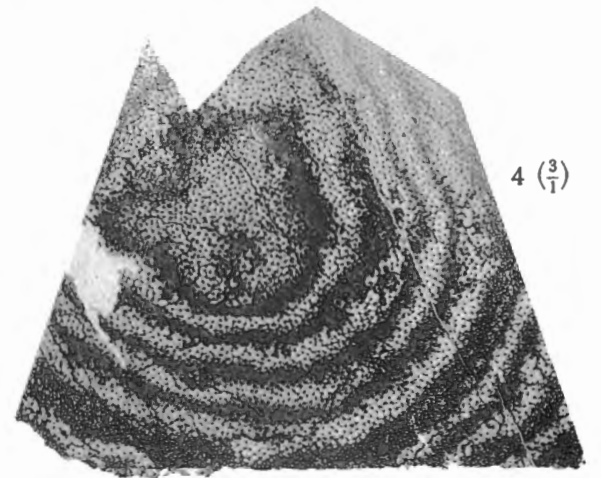
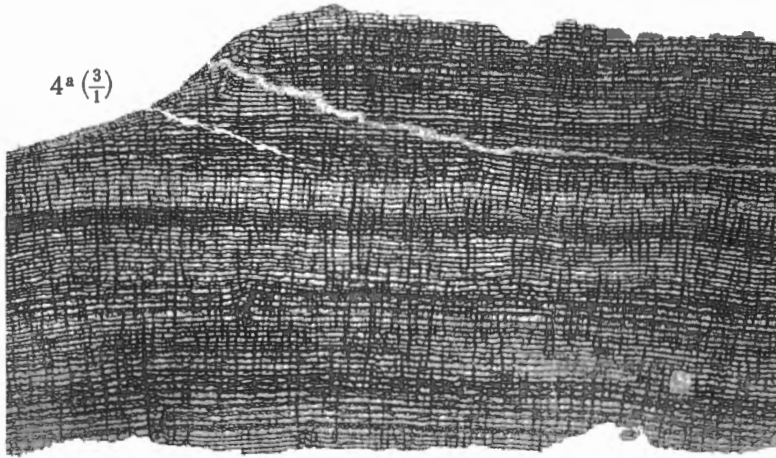
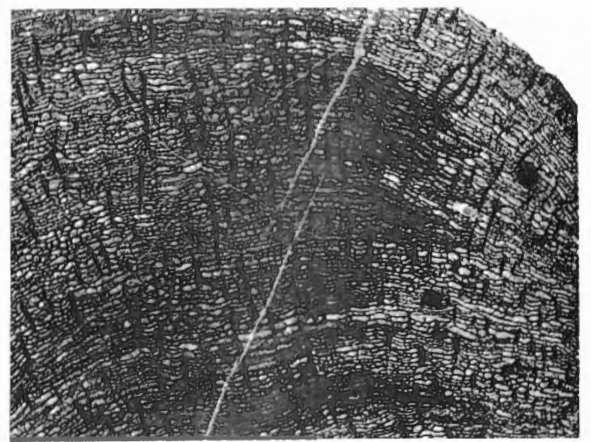


Fig. 4. — *Actinostroma conglomeratum* nov. sp.

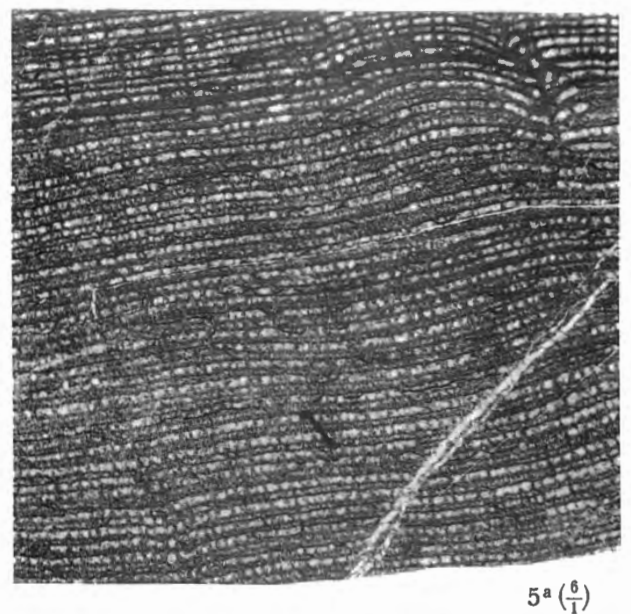
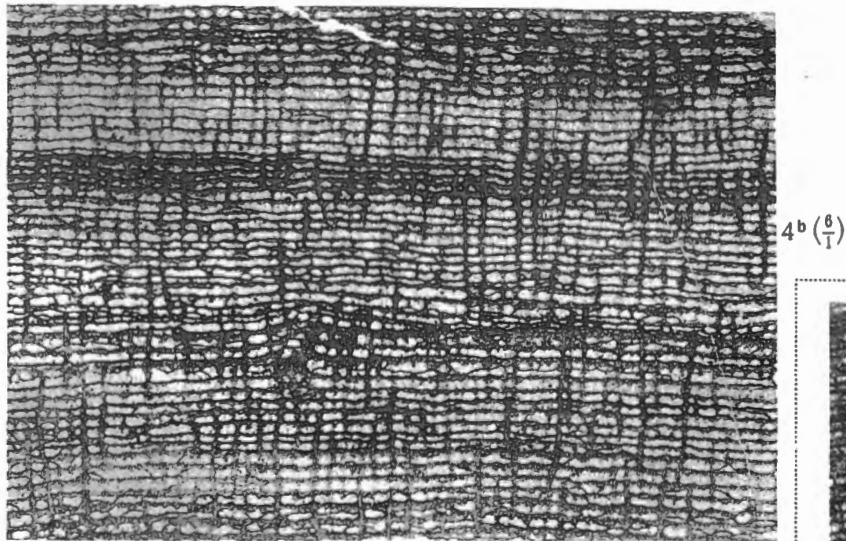


Fig. 5. — *Actinostroma geminatum* nov. sp.

EXPLICATION DE LA PLANCHE IX.

	Pages.
FIG. 1 à 8. — <i>Actinostroma verrucosum</i> (GOLDFUSS)	107
1. Coupe verticale dans le type de A. GOLDFUSS (×3). Lame taillée par M. LECOMTE (n° 5) et conservée au Musée de Paléontologie de l'Université de Bonn. Bensberg.	
1a. Coupe tangentielle dans le même spécimen (×3). Lame taillée par M. LECOMTE (n° 5) et conservée au Musée de Paléontologie de l'Université de Bonn.	
2. Coupe dans un original d'A. BARGATZKY (×3). Lame originale (n° 8) conservée au Musée de Paléontologie de l'Université de Bonn. Thüringen-bel-Paffrath.	
3. Coupe verticale dans un original de H. A. NICHOLSON (×3). Lame originale (n° 156) conservée au British Museum (Natural History), à Londres. Büchel (Allemagne).	
4. Coupe verticale dans un autre original de H. A. NICHOLSON (×3). Lame originale (n° 160) conservée au British Museum (Natural History), à Londres. Sötenich.	
5. Coupe verticale dans un spécimen de l'Ardenne (×3). La limite supérieure des lamelles est accusée par un filet plus foncé; la limite inférieure est effrangée. Pl. Couvin 49, n° 4597, <i>Gib.</i>	
5a. Partie agrandie de la même coupe (×6).	
6. Coupe verticale dans un autre spécimen de l'Ardenne (×3). Pl. Couvin 49, n° 4598, <i>Gib.</i>	
7. Coupe verticale dans un spécimen du même gisement (×3). L'ondulation du système lamellaire est déjà plus marquée.	
8. Coupe verticale montrant, localement, un complexe lamellaire cellulaire plus ou moins développé (×3). Pl. Couvin 49, n° 4601, <i>Gib.</i>	
8a. Partie agrandie de la même coupe (×6).	

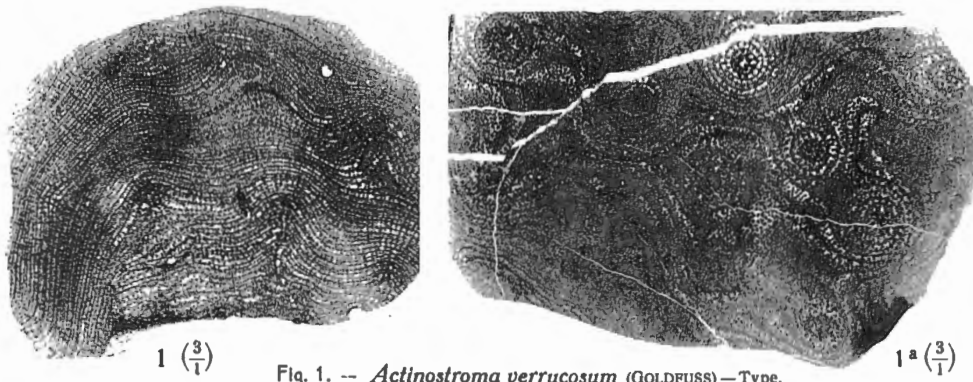


Fig. 1. — *Actinostroma verrucosum* (GOLDFUSS) — Type.

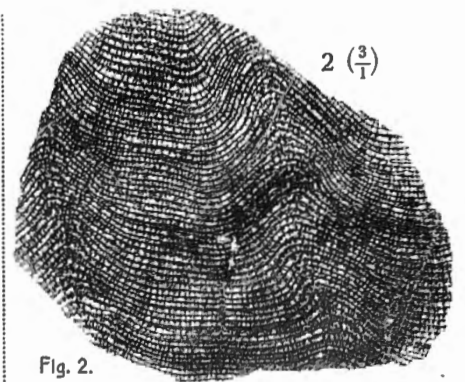


Fig. 2.
Actinostroma verrucosum (GOLDFUSS).
 Original de Bargatzky.

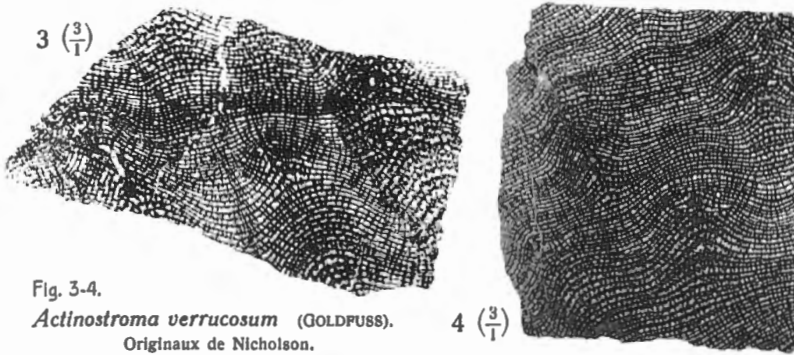
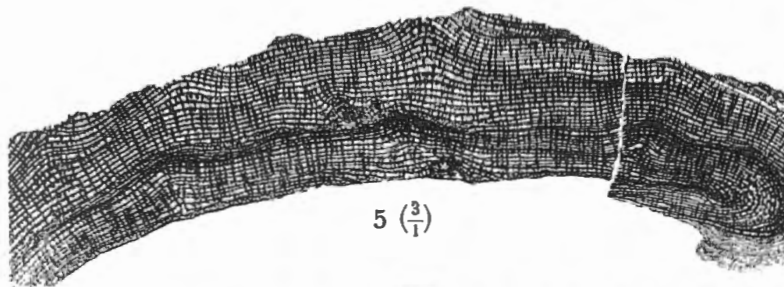
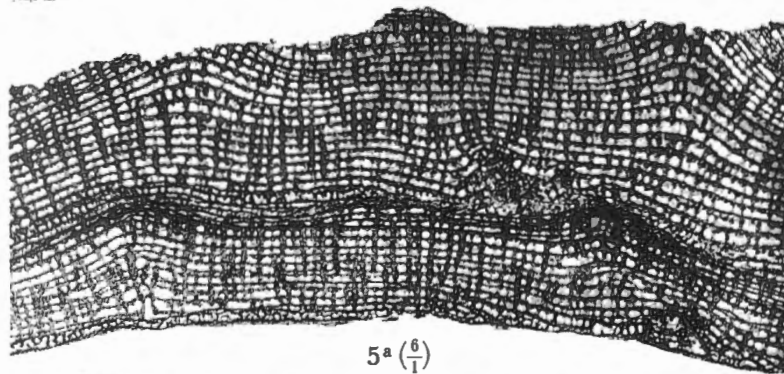


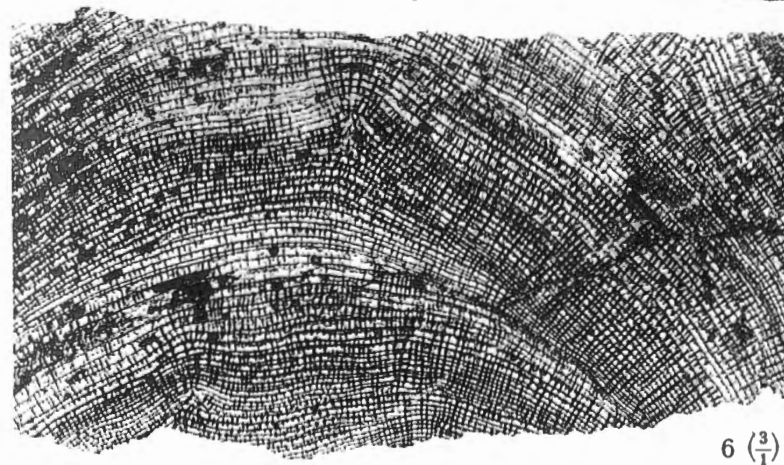
Fig. 3-4.
Actinostroma verrucosum (GOLDFUSS).
 Originaux de Nicholson.



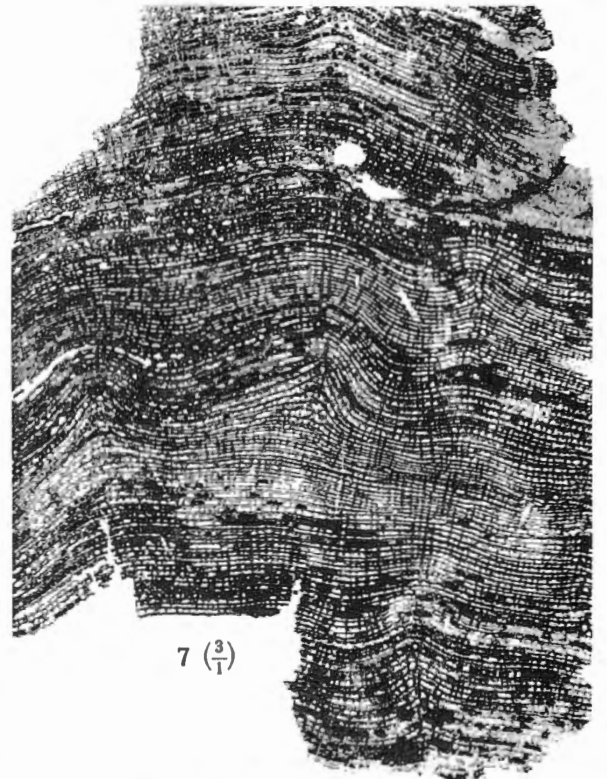
5 (3/1)



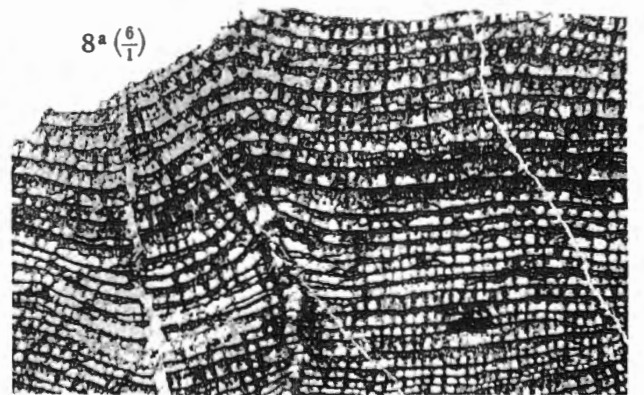
5a (6/1)



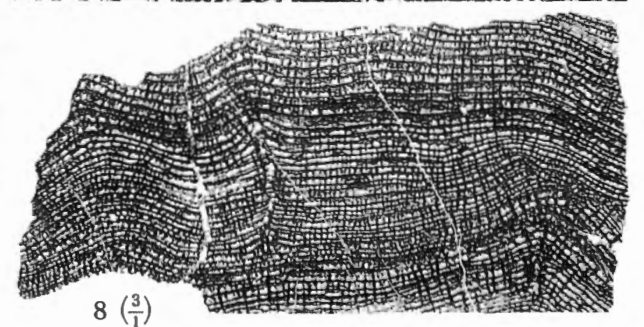
6 (3/1)



7 (3/1)



8a (6/1)

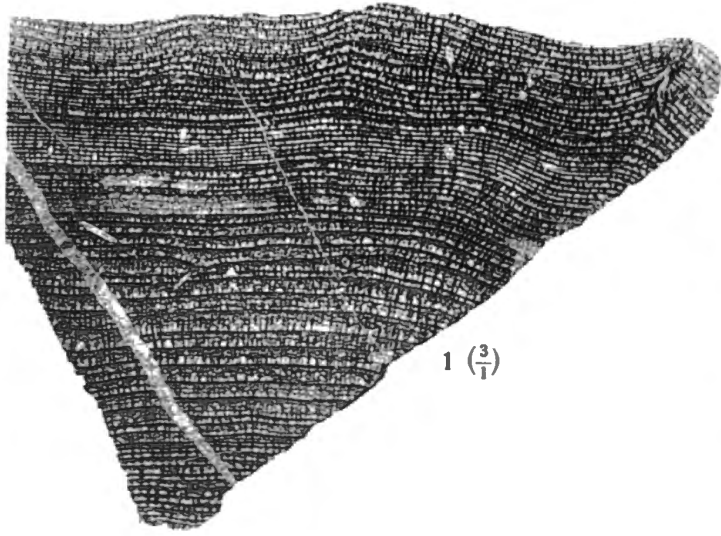


8 (3/1)

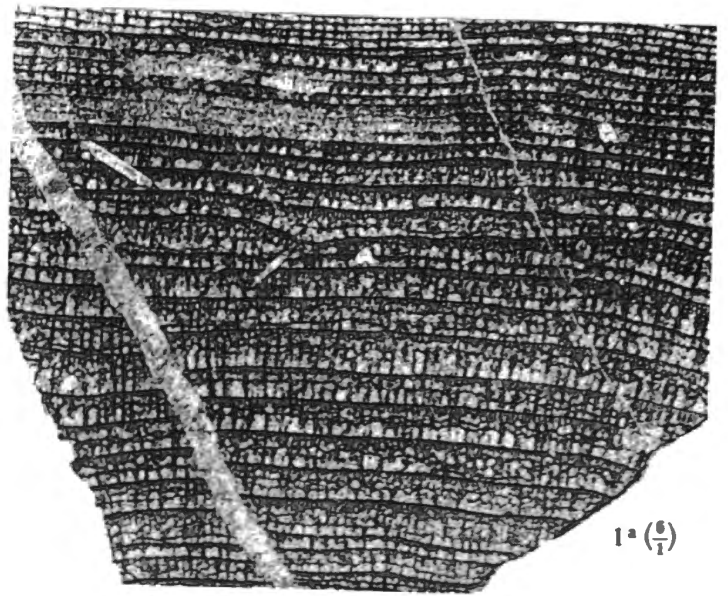
Fig. 5-8. — *Actinostroma verrucosum* (GOLDFUSS).

EXPLICATION DE LA PLANCHE X.

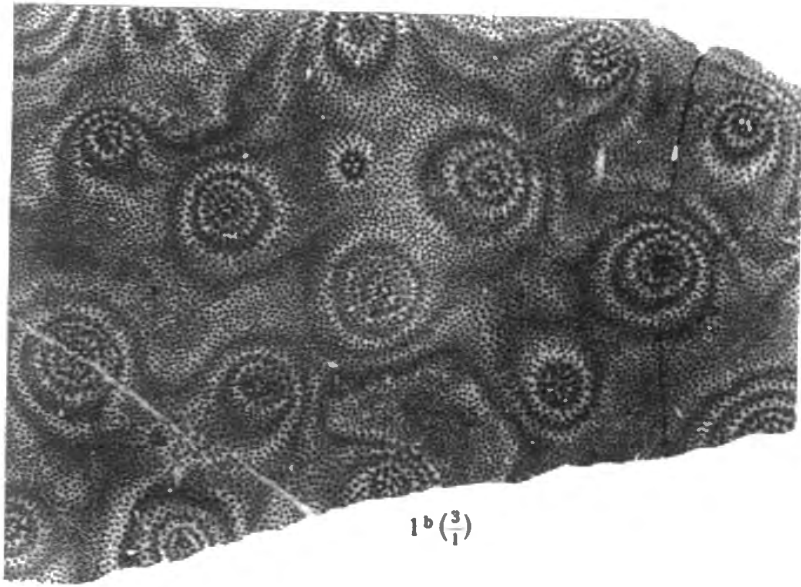
	Pages.
FIG. 1 à 2. — <i>Actinostroma verrucosum</i> (GOLDFUSS)	107
1. Coupe verticale dans un spécimen de l'Ardenne montrant des lamelles en complexes cellulaires très développés (×3). Pl. Couvin 49, n° 4599, <i>Gib.</i>	
1a. Partie agrandie de la même coupe (×6).	
1b. Coupe tangentielle dans le même spécimen (×3).	
2. Coupe verticale dans un spécimen à lamelles très ondulées (×3). Pl. Surice 8033, n° 4602, <i>Gib.</i>	
2a. Partie agrandie de la même coupe (×6).	
2b. Coupe tangentielle dans le même spécimen (×3).	



1 ($\frac{3}{7}$)



1^a ($\frac{6}{7}$)



1^b ($\frac{3}{7}$)



2^b ($\frac{3}{7}$)



2 ($\frac{3}{7}$)

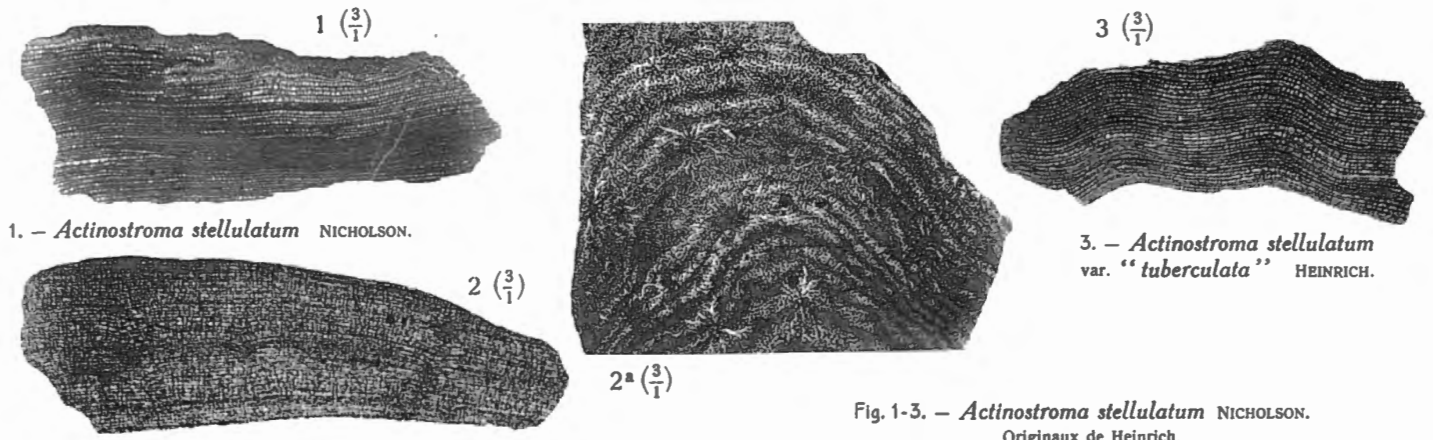


2^a ($\frac{6}{7}$)

Fig. 1-2. — *Actinostroma verrucosum* (GOLDFUSS).

EXPLICATION DE LA PLANCHE XI.

	Pages.
FIG. 1 à 5. — <i>Actinostroma stellulatum</i> NICHOLSON	111
1. Coupe verticale dans un original de M. HEINRICH (×3). Lame originale (n° 6) conservée au Musée de Paléontologie de l'Université de Bonn.	
2. <i>Actinostroma stellulatum</i> var. <i>nicholsoni</i> HEINRICH (×3). Coupe verticale originale (n° 551) conservée au Musée de Paléontologie de l'Université de Bonn. Eifel (Mitt. Dev.).	
2a. Coupe tangentielle dans le même spécimen (×3). Lame taillée par M. LECOMPTE et conservée au Musée de Paléontologie de l'Université de Bonn.	
3. <i>Actinostroma stellulatum</i> var. <i>tuberculata</i> HEINRICH (×3). Coupe verticale (n° 7) taillée par M. LECOMPTE dans l'original et conservée au Musée de Paléontologie de l'Université de Bonn.	
4. Coupe verticale dans un spécimen de l'Ardenne (×3). Pl. Olloy 7970, n° 4590, <i>Co2b</i> .	
4a. Partie agrandie de la même coupe (×6).	
4b. Coupe tangentielle dans le même spécimen (×3).	
5. Coupe verticale dans un autre spécimen de l'Ardenne (×3). Pl. Chimay 4, n° 4453, <i>Co2c</i> .	
5a. Partie agrandie de la même coupe (×6).	



1. — *Actinostroma stellulatum* NICHOLSON.

2. — *Actinostroma stellulatum* var. "nicholsoni" HEINRICH.

3. — *Actinostroma stellulatum* var. "tuberculata" HEINRICH.

Fig. 1-3. — *Actinostroma stellulatum* NICHOLSON.
 Originaux de Heinrich.

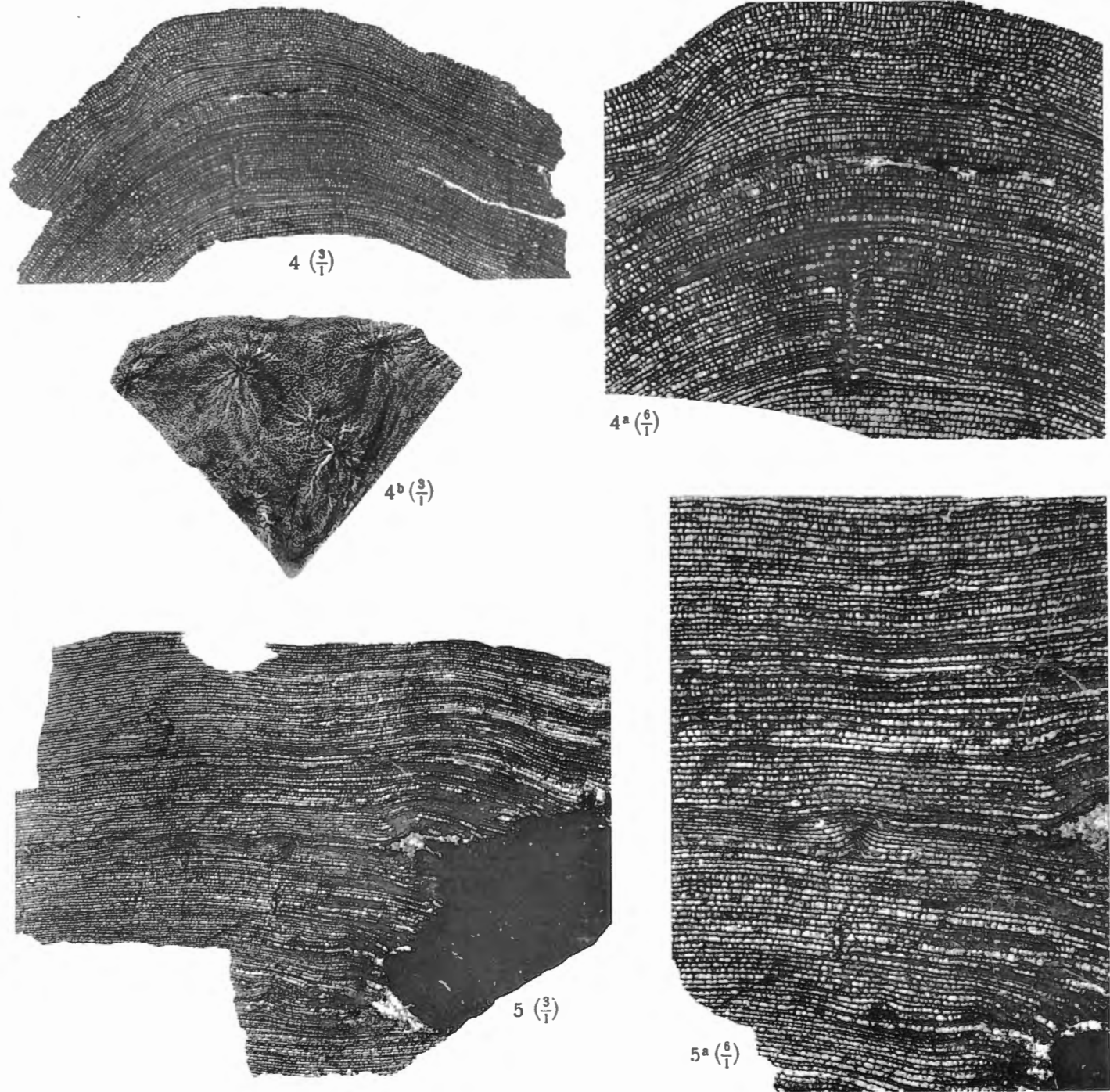
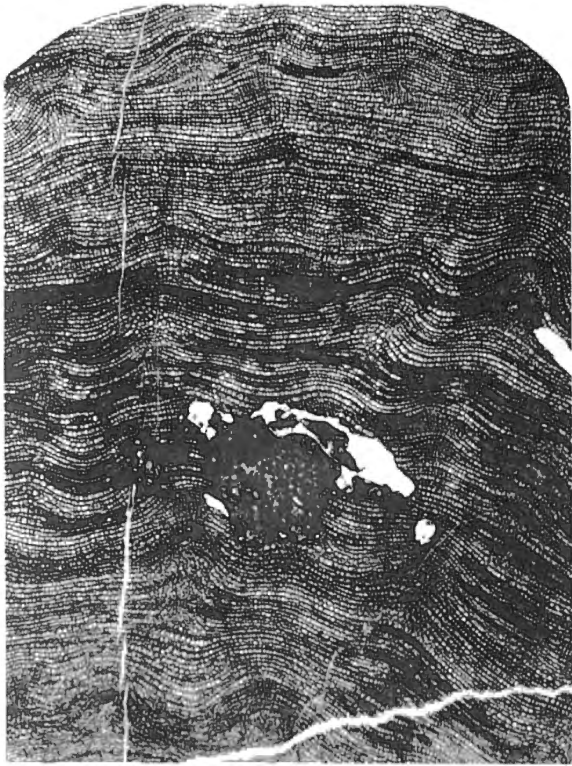


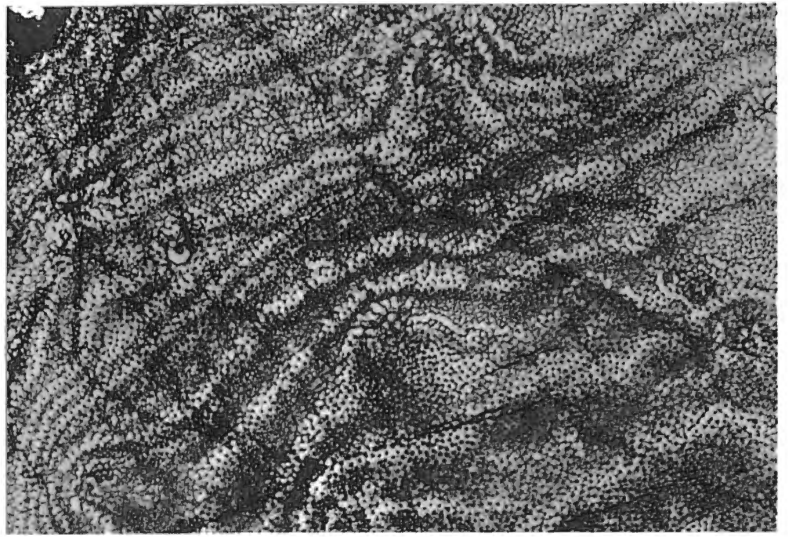
Fig. 4-5. — *Actinostroma stellulatum* NICHOLSON.

EXPLICATION DE LA PLANCHE XII.

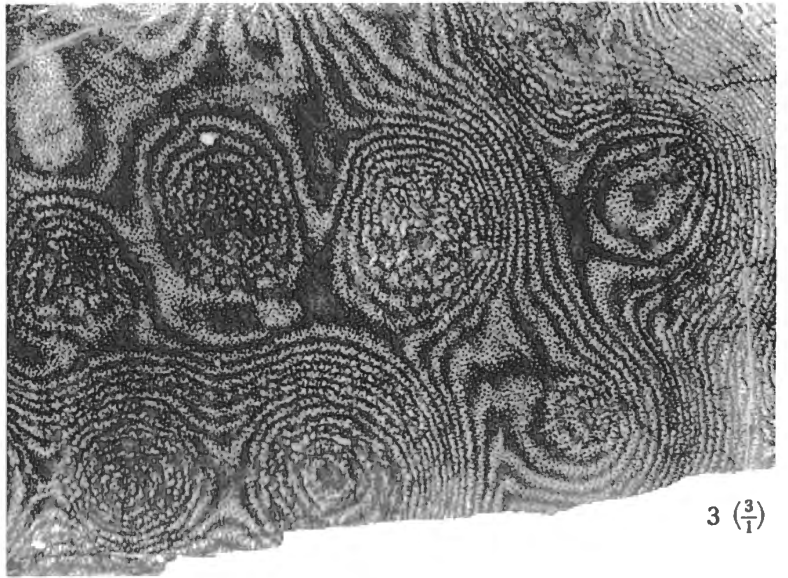
	Pages.
FIG. 1 à 3. — <i>Actinostroma stellulatum</i> NICHOLSON var. <i>maureri</i> HEINRICH	118
1 Coupe verticale montrant les lamelles régulièrement ondulées de la base au sommet (×3). Pl. Surice 51e, n° 4166, <i>Gi.</i>	
1a. Partie agrandie de la même coupe (×6).	
2. Coupe tangentielle montrant des astrorhizes petites, étroites, peu ramifiées (×12). Pl. Surice 51e, n° 4163, <i>Gi.</i>	
3. Coupe tangentielle montrant la structure orbiculaire conforme aux mamelons (×3). Pl. Surice 51e, n° 4188, <i>Gi.</i>	
FIG. 4. — <i>Actinostroma perlaminatum</i> nov. sp.	120
4. Coupe verticale dans le holotype (×3) Pl. Surice 51e, n° 4186, <i>Gi.</i>	
4a. Partie agrandie de la même coupe (×6).	



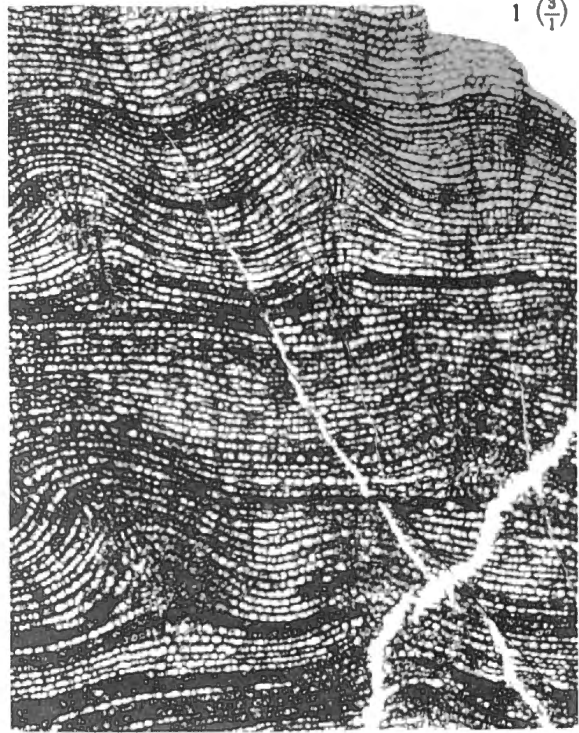
1 ($\frac{3}{1}$)



2 ($\frac{12}{1}$)

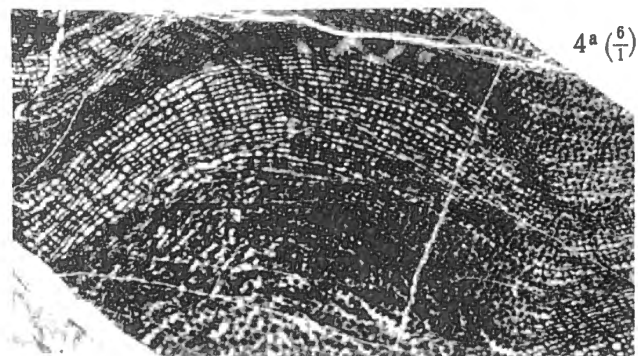


3 ($\frac{3}{1}$)

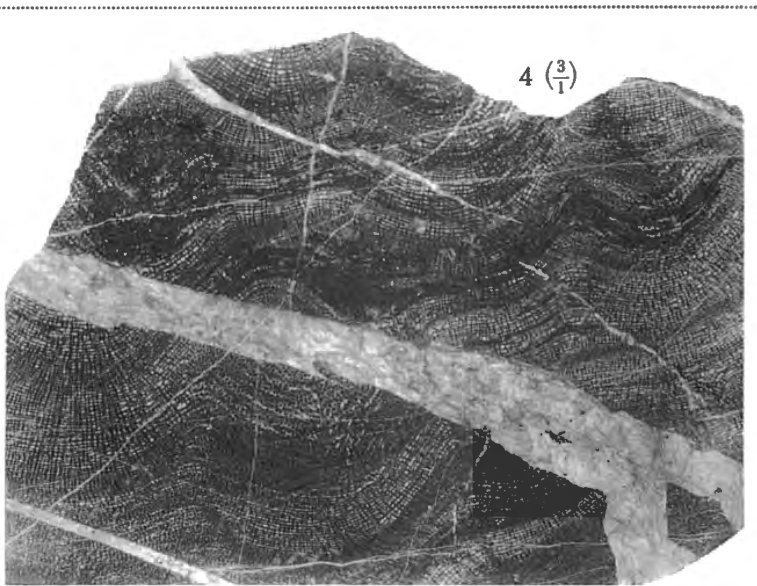


1a ($\frac{6}{1}$)

Fig. 1-3. — *Actinostroma stellulatum* NICHOLSON var. *maureri* HEINRICH.



4a ($\frac{6}{1}$)



4 ($\frac{3}{1}$)

Fig. 4. — *Actinostroma perlaminatum* nov. sp.

EXPLICATON DE LA PLANCHE XIII.

	Pages.
FIG. 1. — <i>Actinostroma filitextum</i> nov. sp.	121
1. Coupe verticale dans le holotype (×3). Pl. Senzeille 31b, n° 4249, <i>F2g</i> .	
1a. Partie agrandie de la même coupe (×6).	
FIG. 2. — <i>Actinostroma reversum</i> nov. sp.	121
2. Coupe longitudinale dans le holotype (×3). Pl. Chimay 7983, n° 4568, <i>Co2b</i> .	
2a. Partie agrandie de la même coupe (×6). Remarquer les complexes lamellaires et les mamelons réversés.	
FIG. 3. — <i>Actinostroma crassepilatum</i> nov. sp.	122
3. Coupe verticale dans le holotype (×3). Pl. Senzeille 6848, n° 4262, <i>Gid</i> .	
3a. Partie agrandie de la même coupe (×6).	

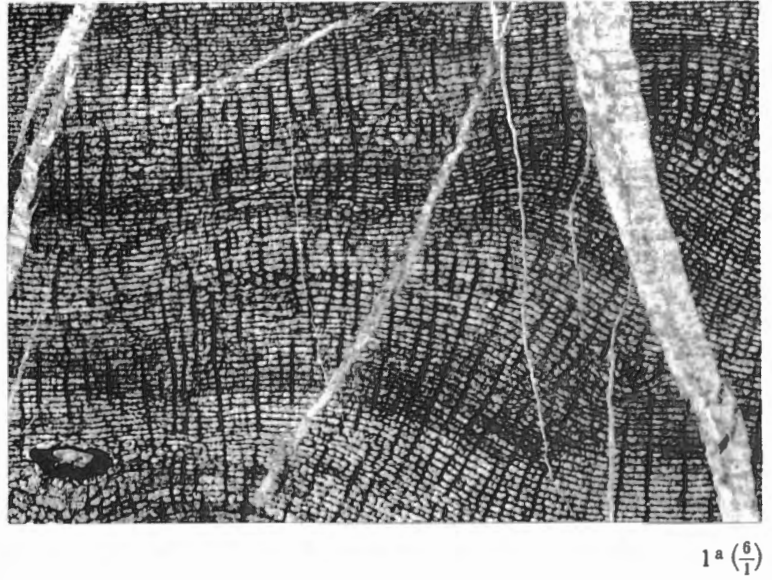
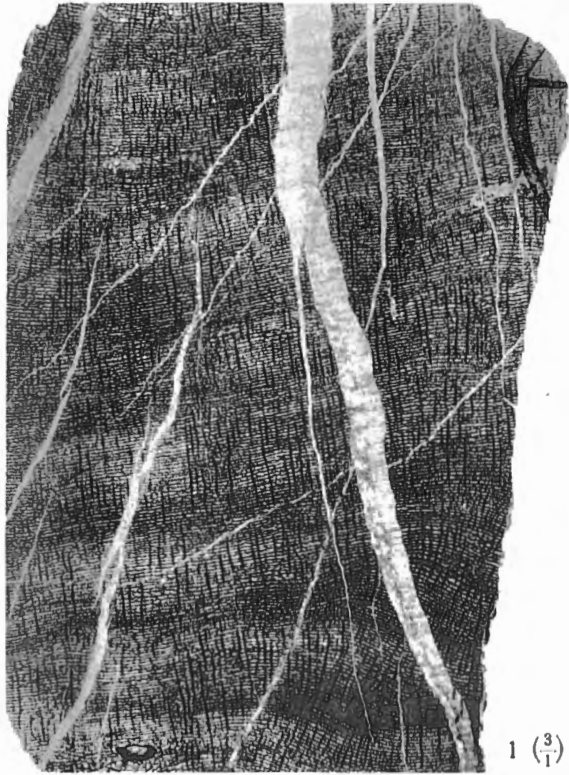


Fig. 1. — *Actinostroma filitextum* nov. sp.

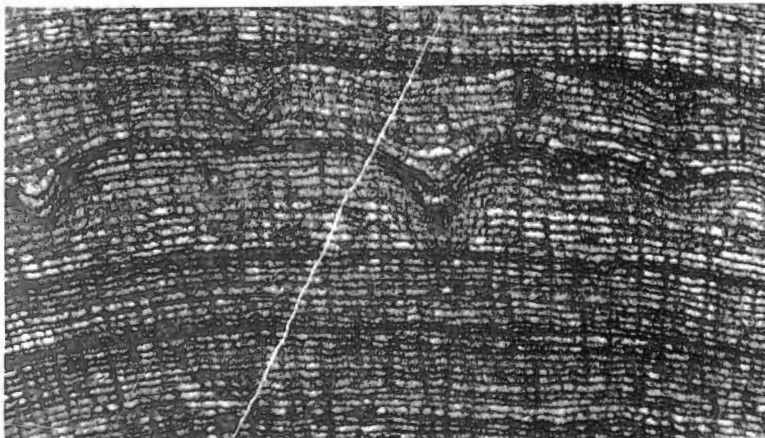
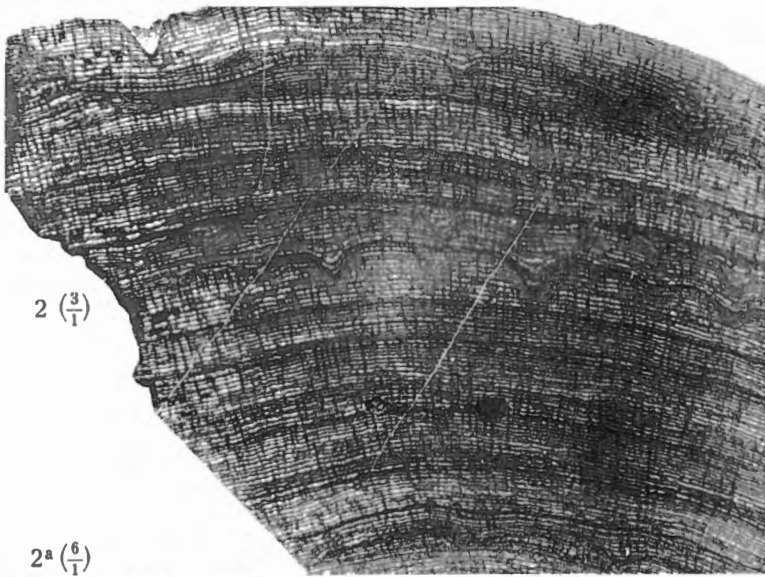


Fig. 2. — *Actinostroma reversum* nov. sp.

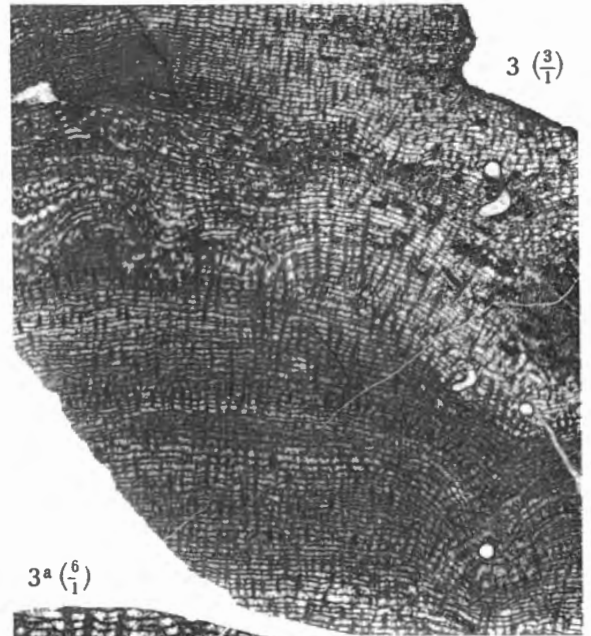
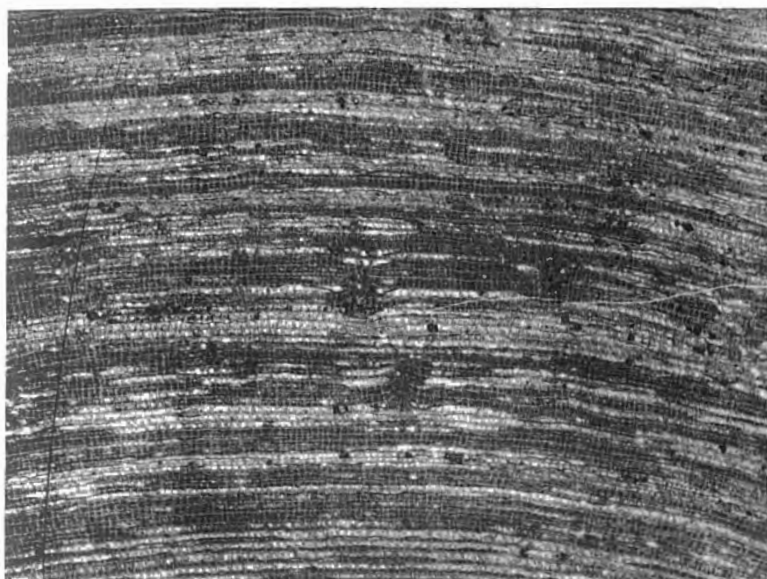


Fig. 3. — *Actinostroma crassepilatum* nov. sp.

EXPLICATION DE LA PLANCHE XIV.

	Pages.
FIG. 1. — <i>Actinostroma couvinense</i> nov. sp.	91
1. Coupe verticale dans le holotype (×3). Pl. Couvin 96, n° 5071, <i>Co2b</i> .	
1a. Partie agrandie de la même coupe (×6).	
FIG. 2 à 3. — <i>Actinostroma sertiforme</i> nov. sp.	123
2. Coupe verticale dans le holotype (×3). Pl. Wellin 6215, n° 4475, <i>Gib</i> .	
2a. Partie agrandie de la même coupe (×6).	
2b. Autre coupe dans le même spécimen (×6).	
2c. Coupe tangentielle dans le même spécimen (×3).	
3. Coupe verticale dans un spécimen à systèmes astrorhizaux verticaux plus appa- rents (×3). Pl. Nalannes 6178, n° 4466, <i>Gi</i> .	



1 ($\frac{3}{1}$)

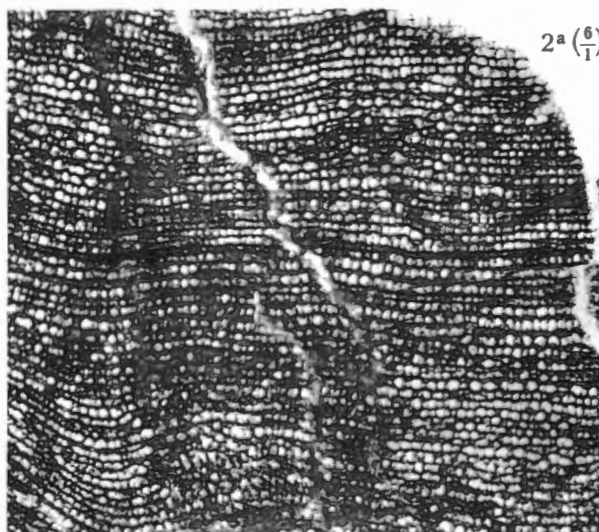
Fig. 1. — *Actinostroma couvinense* nov. sp.



1^a ($\frac{6}{1}$)



2 ($\frac{3}{1}$)



2^a ($\frac{6}{1}$)



3 ($\frac{3}{1}$)



2^c ($\frac{3}{1}$)

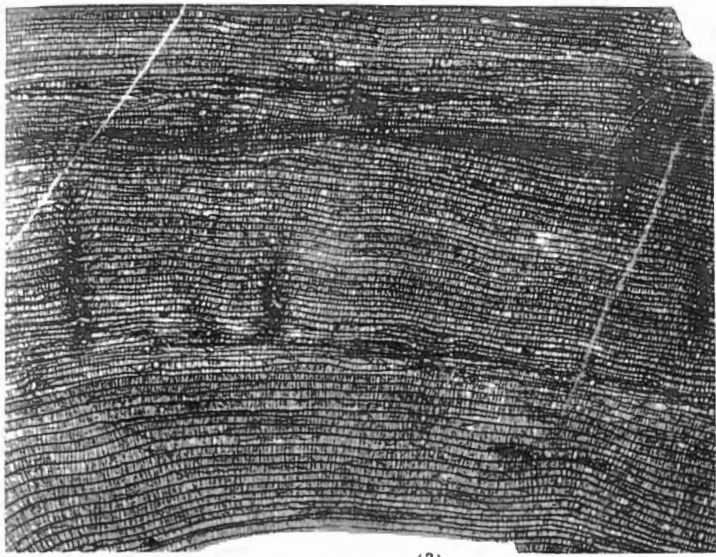


2^b ($\frac{6}{1}$)

Fig. 2-3. — *Actinostroma sertiforme* nov. sp.

EXPLICATION DE LA PLANCHE XV.

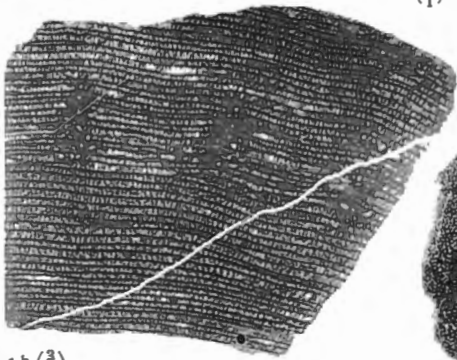
	Pages.
FIG. 1 à 2. — <i>Atelodictyon fallax</i> nov. sp.	125
1. Coupe verticale dans le holotype de l'espèce (×3). Les lamelles ne sont pas ondulées. Pl. Couvin 96, n° 7411, <i>Co2b</i> .	
1a. Partie agrandie de la même coupe (×6). Remarquer la surimposition des piliers et le faible relèvement des astro- rhizes dans l'axe des systèmes.	
1b. Autre coupe verticale dans le même spécimen (×3).	
1c. Coupe tangentielle dans le même exemplaire (×3).	
1d. Partie agrandie de la figure précédente (×12).	
2. Coupe verticale dans le paratype (×3). Les lamelles sont ici très fortement ondulées. Pl. Couvin 8, n° 7410, <i>Co2b</i> .	
FIG. 3. — <i>Atelodictyon strictum</i> nov. sp.	126
3. Coupe verticale dans le holotype (×3). Pl. Couvin 8011, n° 7396, <i>Co2c</i> .	
3a. Partie agrandie de la même coupe (×12).	



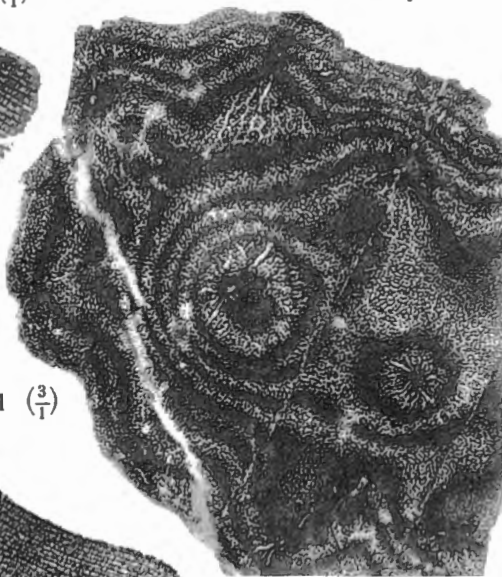
1 ($\frac{3}{1}$)



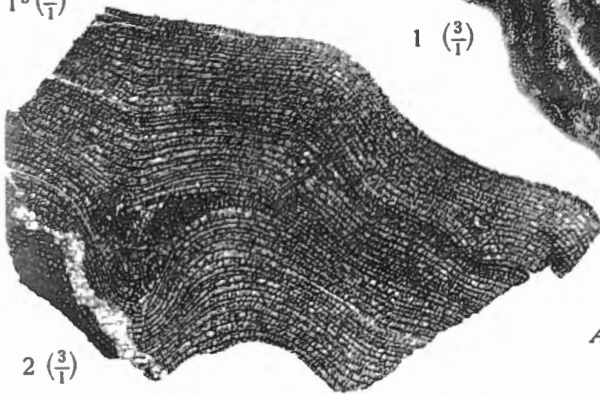
1a ($\frac{6}{1}$)



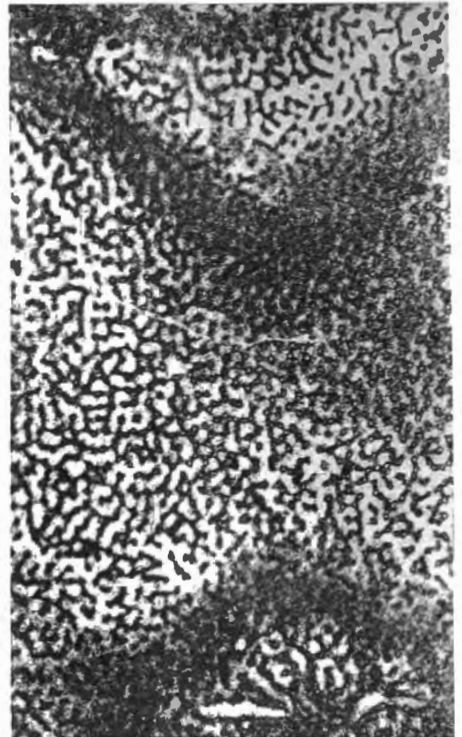
1b ($\frac{3}{1}$)



1 ($\frac{3}{1}$)



2 ($\frac{3}{1}$)

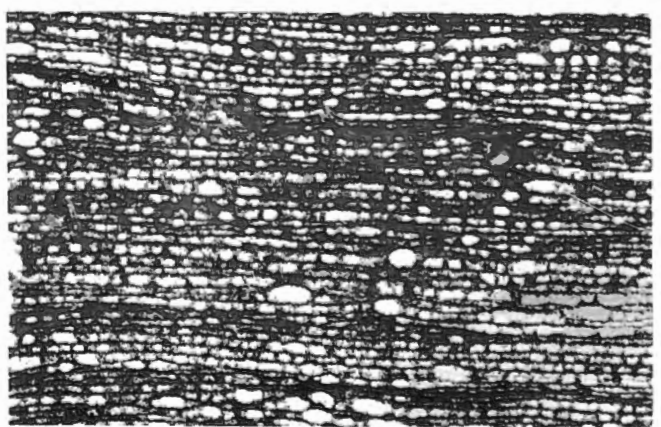


1d ($\frac{12}{1}$)

Fig. 1-2. *Atelodictyon fallax* nov. sp.



3 ($\frac{3}{1}$)



3a ($\frac{12}{1}$)

Fig. 3. — *Atelodictyon strictum* nov. sp.

EXPLICATION DE LA PLANCHE XVI.

	Pages.
FIG. 1 à 3. — <i>Atelodictyon strictum</i> nov. sp.	126
1. Coupe tangentielle dans le holotype (×3). Pl. Couvin 8011, n° 7396, <i>Co2c</i> .	
1a. Partie agrandie de la même coupe (×12).	
2. Coupe verticale dans le paratype (×3). Pl. Couvin 8011, n° 7401, <i>Co2c</i> .	
2a. Coupe tangentielle dans le même spécimen (×3).	
3. Coupe tangentielle dans un autre exemplaire (×6). Pl. Couvin 96, n° 7400, <i>Co2b</i> .	
FIG. 4. — <i>Atelodictyon aggregatum</i> nov. sp.	128
4. Coupe verticale dans le holotype (×3). Pl. Senzeille 6848, n° 7408, <i>Gi</i> .	
4a. Coupe tangentielle dans le même spécimen (×3).	
4b. Partie agrandie de la même coupe (×12).	

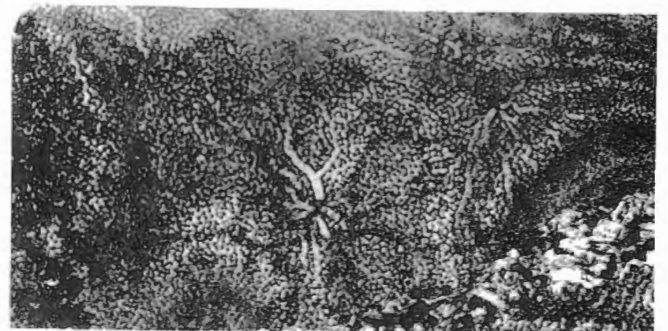
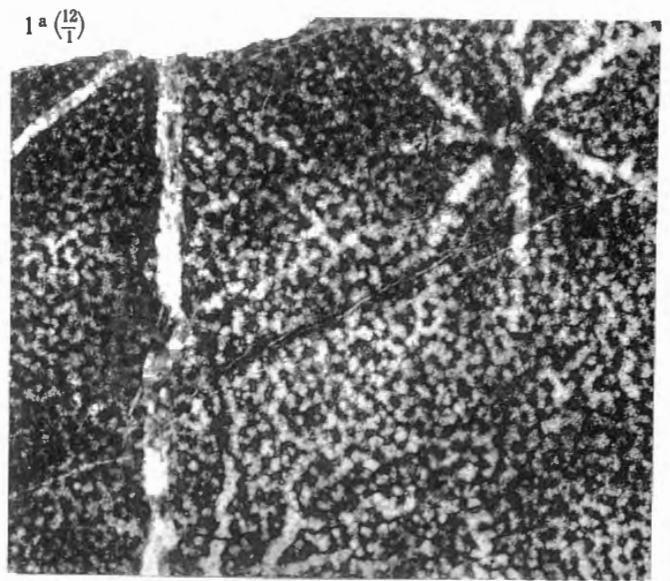
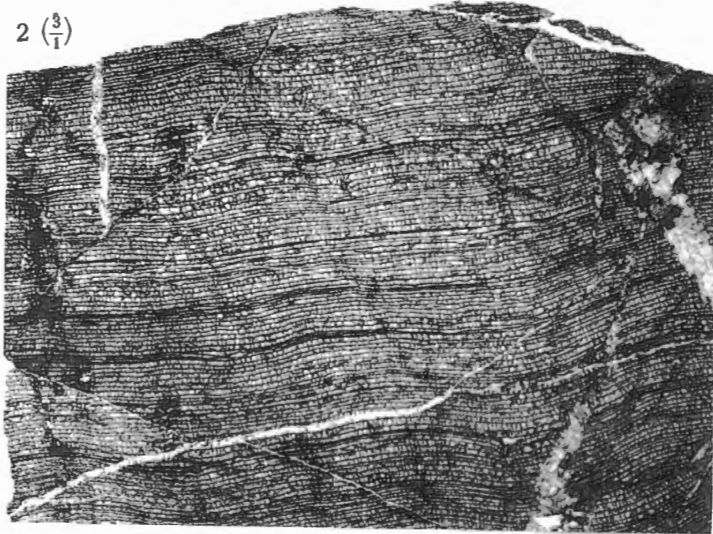
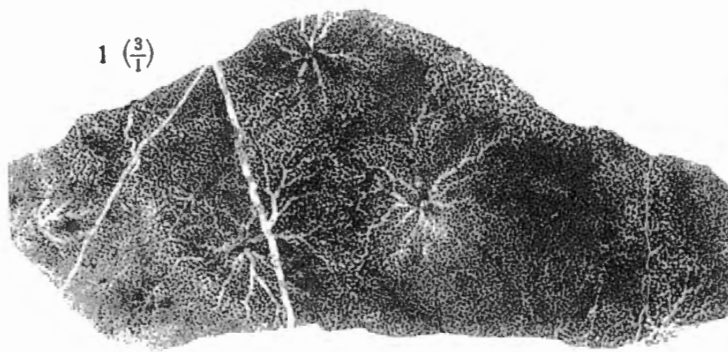


Fig. 1-3. — *Atelodictyon strictum* nov. sp.

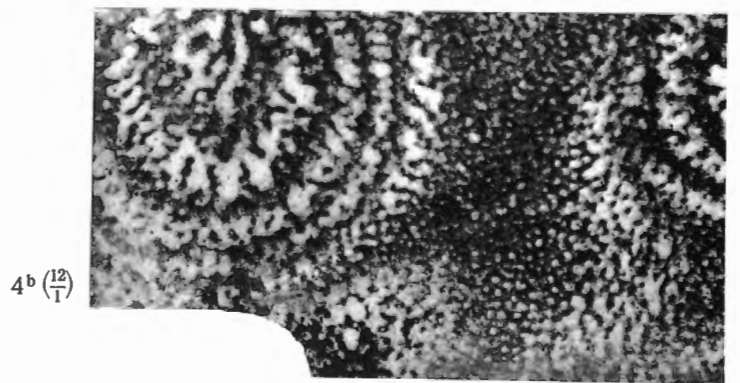
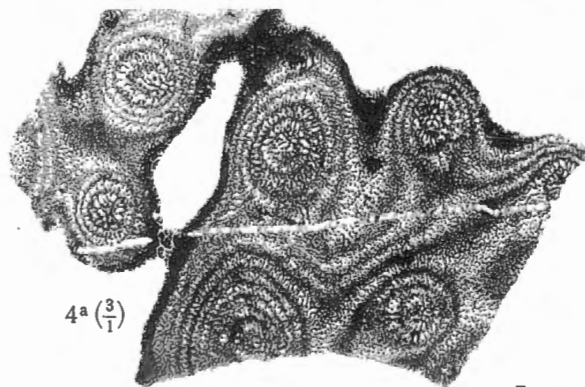
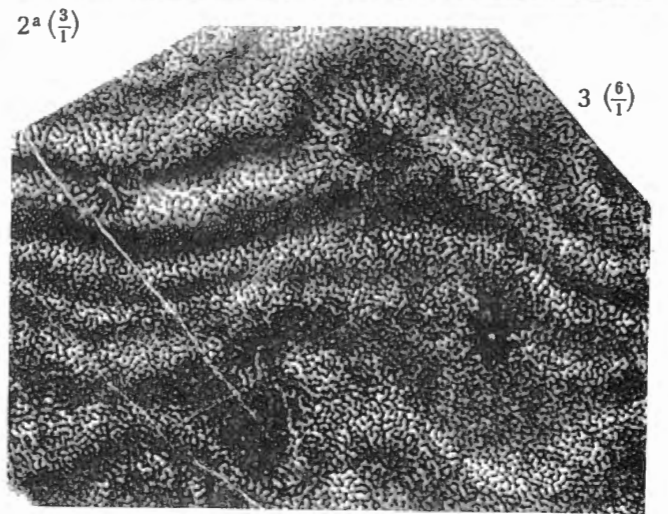
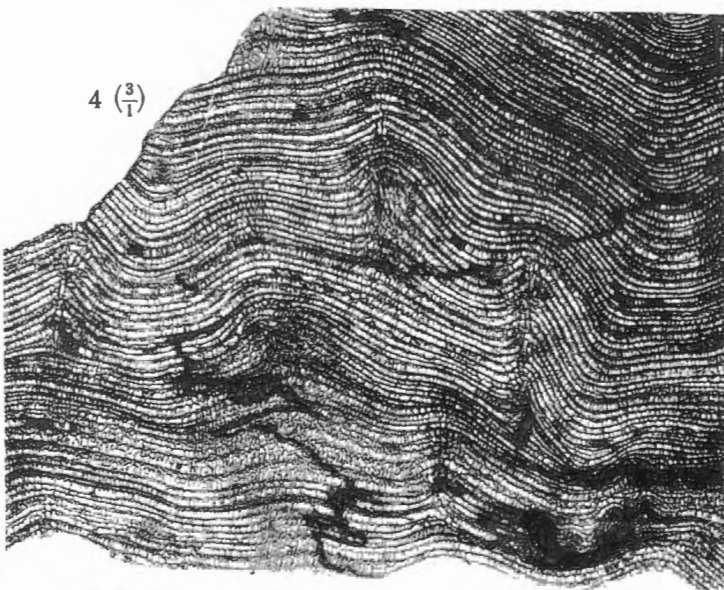


Fig. 4. — *Atelodictyon aggregatum* nov. sp.

EXPLICATION DE LA PLANCHE XVII.

	Pages.
FIG. 1. — <i>Actinodictyon vaucellense</i> nov. sp.	150
1. Coupe verticale dans le holotype (×3). Pl. Couvin 6150, n° 5169, <i>F1b</i> .	
1a. Partie agrandie de la même coupe (×12).	
1b. Coupe tangentielle dans le même spécimen (×3).	
FIG. 2. — <i>Clathrodicton aff. cellulosum</i> NICHOLSON et MURIE	140
2. Coupe tangentielle dans un spécimen de l'Ardenne (×3). Pl. Wellin 7217, n° 7425, <i>Co2a</i> .	
2a. Coupe verticale dans le même spécimen (×3).	
FIG. 3 à 4. — <i>Clathrodicton amygdaloides</i> nov. sp.	141
3. Coupe verticale dans le holotype (×3). Pl. Chimay 4, n° 7430, <i>Co2c</i> .	
3a. Partie agrandie de la même coupe (×12).	
4. Coupe tangentielle (×3). Pl. Chimay 4, n° 7428, <i>Co2c</i> .	

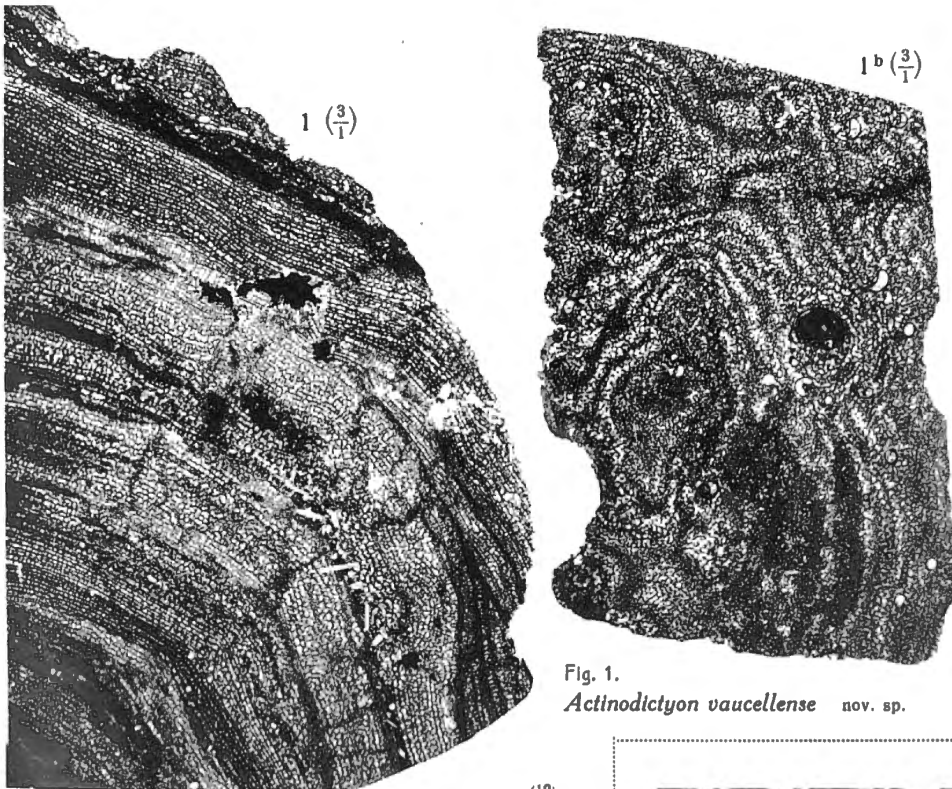


Fig. 1. — *Actinodictyon vaucellense* nov. sp.

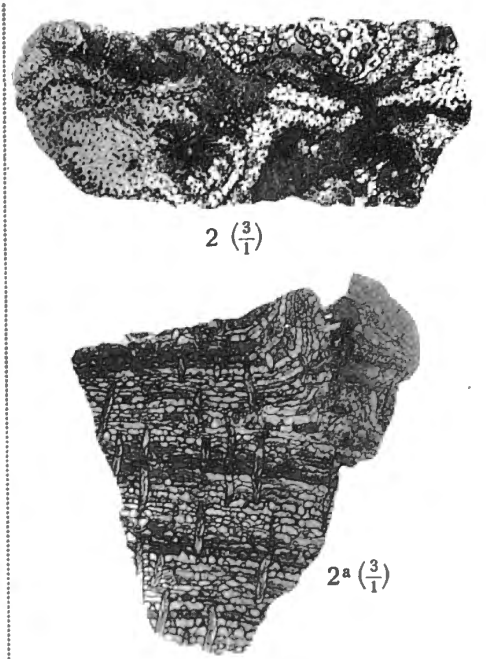
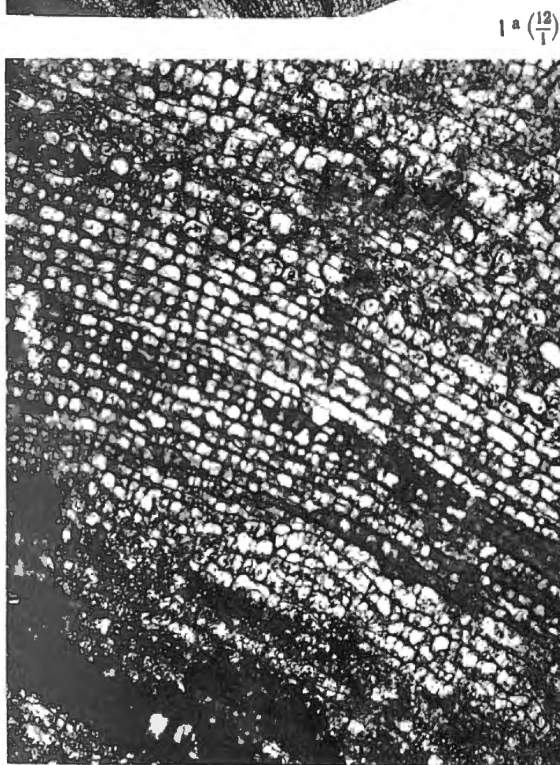
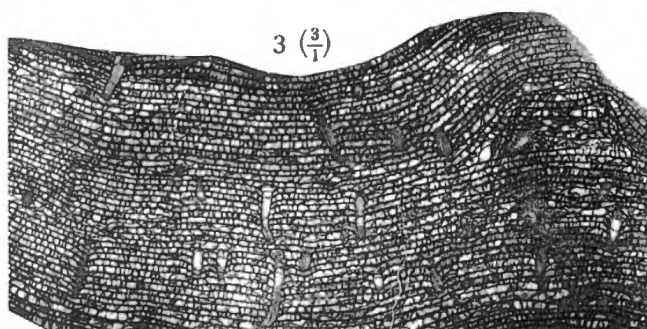


Fig. 2. — *Clathrodictyon* aff. *cellulosum* NICHOLSON et MURIE.



3a (12/1)



3 (3/1)



4 (3/1)

Fig 3-4. — *Clathrodictyon amygdaloides* nov. sp.

EXPLICATION DE LA PLANCHE XVIII.

	Pages.
FIG. 1 à 2. — <i>Clathrodictyon amygdaloides</i> nov. sp.	141
1. Coupe verticale montrant un tissu plus lâche et une tendance à la surimposition des piliers (×3). Pl. Chimay 4, n° 7432, <i>Co2c</i> .	
1a. Coupe tangentielle dans le même spécimen (×3).	
2. Coupe verticale (×3). Pl. Chimay 4, n° 7429, <i>Co2c</i> .	
FIG. 3. — <i>Clathrodictyon amygdaloides</i> var. <i>subvesiculosum</i> nov. var.	143
3. Coupe verticale (×3). Pl. Couvin 96, n° 7424, <i>Co2b</i> .	
3a. Partie agrandie de la même coupe (×12).	
3b. Coupe tangentielle dans le même spécimen (×3).	

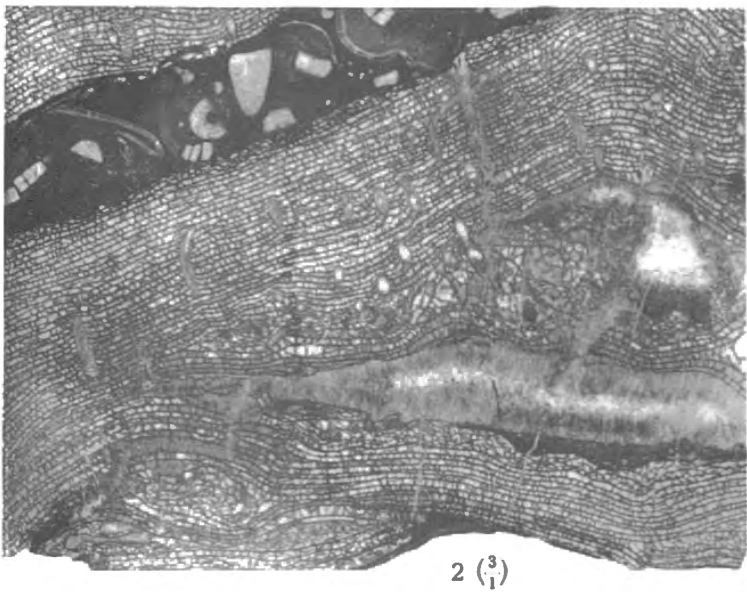
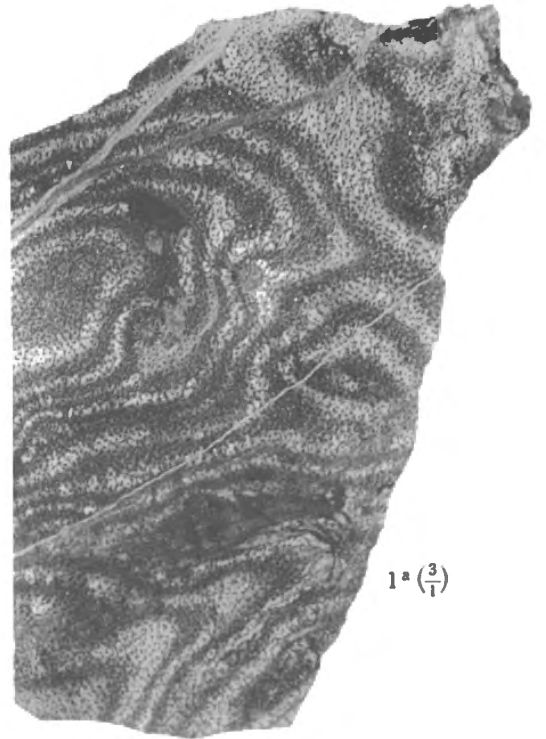
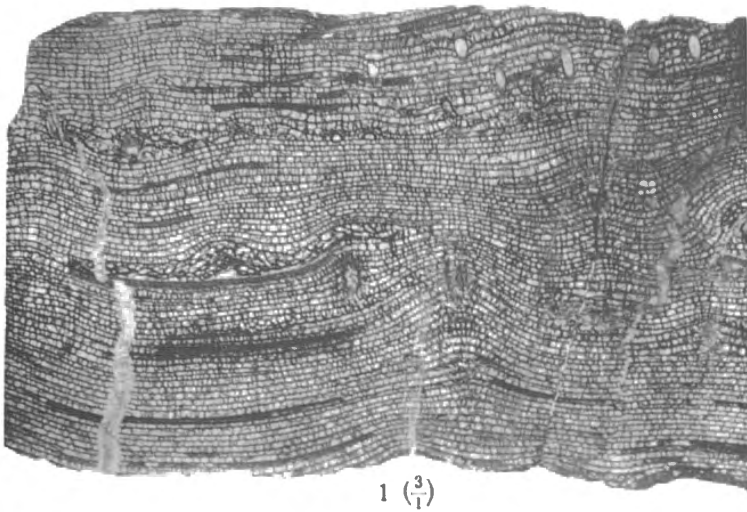


Fig. 1-2. — *Clathrodictyon amygdaloides* nov. sp.

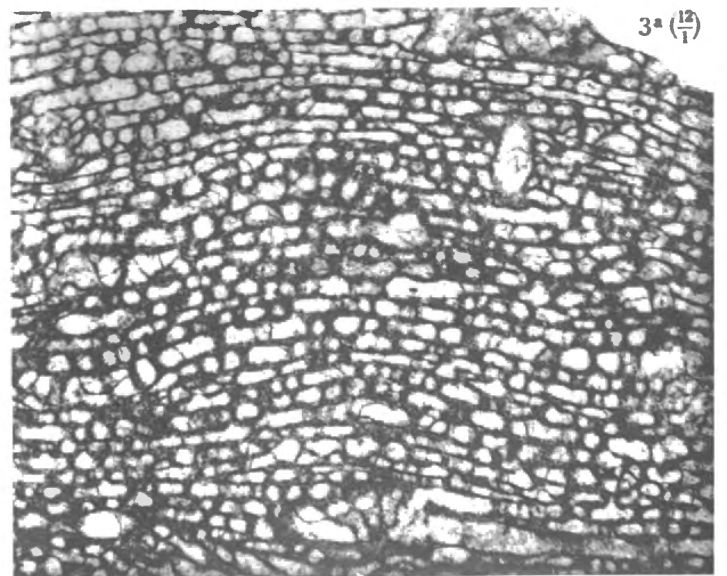
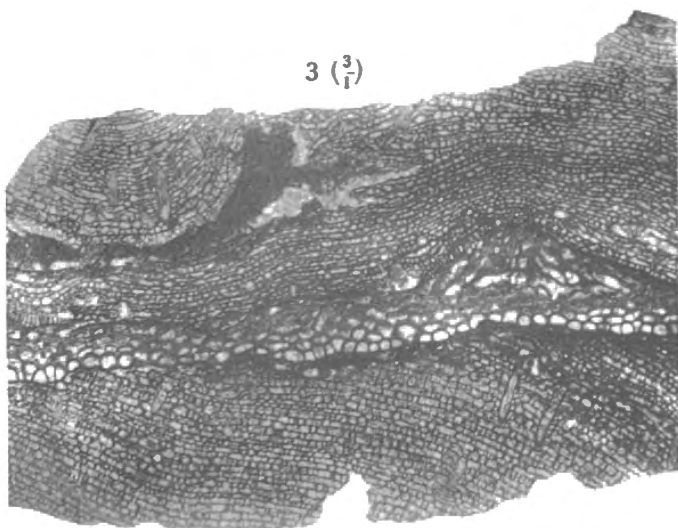
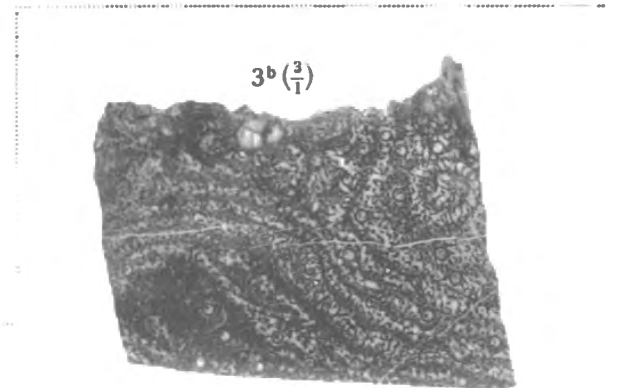


Fig. 3. — *Clathrodictyon amygdaloides* var. *subvesiculosum* nov. var.

EXPLICATION DE LA PLANCHE XIX.

	Pages.
FIG. 1 à 3. — <i>Clathrodictyon paramygdaloides</i> nov. sp.	145
1. Coupe verticale dans le holotype (×3). Pl. Senzeille 7108, n° 7418, F2h.	
1a. Partie agrandie de la même coupe (×12).	
2. Coupe verticale dans un paratype (×3). Pl. Senzeille 7081, n° 7417, F2h.	
2a. Coupe tangentielle dans le même spécimen (×6).	
3. Coupe verticale dans un spécimen à tissu très irrégulier (×3). Pl. Senzeille 7081, n° 7415, F2h.	
FIG. 4. — <i>Clathrodictyon latifistulatum</i> nov. sp.	148
4. Coupe verticale (×3). Pl. Rochefort 40e, n° 7443, Gid.	
4a. Coupe tangentielle dans le même spécimen (×3).	

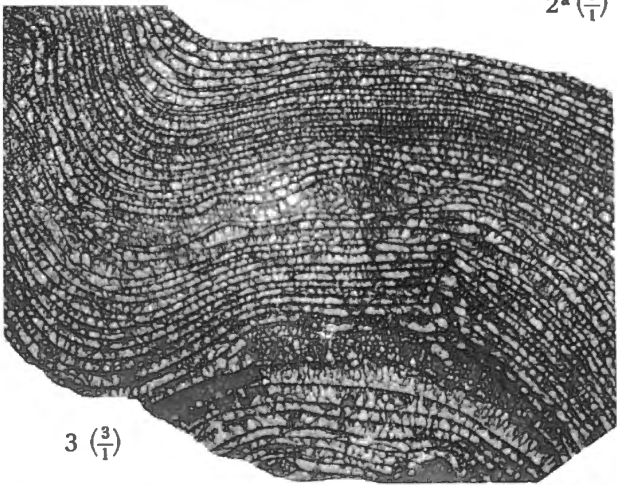
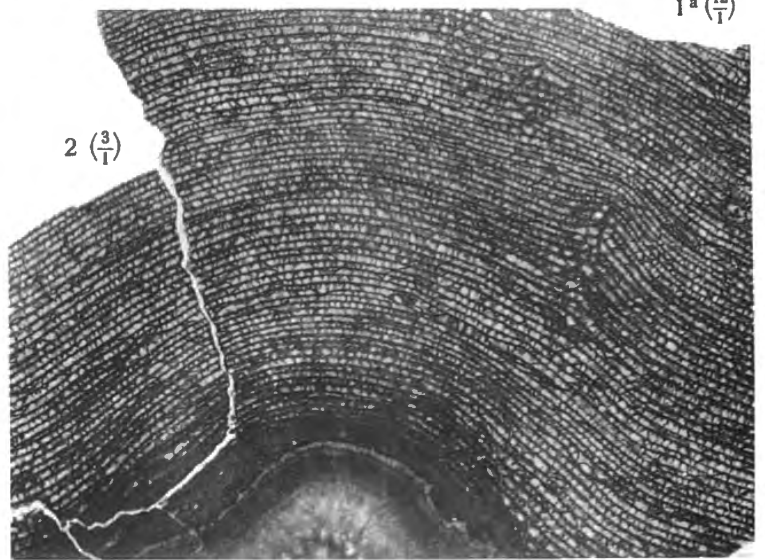
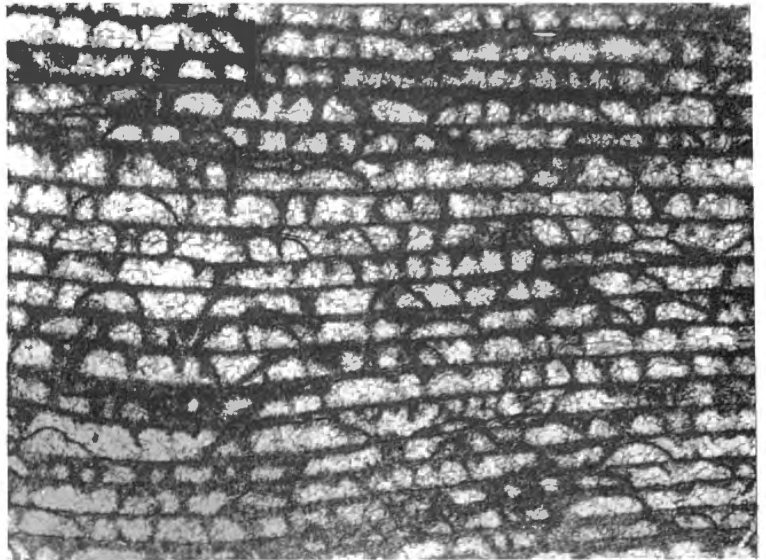
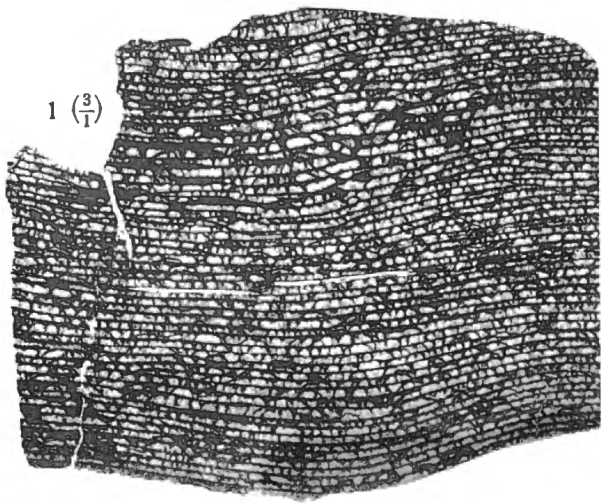


Fig. 1-3. — *Clathrodictyon paramygdaloides* nov. sp.

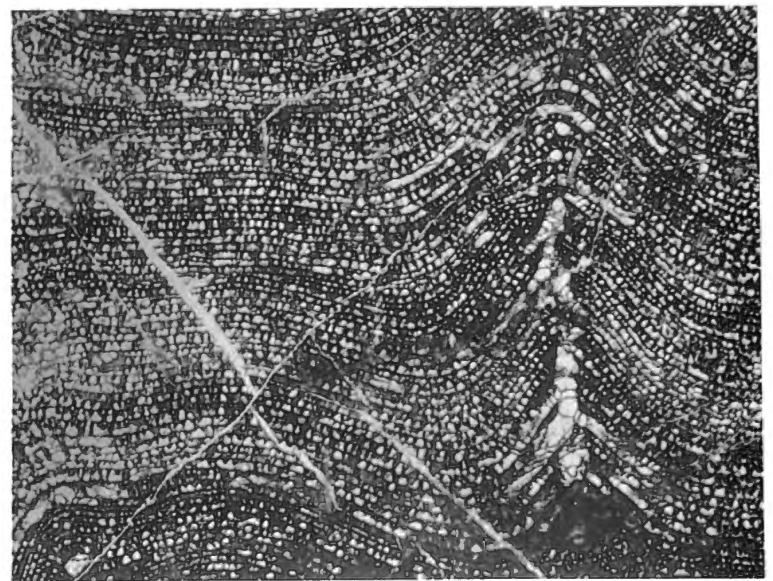
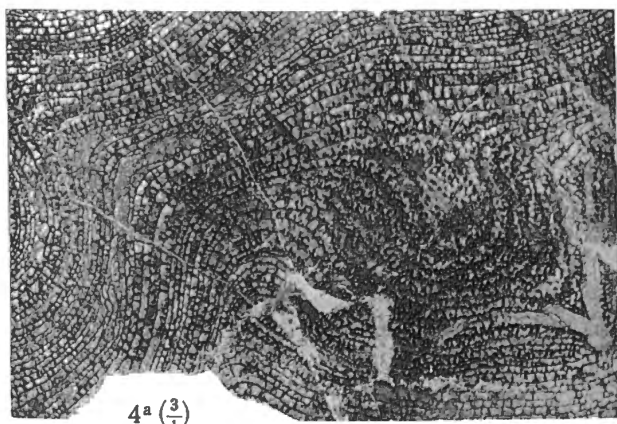
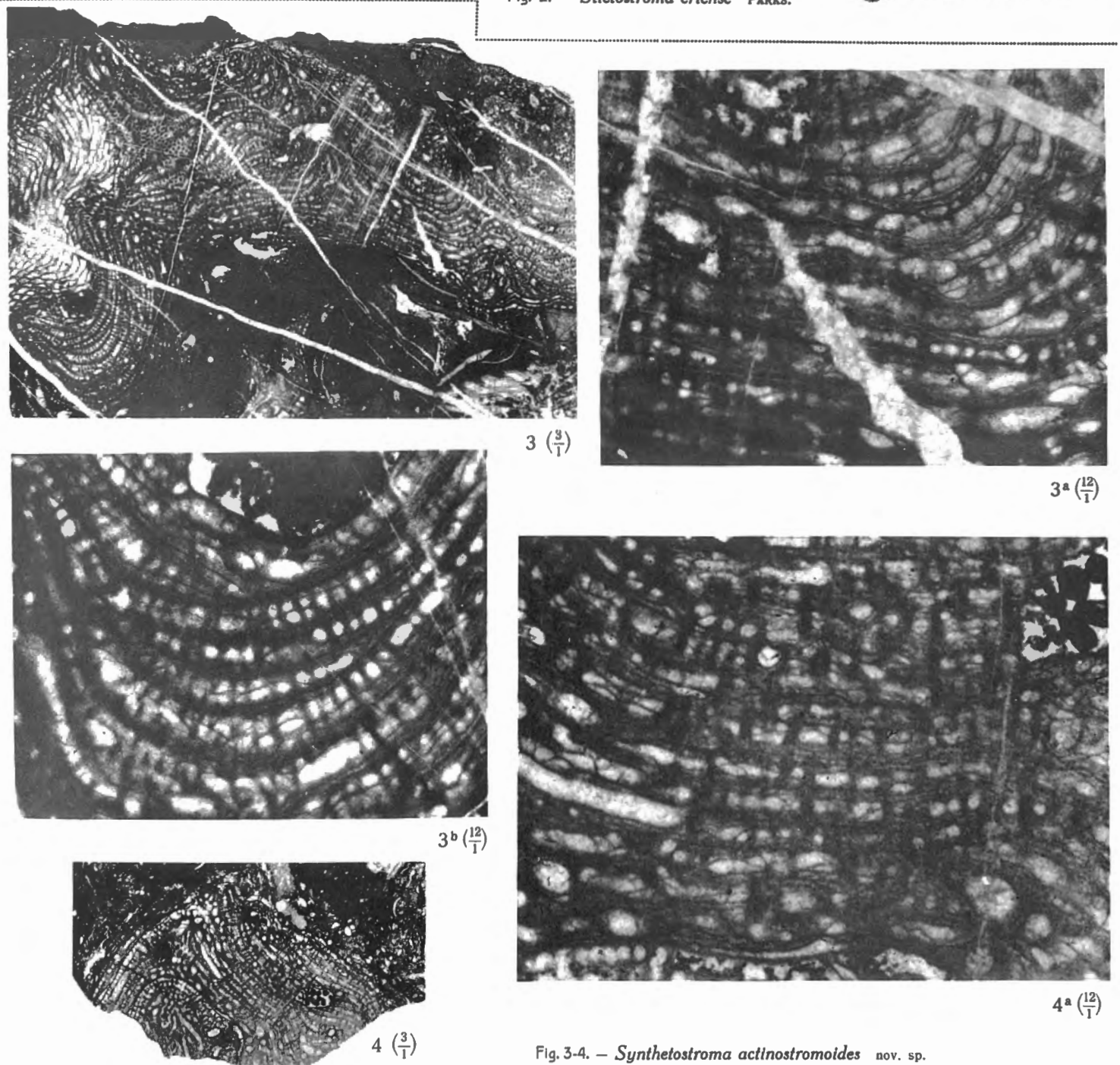
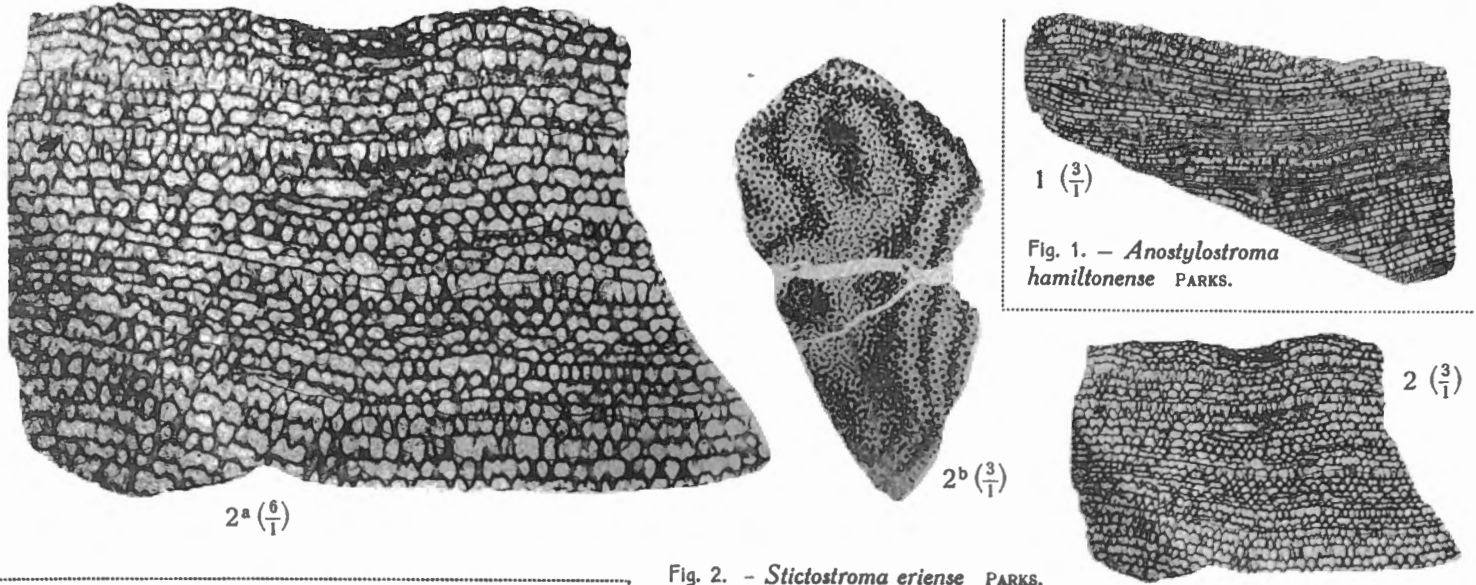


Fig. 4. — *Clathrodictyon latifistulatum* nov. sp.

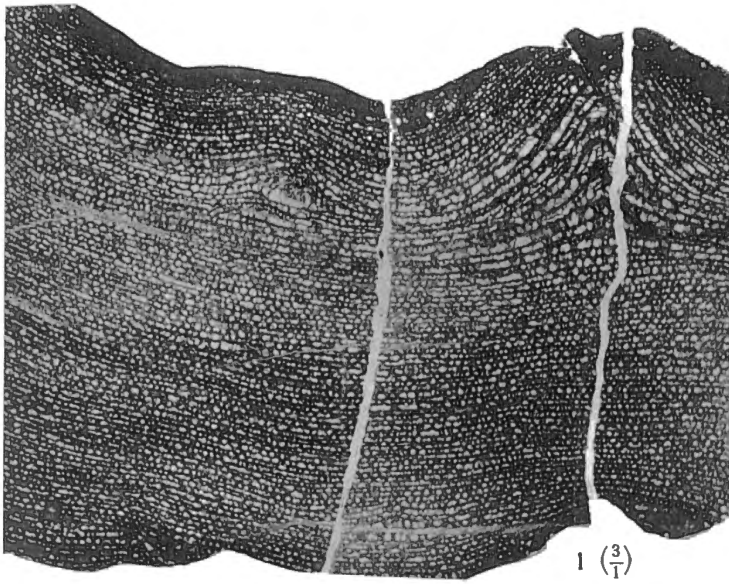
EXPLICATION DE LA PLANCHE XX.

	Pages.
FIG. 1. — <i>Anostylostroma hamiltonense</i> PARKS	138
1. Coupe verticale dans un fragment de diplotype (×3). Lame taillée au Royal Ontario Museum of Paleontology. Long Lake, Michigan, Hamilton.	
FIG. 2. — <i>Stictostroma eriense</i> PARKS	137
2. Coupe verticale dans un fragment de paratype (×3). Lame taillée au Royal Ontario Museum of Paleontology. Marblehead, Ohio, Onondaga.	
2a. Agrandissement de la même coupe (×6).	
2b. Coupe tangentielle dans le même spécimen (×3). Les lames correspondant aux figures 1 et 2 m'ont été aimablement envoyées par M. le Prof ^r L. S. RUSSELL et M ^{lle} M. A. FRITZ, du Royal Ontario Museum of Paleontology.	
FIG. 3 à 4. — <i>Synthetostroma actinostromoides</i> nov. sp.	194
3. Coupe verticale dans le holotype (×3). Pl. Surice 36, n° 7296, <i>Gl.</i>	
3a. Partie agrandie de la même coupe montrant l'aspect échevelé ou subvésicu- laire des lamelles fortement ondulées (×12).	
3b. Partie agrandie de la figure 3, montrant la surimposition des piliers (×12).	
4. Coupe verticale dans le paratype (×3). Pl. Surice 36, n° 7303, <i>Gl.</i>	
4a. Partie agrandie de la même coupe (×12).	

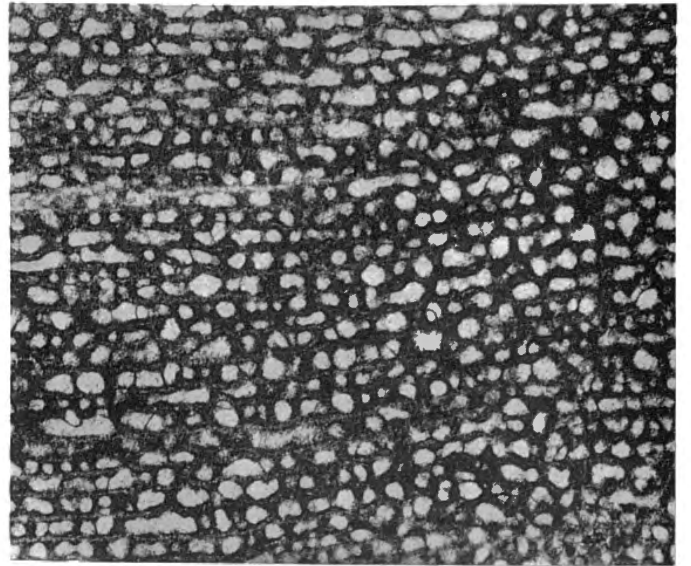


EXPLICATION DE LA PLANCHE XXI.

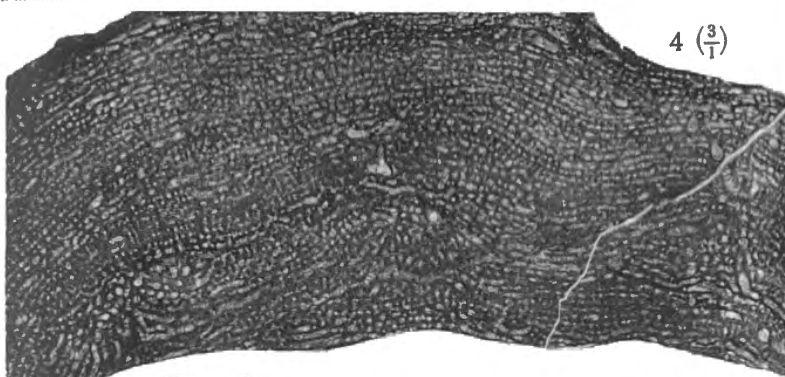
	Pages.
FIG. 1. — <i>Stromatoporella granulata</i> NICHOLSON	160
1 Coupe verticale dans un spécimen montrant un bombement mamelonnaire (×3). Pl. Chimay 4, n° 7449, <i>Co2c</i> .	
1a. Partie agrandie de la même coupe (×12).	
1b. Coupe tangentielle dans le même spécimen (×3).	
FIG. 2 à 3. — <i>Stromatoporella socialis</i> NICHOLSON	163
2. Coupe verticale dans un paratype de H. A. NICHOLSON (×3). Lame originale n° 367a, conservée au British Museum (Natural History), à Londres. Teignmouth (Angleterre).	
2a. Partie agrandie de la même coupe (×12).	
3. Lame verticale dans un autre paratype (×3). Coupe originale n° 363a, conservée au British Museum (Natural History), à Londres. Teignmouth (Angleterre).	
FIG. 4. — <i>Stromatoporella pertabulata</i> nov. sp.	170
4. Coupe verticale dans le holotype (×3). Pl. Rance 50, n° 7988, <i>F2g</i> .	
4a. Partie agrandie de la même coupe (×12).	
4b. Lame tangentielle dans le même spécimen (×3).	



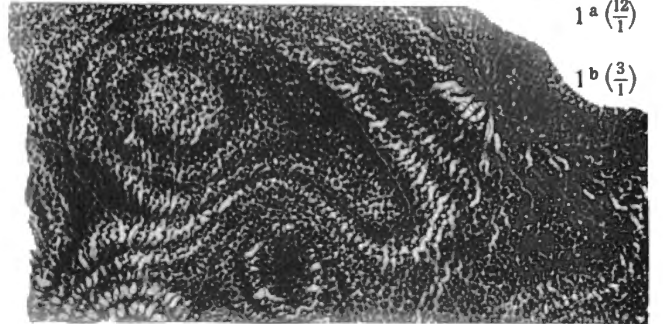
1 ($\frac{3}{1}$)



1^a ($\frac{12}{1}$)

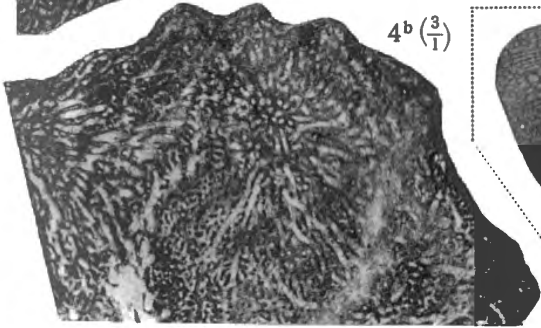


4 ($\frac{3}{1}$)

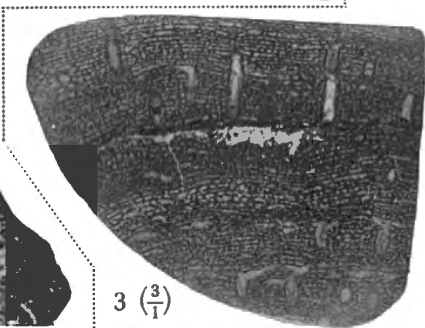


1^b ($\frac{3}{1}$)

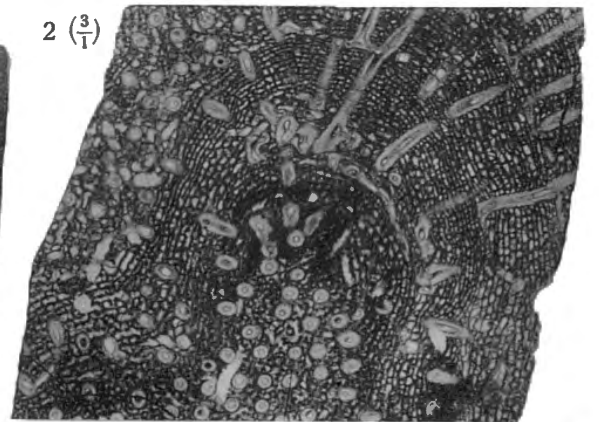
Fig. 1. — *Stromatoporella granulata* NICHOLSON



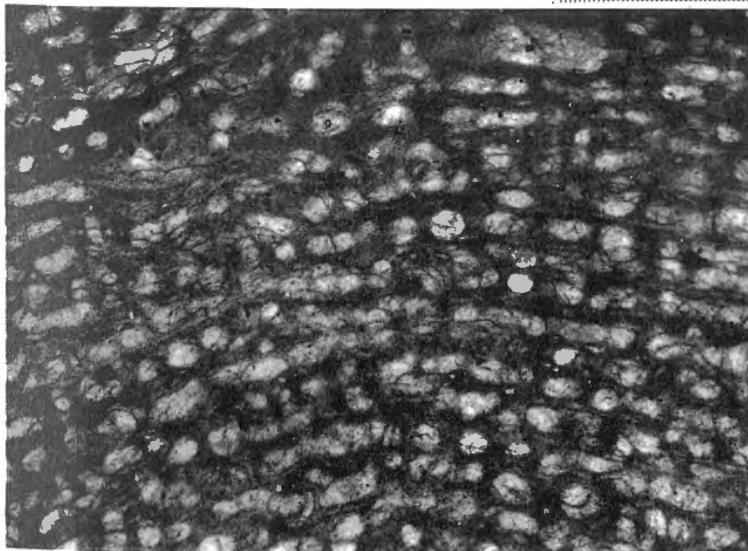
4^b ($\frac{3}{1}$)



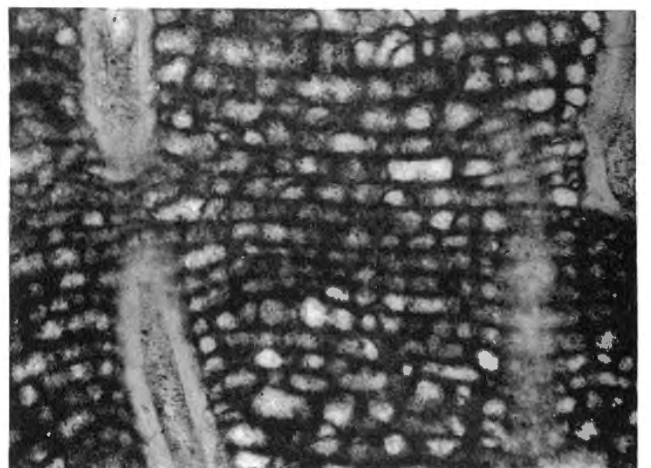
3 ($\frac{3}{1}$)



2 ($\frac{3}{1}$)



4^a ($\frac{12}{1}$)



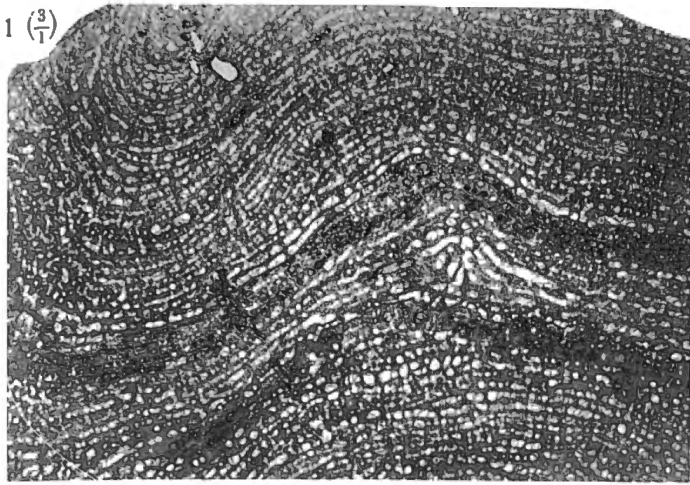
2^a ($\frac{12}{1}$)

Fig. 2-3. — *Stromatoporella socialis* NICHOLSON.

Fig. 4. — *Stromatoporella pertabulata* nov. sp.

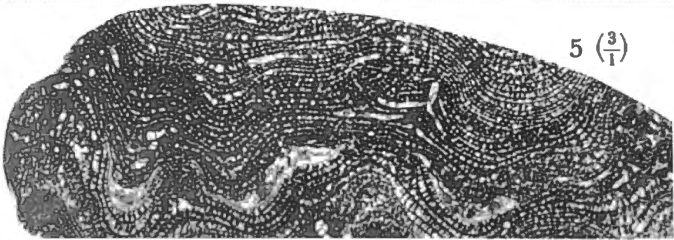
EXPLICATION DE LA PLANCHE XXII.

	Pages.
FIG. 1 à 2. — <i>Stromatoporella pertabulata</i> nov. sp.	170
1. Coupe verticale dans un paratype montrant un tissu assez empâté (×3). Pl. Sautour 7574, n° 6398, <i>F2g</i> .	
2. Coupe verticale dans un autre paratype. Remarquer la tendance à la surimposition des piliers (×3). Pl. Rance 50, n° 7989, <i>F2g</i> .	
FIG. 3 à 4. — <i>Stromatoporella gracilis</i> nov. sp.	166
3. Coupe verticale dans le holotype (×3). Pl. Surice 51e, n° 7468, <i>Gt</i> .	
4. Lame verticale dans le paratype, montrant les astrorhizes énormes, tabulées, se relevant en pointement mamelonnaire (×3). Pl. Couvin 6150, n° 5158, <i>F1c</i> .	
4a. Partie agrandie de la même coupe (×12).	
4b. Lame tangentielle dans le même spécimen (×12).	
FIG. 5 à 7. — <i>Stromatoporella saginata</i> nov. sp.	171
5. Lame verticale dans un paratype de « <i>Stromatoporella socialis</i> » NICHOLSON (×3). Lame originale n° 362, conservée au British Museum (Natural History), à Londres. Teignmouth (Angleterre).	
6. Lame verticale dans un des syntypes montrant des hiatus dans le développement (×3). Pl. Rance 8275, n° 7484, <i>F2h</i> .	
6a. Partie agrandie de la même coupe (×12).	
7. Coupe verticale dans un autre syntype, à lamelles plus épaisses (×3). Pl. Rance 43, n° 7492, <i>F2g</i> .	

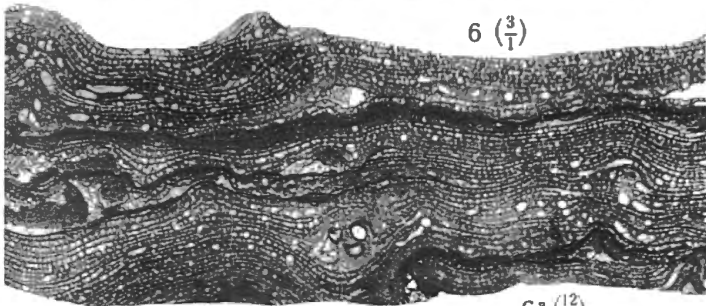


2 (3/1)

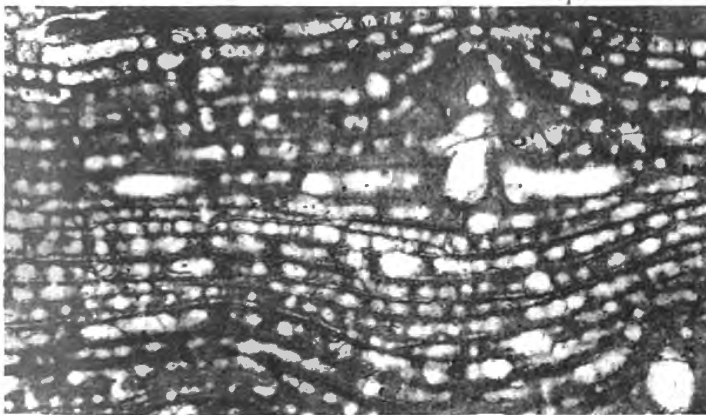
Fig. 1-2. — *Stromatoporella pertabulata* nov. sp.



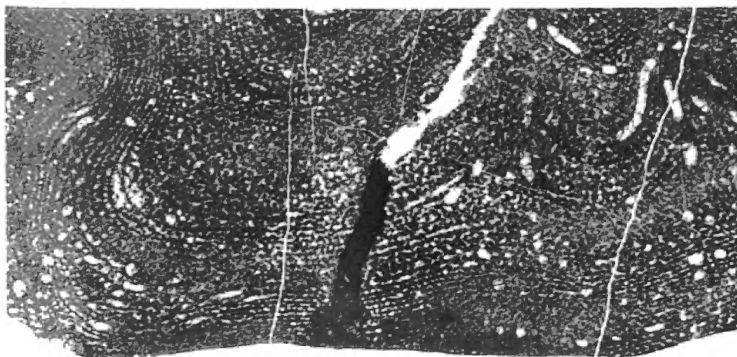
5 (3/1)



6 (3/1)

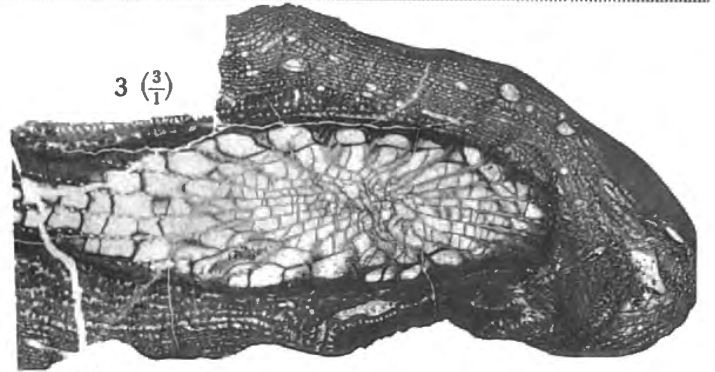


6^a (12/1)

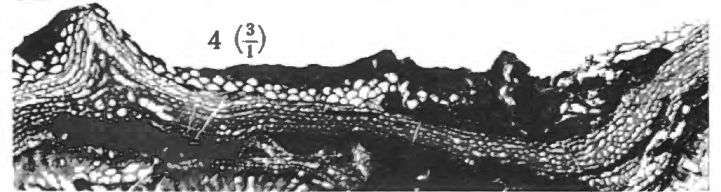


7 (3/1)

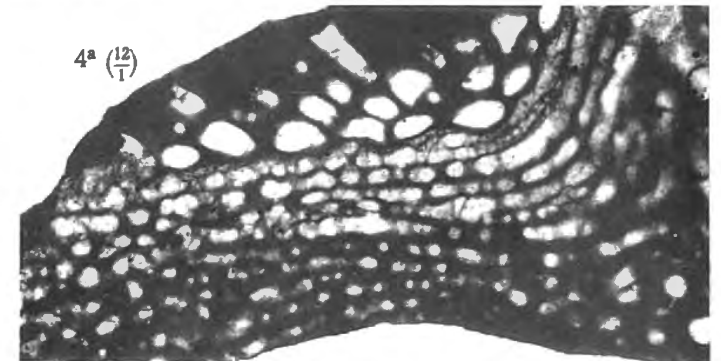
Fig. 5-7. — *Stromatoporella saginata* nov. sp.



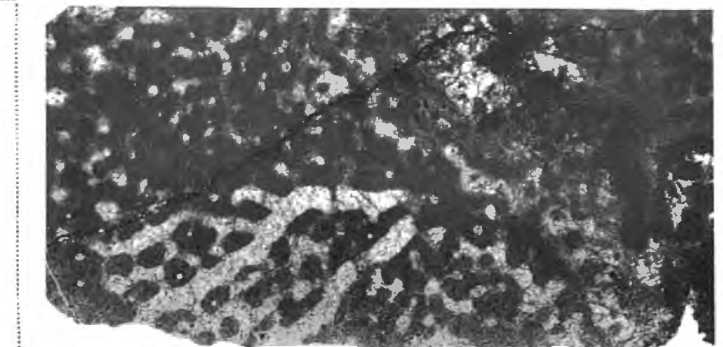
3 (3/1)



4 (3/1)



4^a (12/1)

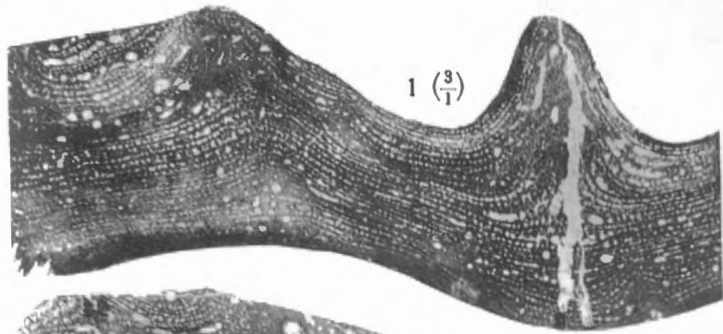


4^b (12/1)

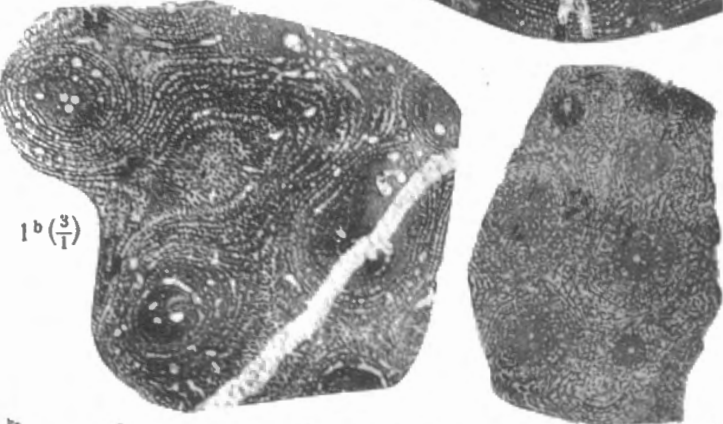
Fig. 3-4. — *Stromatoporella gracilis* nov. sp.

EXPLICATION DE LA PLANCHE XXIII.

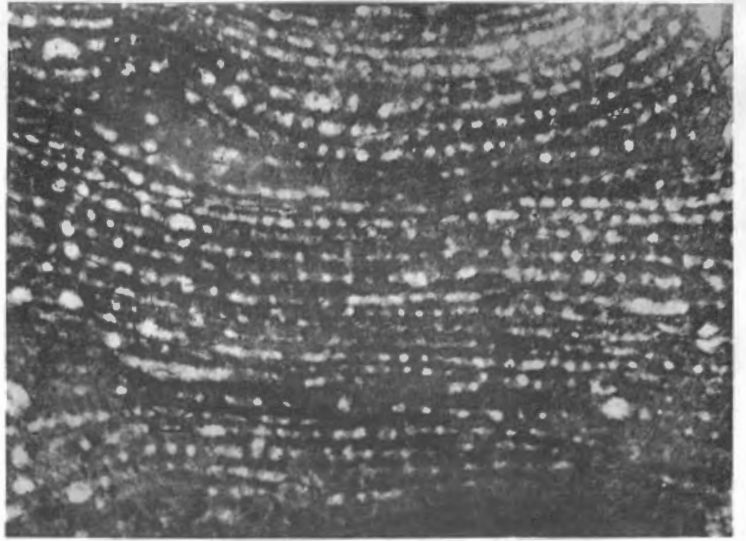
	Pages.
FIG. 1 à 3. — <i>Stromatoporella saginata</i> nov. sp.	171
1. Coupe verticale dans un type à tissu très épaisi (×3). Pl. Rance 8275, n° 7502, F2h.	
1a. Partie agrandie de la même coupe (×12).	
1b. Coupe tangentielle dans le même spécimen (×3).	
2. Coupe tangentielle montrant la disposition concentrique des lamelles (×3). Pl. Sautour 6779, n° 7493, F2g.	
2a. Coupe verticale dans le même spécimen, montrant l'épaississement prononcé des lamelles sur les flancs des mamelons (×3).	
3. Coupe verticale dans un type à tissu très ondulé (×3). Pl. Rance 8275, n° 7500, F2h.	
FIG. 4 à 5. — <i>Stromatoporella eifeliensis</i> (BARGATZKY)	174
4. lame originale d'A. BARGATZKY (×3). Büchel, Mitt. Devon. Conservée au Musée de Paléontologie de l'Université de Bonn.	
5. lame taillée à ma demande dans un spécimen de l'Université de Bonn (×3). Lame n° 27 (nobis), conservée au Musée de Paléontologie de l'Université de Bonn.	
FIG. 6 à 7. — <i>Stromatoporella solitaria</i> NICHOLSON	173
6. Coupe verticale dans un spécimen de l'Ardenne (×3). Pl. Couvin 80, n° 7446, Co2d.	
6a. Coupe tangentielle dans le même spécimen (×3).	
7. Coupe verticale dans un autre spécimen. La microstructure de la fibre est apparente (×12). Pl. Couvin 3, n° 7447, Co2c.	



1 ($\frac{3}{1}$)



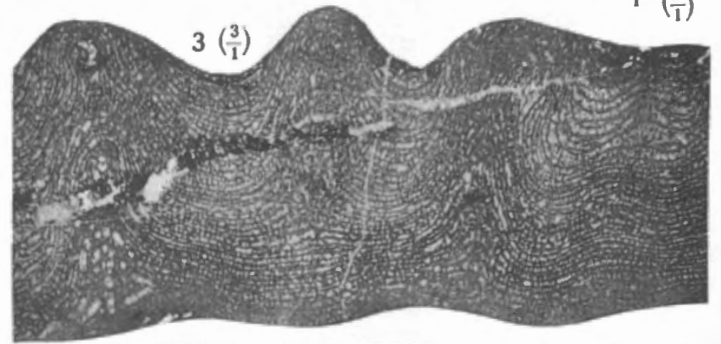
1b ($\frac{3}{1}$)



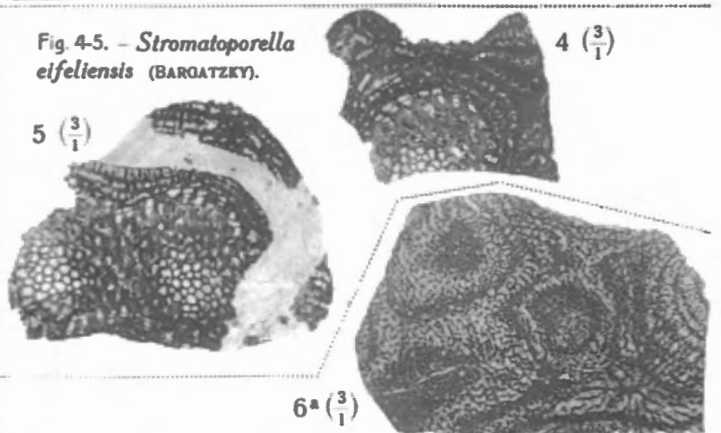
1a ($\frac{12}{1}$)



2 ($\frac{3}{1}$)

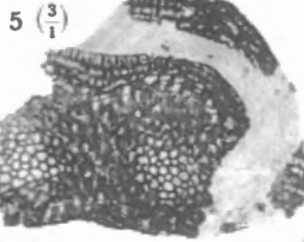


3 ($\frac{3}{1}$)

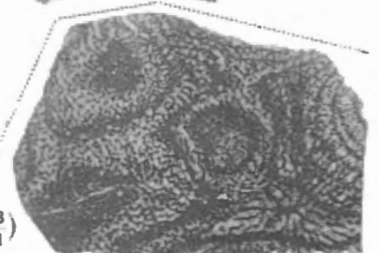


4 ($\frac{3}{1}$)

Fig. 4-5. — *Stromatoporella eifeliensis* (BARGATZKY).

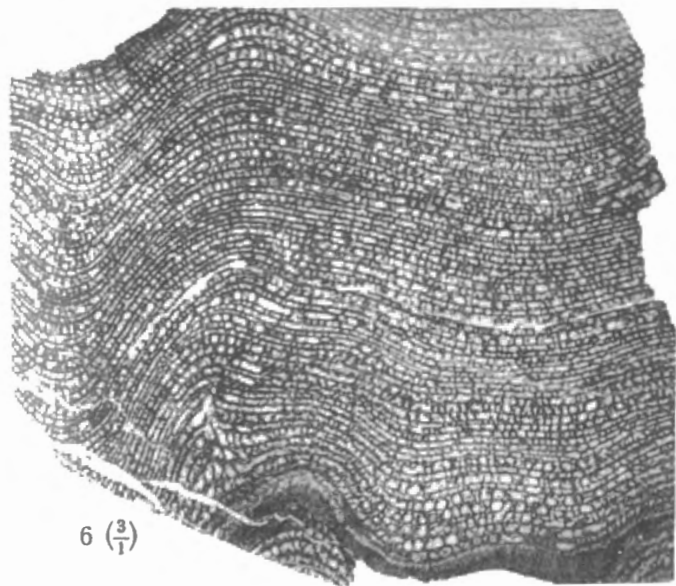


5 ($\frac{3}{1}$)



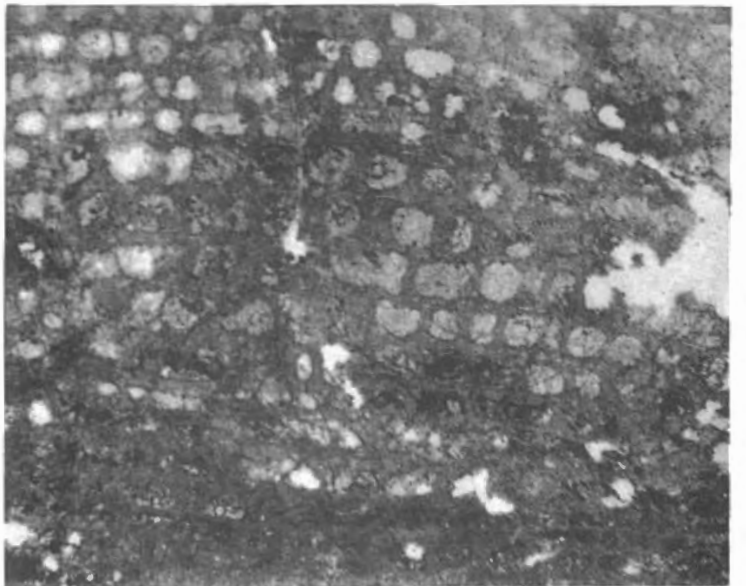
6a ($\frac{3}{1}$)

Fig. 1-3 — *Stromatoporella saginata* nov. sp.



6 ($\frac{3}{1}$)

Fig 6-7. — *Stromatoporella solitaria* NICHOLSON.



7 ($\frac{12}{1}$)

EXPLICATION DE LA PLANCHE XXIV.

	Pages.
FIG. 1 à 5. — <i>Stromatoporella laminata</i> (BARGATZKY)	167
1. lame verticale dans le type (×3). Lame originale n° 13, conservée au Musée de Paléontologie de l'Université de Bonn. Büchel-bei-Berg, Gladbach (Ob. Mitt. Dev.).	
1a. Coupe tangentielle dans le même spécimen (×3).	
2. lame taillée à ma demande dans un spécimen non original (×3). Lame n° 12 (nobis), conservée au Musée de Paléontologie de l'Université de Bonn. Büchel.	
3. Coupe verticale taillée par C. SCHLÜTER et conservée au Musée de Paléontologie de l'Université de Bonn (×3). N° 120, Büchel.	
4. lame dans un original de H. A. NICHOLSON (×3). Lame originale n° 376b conservée au British Museum (Natural History). Büchel.	
5. lame verticale dans un spécimen de l'Ardenne (×3). Pl. Surice 51e, n° 7364, <i>Gl.</i>	
5a. Partie agrandie de la même coupe (×12).	
FIG. 6. — <i>Stromatoporella decora</i> nov. sp.	164
6. Coupe verticale dans le holotype (×3). Pl. Surice 51e, n° 5182, <i>Gl.</i>	
6a. Partie agrandie de la même coupe (×12).	
6b. Coupe tangentielle dans le même spécimen (×3).	

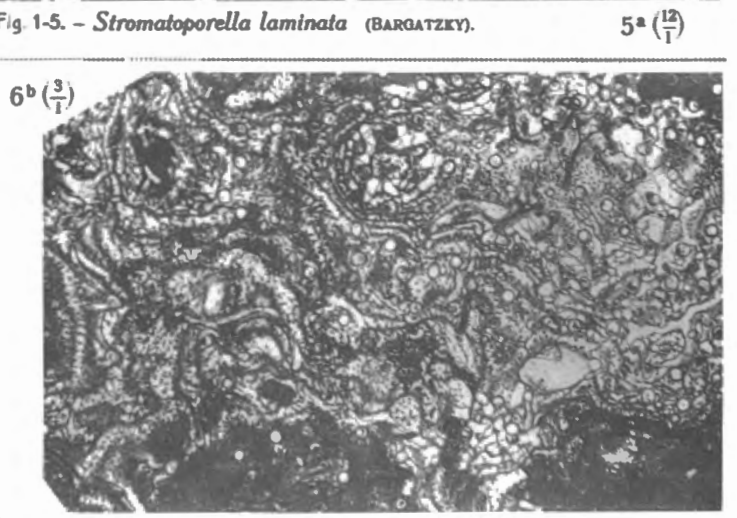
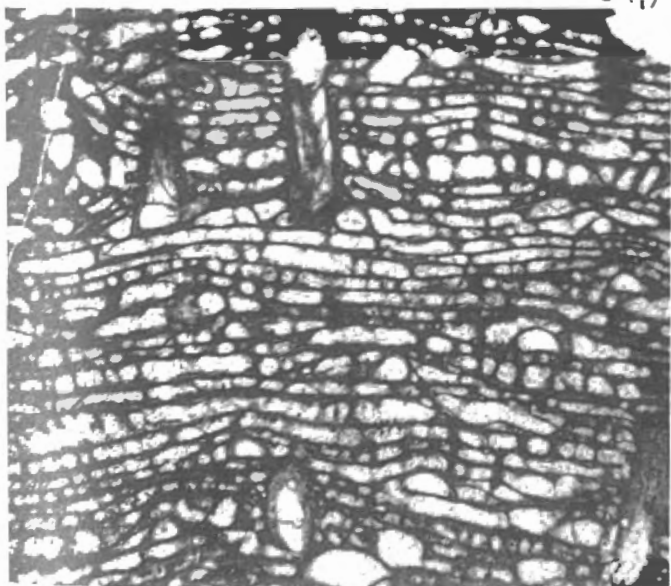
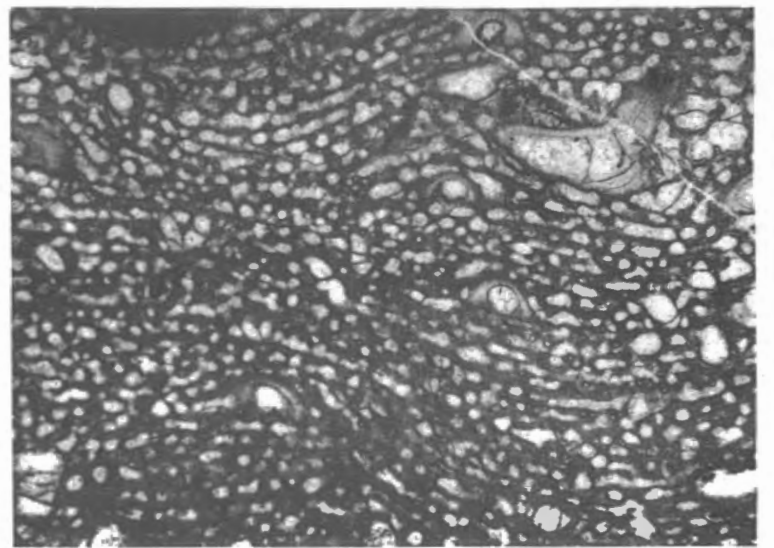
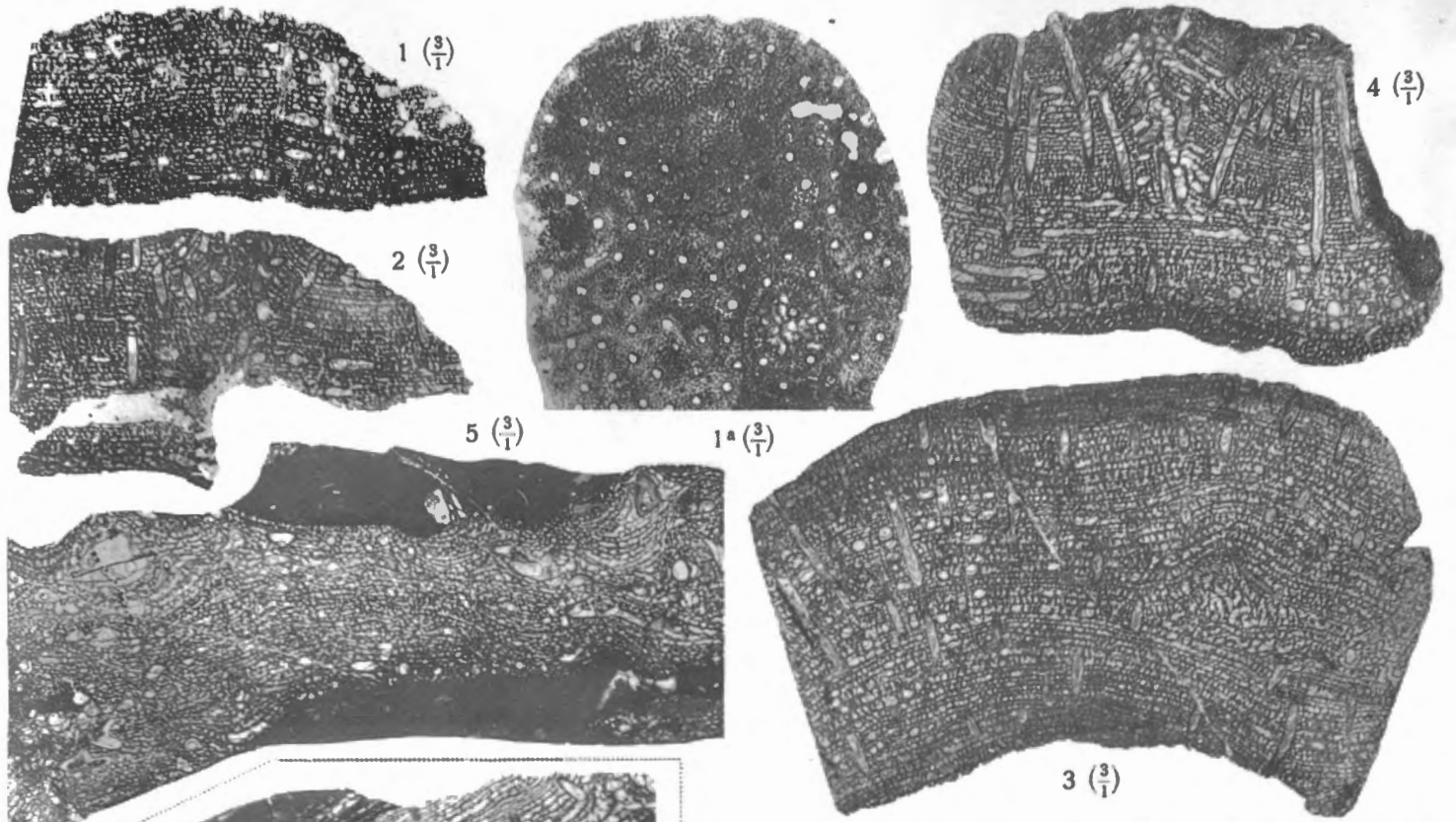


Fig. 1-5. — *Stromatoporella laminata* (BARGATZKY).

Fig. 6. — *Stromatoporella decora* nov. sp.

EXPLICATION DE LA PLANCHE XXV.

	Pages.
FIG. 1 à 3. — <i>Stromatoporella curiosa</i> (BARGATZKY)	177
1. Coupe verticale dans un spécimen de l'Ardenne (×3). Pl. Surice 17 B, n° 7243, <i>Gid.</i>	
2. Lame n° 9 taillée à ma demande dans un spécimen du Musée de Paléontologie de l'Université de Bonn (×3). Gerolstein.	
2a. Partie agrandie de la même coupe (×12).	
2b. Coupe tangentielle taillée, à ma demande, dans le même spécimen (×3).	
3. Spécimen original figuré par A. GOLDFUSS (1826, pl. LXIV, fig. 8c) sous le nom de « <i>Stromatopora polymorpha</i> » (grandeur naturelle). Conservé au Musée de Paléontologie de l'Université de Bonn.	
3a. Coupe verticale dans le même spécimen (×3).	
FIG. 4 à 7. — <i>Stromatoporella crassitexta</i> nov. sp.	181
4. Coupe dans le holotype (×3). Pl. Olloy 12, n° 5135, <i>Gid.</i>	
4a. Partie agrandie de la même coupe (×12).	
5. Coupe verticale dans un paratype (×3). Pl. Olloy 12, n° 5299, <i>Gid.</i>	
6. Coupe tangentielle dans un autre paratype (×3). Pl. Olloy 12, n° 5306, <i>Gid.</i>	
7. Coupe verticale dans un paratype de « <i>Stromatoporella damnoniensis</i> » NICHOLSON (×3). Lame originale n° 356 conservée au British Museum (Natural History), à Londres. Sötenich, Mitt. Devon.	
FIG. 8. — <i>Stromatoporella damnoniensis</i> NICHOLSON	183
8. Coupe verticale dans un spécimen de l'Ardenne (×3). Pl. Rance 42, n° 8249, <i>Fzg.</i>	

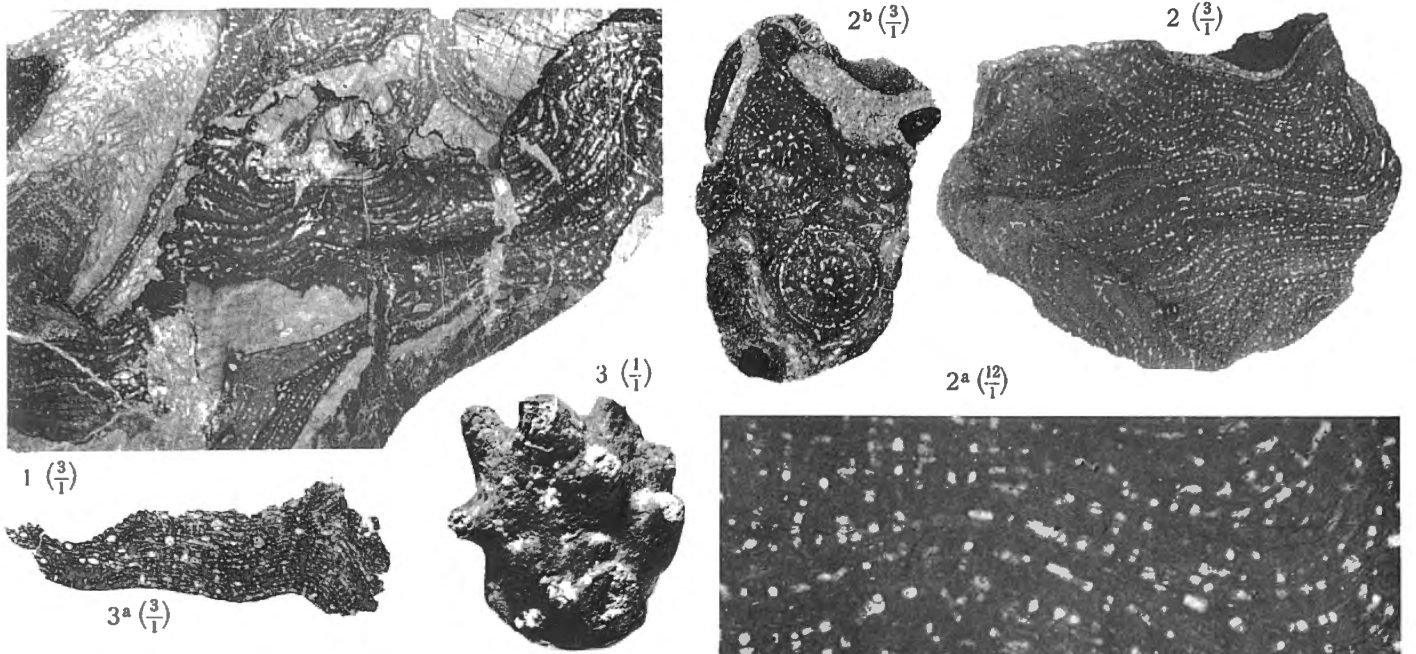


Fig. 1-3. — *Stromatoporella curiosa* (BARGATZKY).

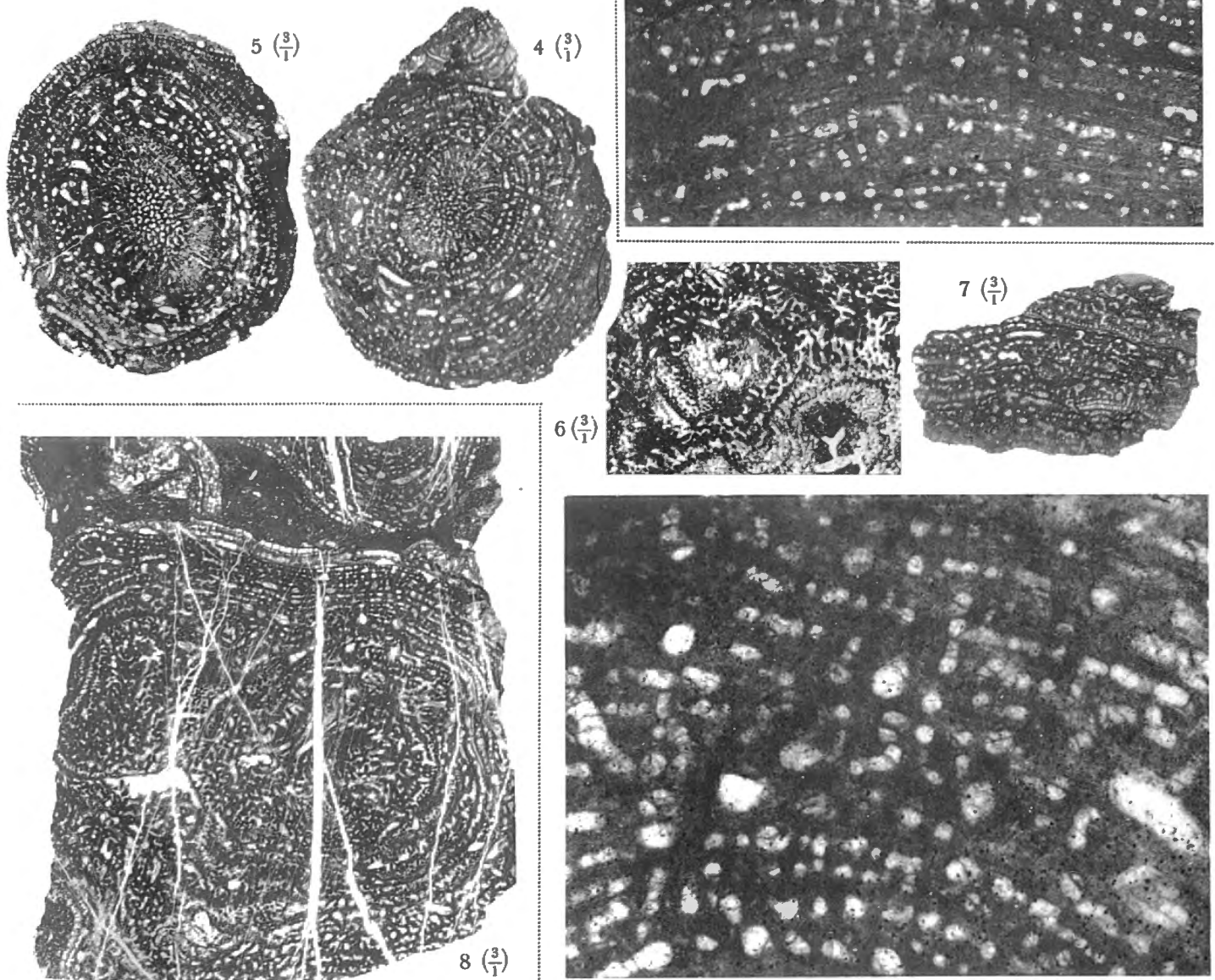


Fig. 4-7. — *Stromatoporella crassitexta* nov. sp.

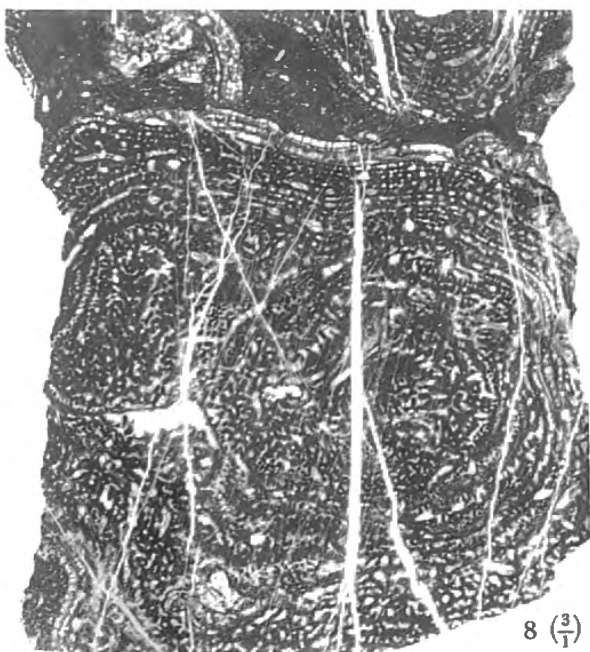


Fig. 8. — *Stromatoporella damnoniensis* NICHOLSON.

EXPLICATION DE LA PLANCHE XXVI.

	Pages.
FIG. 1. — <i>Stromatoporella irregularis</i> nov. sp.	184
1. Coupe verticale dans le holotype (×3). Pl. Sautour 53, n° 7143, F2g.	
1a. Partie agrandie de la même coupe (×12).	
FIG. 2. — <i>Stromatoporella obliterated</i> nov. sp.	185
2. Coupe verticale dans le holotype (×3). Pl. Couvin 3, n° 7531, Co2c.	
2a. Coupe tangentielle dans le même spécimen (×12).	
2b. Coupe verticale dans le même spécimen (×3).	
2c. Partie agrandie de la coupe précédente (×12).	
2d. Autre coupe verticale dans le même spécimen (×3).	

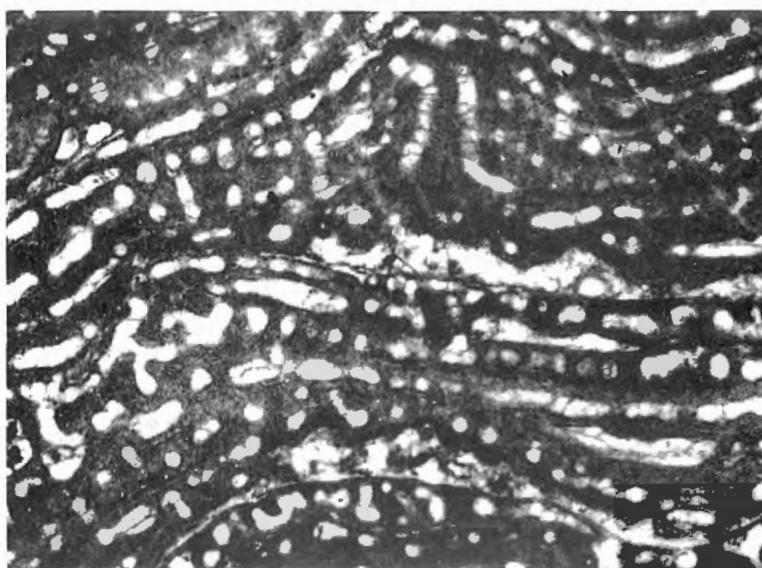
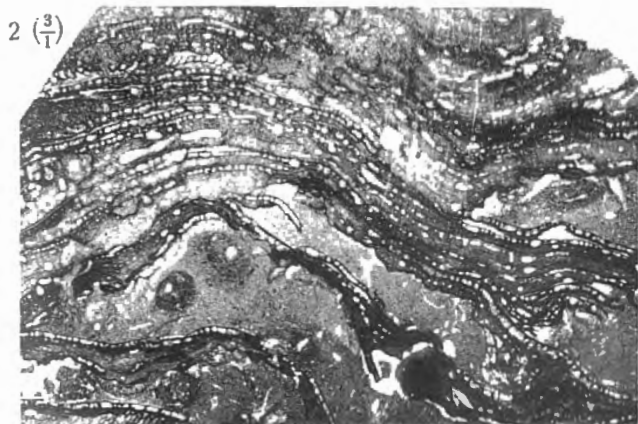


Fig. 1. — *Stromatoporella irregularis* nov. sp.



2c ($\frac{12}{1}$)

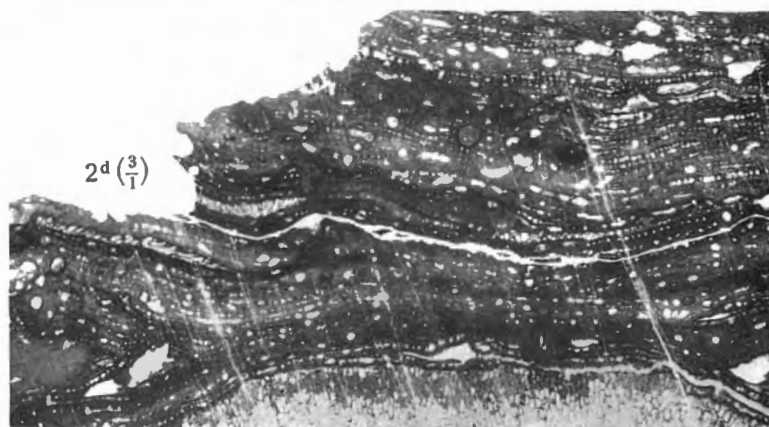
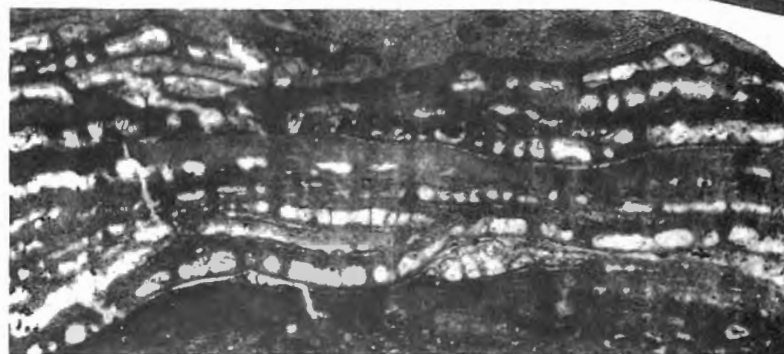
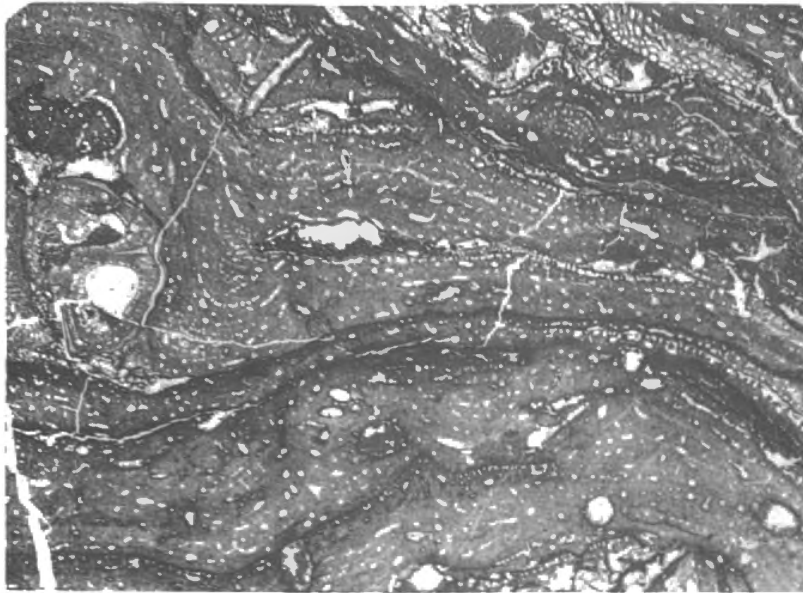


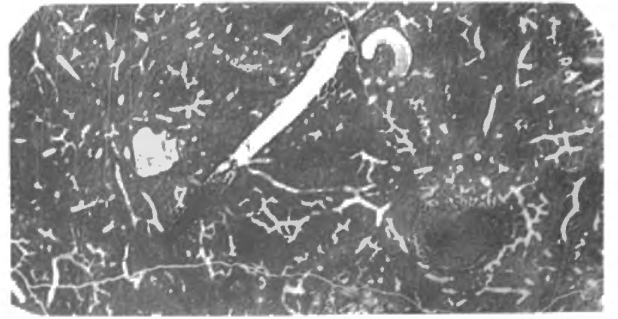
Fig. 2. — *Stromatoporella obliterated* nov. sp.

EXPLICATION DE LA PLANCHE XXVII.

	Pages.
FIG. 1 à 4. — <i>Stromatoporella spissa</i> nov. sp.	187
1. Coupe verticale dans le holotype (×3). Pl. Surice 18, n° 7164, <i>Gl.</i>	
1a. Coupe tangentielle dans le même spécimen (×3).	
1b. Autre coupe verticale dans le même spécimen (×3).	
1c. Partie agrandie de la coupe précédente (×12).	
2. Coupe tangentielle dans un paratype (×3). Pl. Surice 6894, n° 7199, <i>Gl.</i>	
2a. Coupe verticale dans le même spécimen (×3). Remarquer la fine latilamina- tion.	
3. Coupe verticale dans le second paratype, à chambres plus nombreuses et moins étroites (×3). Pl. Surice 51e, n° 7171, <i>Gl.</i>	
4. Coupe verticale dans le troisième paratype (×3). Pl. Surice 51e, n° 7174, <i>Gl.</i>	



1 ($\frac{3}{1}$)



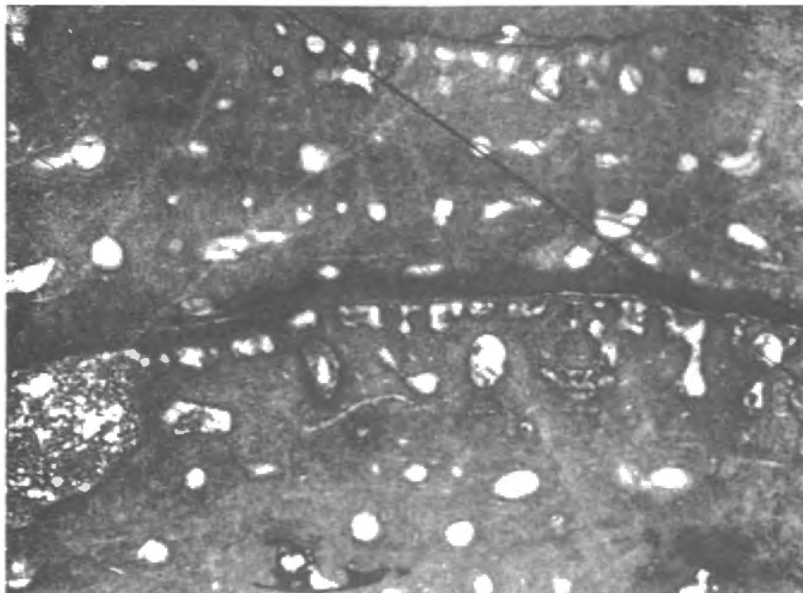
1^a ($\frac{3}{1}$)



1^b ($\frac{2}{1}$)



2 ($\frac{2}{1}$)



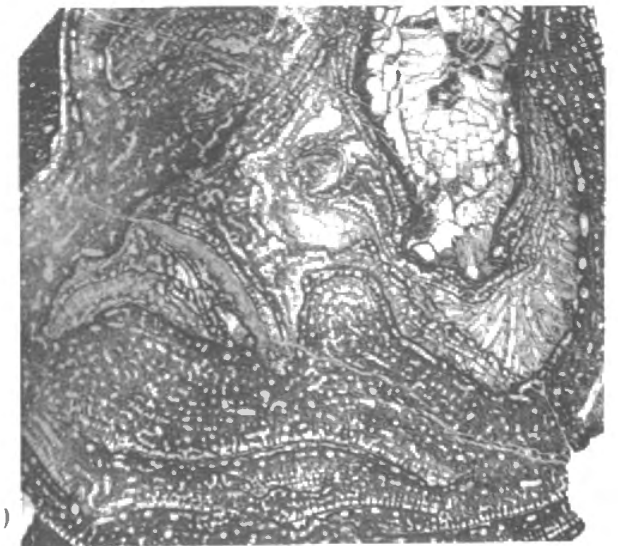
1^c ($\frac{12}{1}$)



2^a ($\frac{2}{1}$)



3 ($\frac{3}{1}$)



3 ($\frac{3}{1}$)

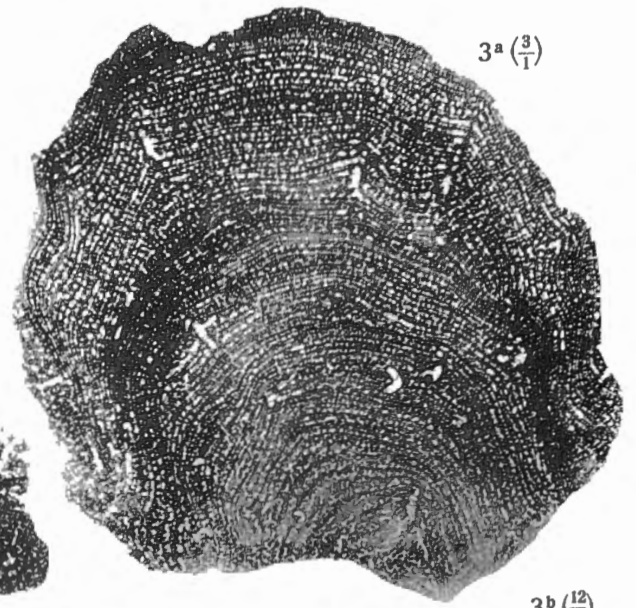
Fig. 1-4. — *Stromatoporella spissa* nov. sp.

EXPLICATION DE LA PLANCHE XXVIII.

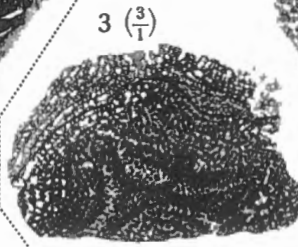
	Pages.
FIG. 1 à 2. — <i>Stromatoporella spissa</i> mut. <i>latitexta</i> nov. mut.	189
1. Coupe verticale dans un spécimen parasitant un Tabulé (×3) Pl. Surice 52c, n° 7155, F2g.	
2. Coupe verticale dans un spécimen à lamelles plus apparentes (×3). Pl. Rance 50, n° 7162, F2g.	
FIG. 3. — <i>Stromatoporella alveolata</i> nov. sp.	190
3. Coupe tangentielle dans le holotype (×3). Pl. Rochefort 7272f, n° 5147, Gib.	
3a. Coupe verticale dans le même spécimen (×3).	
3b. Partie agrandie de la même coupe (×12).	
FIG. 4 à 5. — <i>Stromatoporella lemnisca</i> nov. sp.	191
4. Coupe verticale dans le holotype (×3). Pl. Surice 17 B, n° 7250, Gi.	
4a. Partie agrandie de la même coupe, montrant la surimposition des piliers et l'axe noir des lamelles tranchant ces derniers (×12).	
4b. Coupe tangentielle dans le même spécimen (×3).	
5. Coupe verticale dans le paratype (×12). Pl. Surice 51e, n° 5204, Gi.	



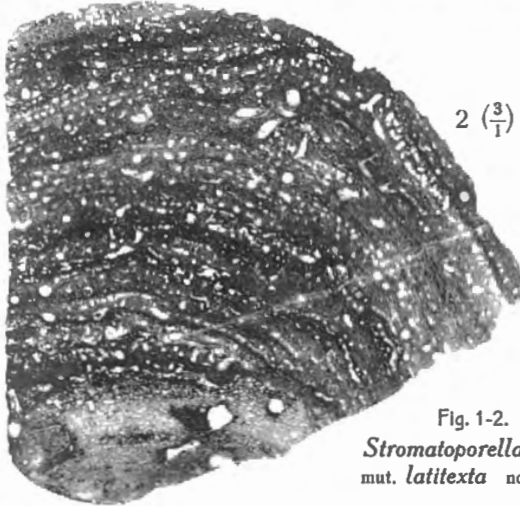
1 ($\frac{3}{1}$)



3a ($\frac{3}{1}$)



3 ($\frac{3}{1}$)



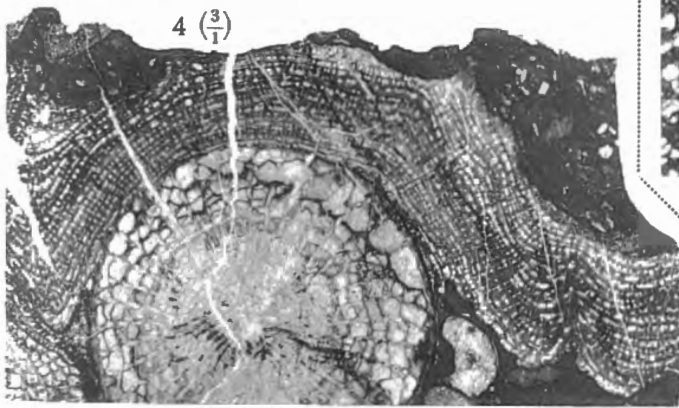
2 ($\frac{3}{1}$)

Fig. 1-2.
Stromatoporella spissa
 mut. *latitexta* nov. mut.

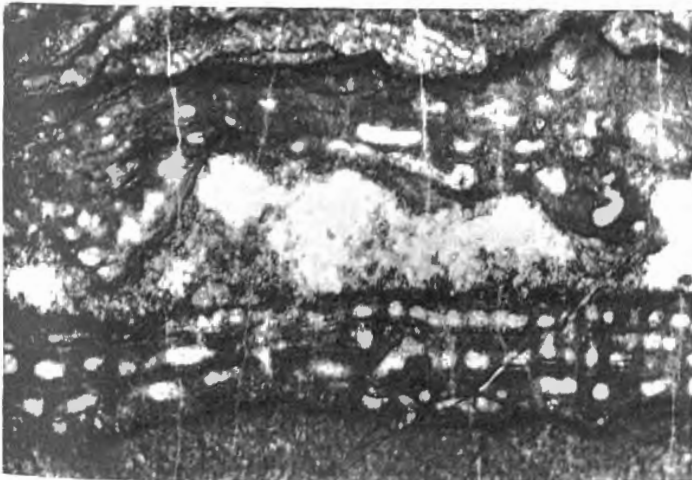


3b ($\frac{12}{1}$)

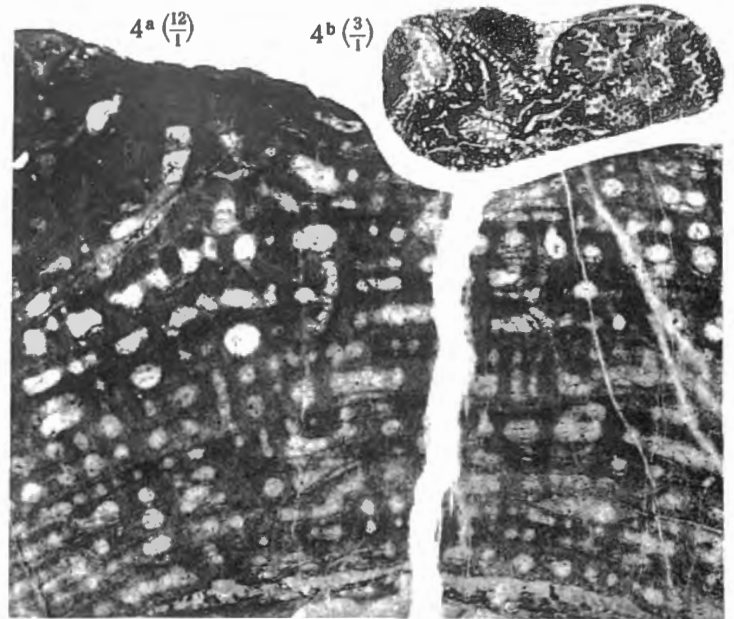
Fig. 3. — *Stromatoporella alveolata* nov. sp.



4 ($\frac{3}{1}$)



5 ($\frac{12}{1}$)



4a ($\frac{12}{1}$)

4b ($\frac{3}{1}$)

Fig. 4-5. — *Stromatoporella lemnisca* nov. sp.

EXPLICATION DE LA PLANCHE XXIX.

	Pages.
FIG. 1 à 4. — <i>Stromatoporella bifida</i> nov. sp.	192
1 Coupe verticale dans le holotype (×3). Pl. Rance 42, n° 5829, F2g.	
1a. Partie agrandie de la même coupe (×12).	
2. Coupe tangentielle dans un paratype (×3). Pl. Rance 42, n° 5813, F2g.	
2a. Coupe verticale dans le même spécimen (×3).	
3. Coupe verticale dans un paratype (×3). Pl. Rance 42, n° 5811, F2g.	
4. Coupe tangentielle (×12). Pl. Rance 42, n° 5827, F2g.	

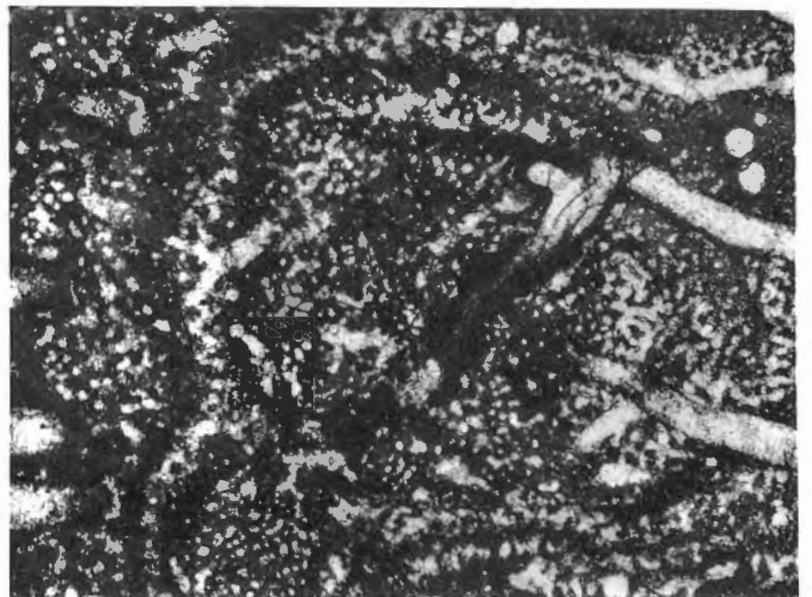
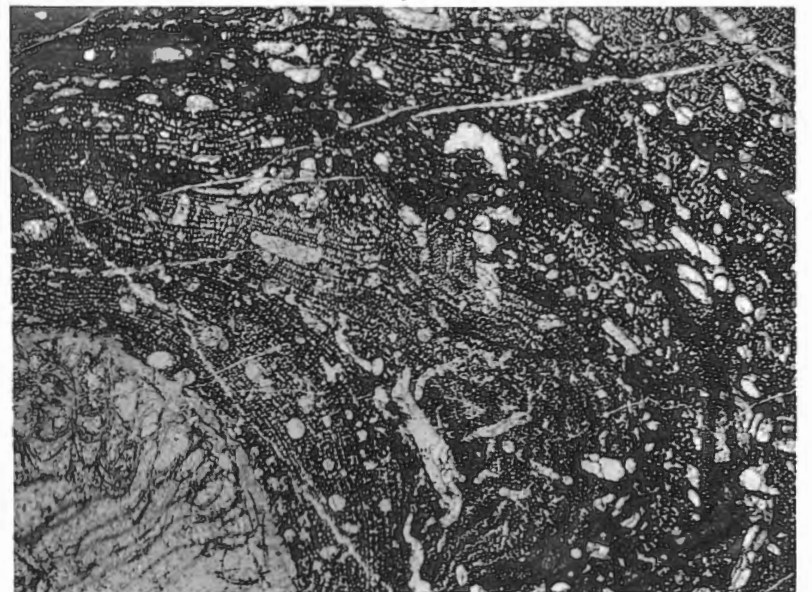
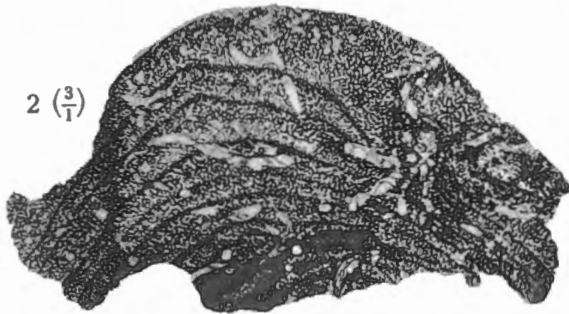
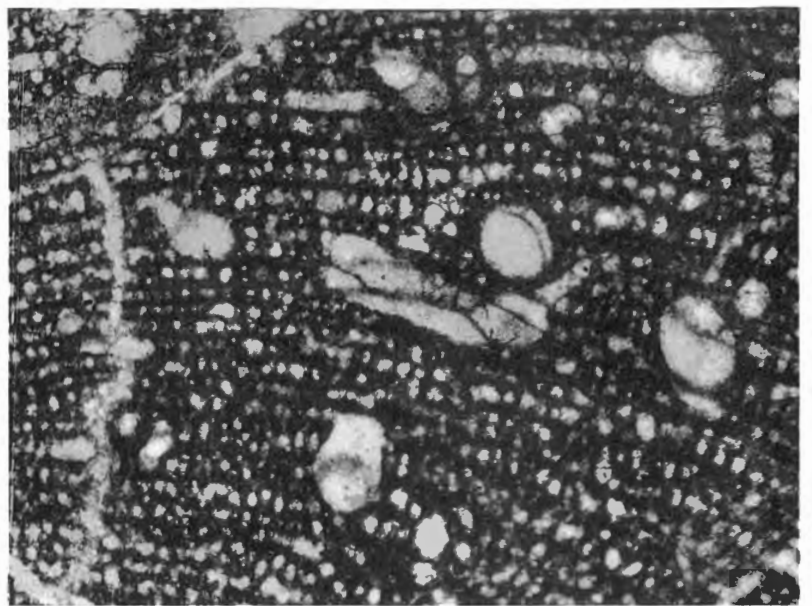
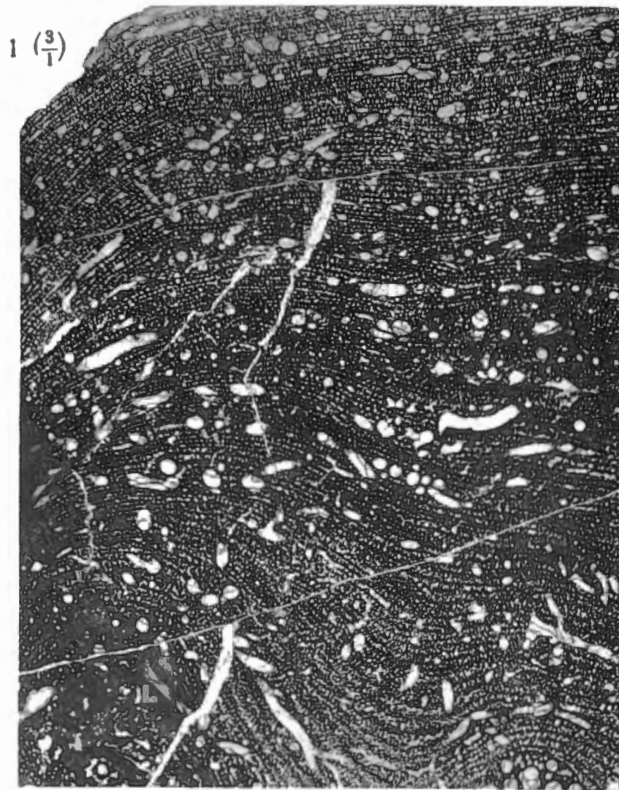


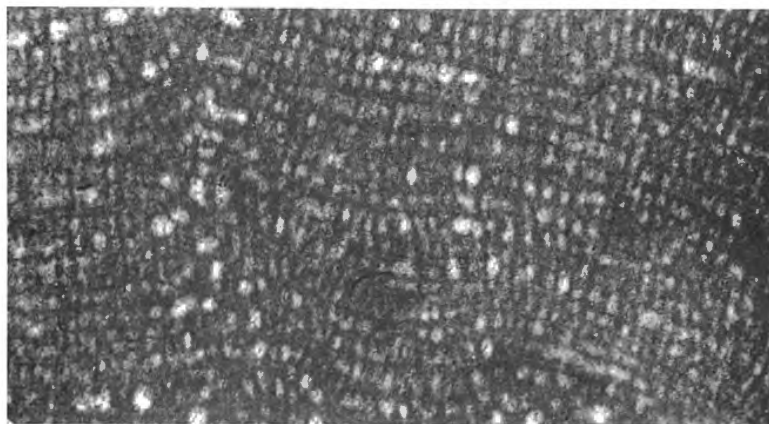
Fig. 1-4. — *Stromatoporella bifida* nov. sp.

EXPLICATION DE LA PLANCHE XXX.

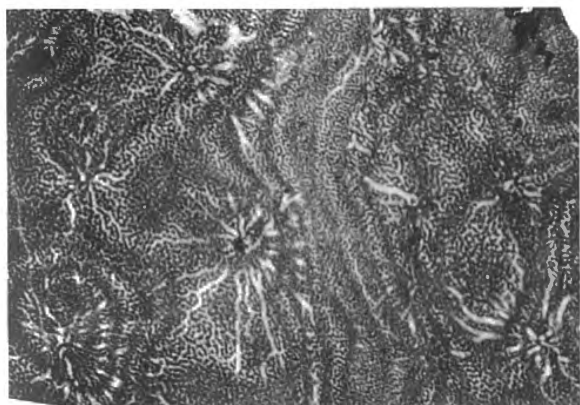
	Pages.
FIG. 1 à 2. — <i>Syringostroma perfectum</i> nov. sp.	199
1. Coupe verticale dans le holotype (×3). Pl. Couvin 96, n° 5737, <i>Co2b</i> .	
1a. Partie agrandie de la même coupe (×12).	
2. Coupe verticale dans le paratype (×3). Pl. Couvin 96, n° 6112, <i>Co2b</i> .	
2a. Coupe tangentielle dans le même spécimen (×3).	
FIG. 3. — <i>Syringostroma microfibrosum</i> nov. sp.	201
3. Coupe verticale dans le holotype (×3). Pl. Surice 51c, n° 5144, <i>F1</i> .	
3a. Partie agrandie de la même coupe (×12).	
3b. Coupe tangentielle dans le même spécimen (×12).	
FIG. 4. — <i>Syringostroma microfibrosum</i> mut. <i>latum</i> nov. mut.	202
4. Coupe verticale (×12). Pl. Senzeille 28, n° 5940, <i>F1b</i> .	



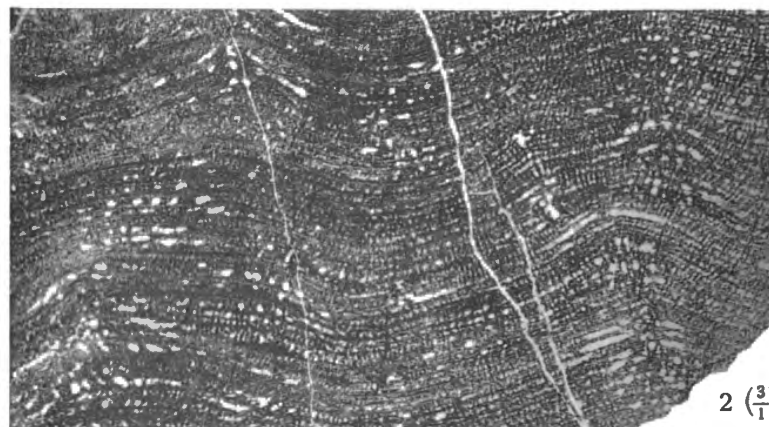
1 ($\frac{3}{1}$)



1 a ($\frac{12}{1}$)

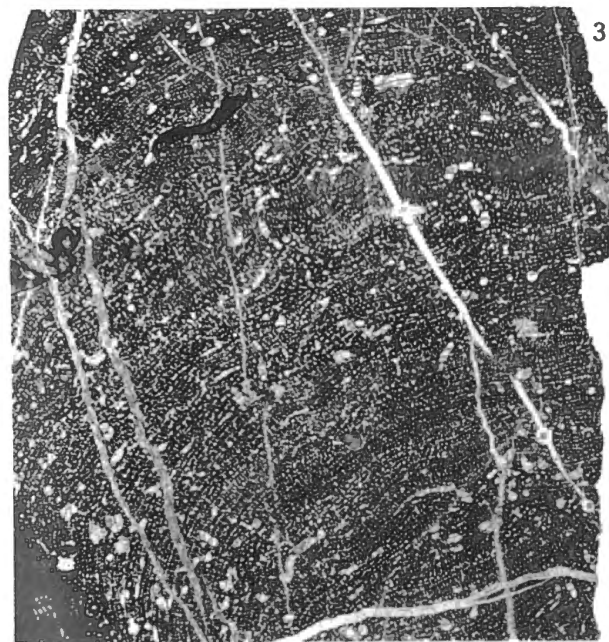


2 a ($\frac{3}{1}$)



2 ($\frac{3}{1}$)

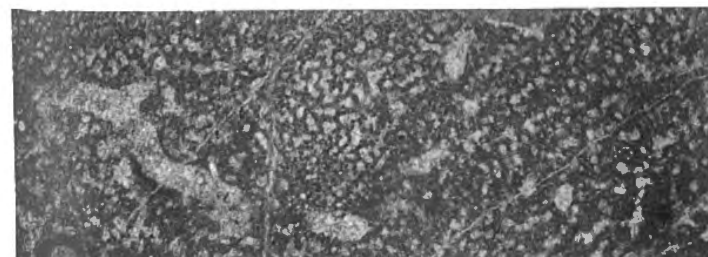
Fig. 1-2. — *Syringostroma perfectum* nov. sp.



3 ($\frac{3}{1}$)

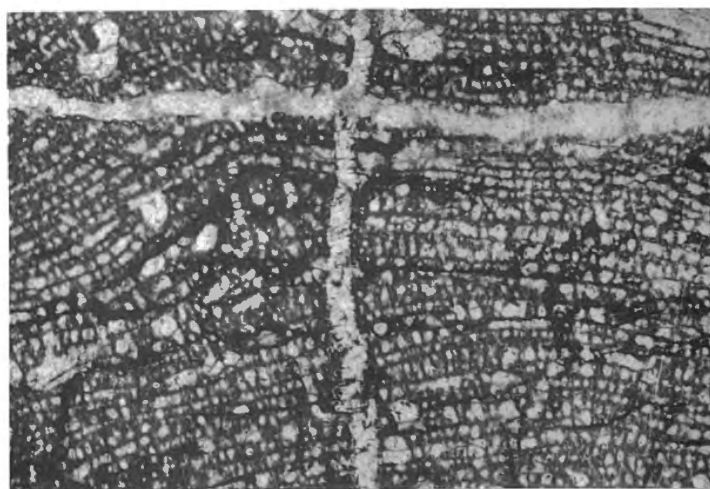


3 a ($\frac{12}{1}$)



3 b ($\frac{12}{1}$)

Fig. 3. — *Syringostroma microfrosom* nov. sp.



4 ($\frac{12}{1}$)

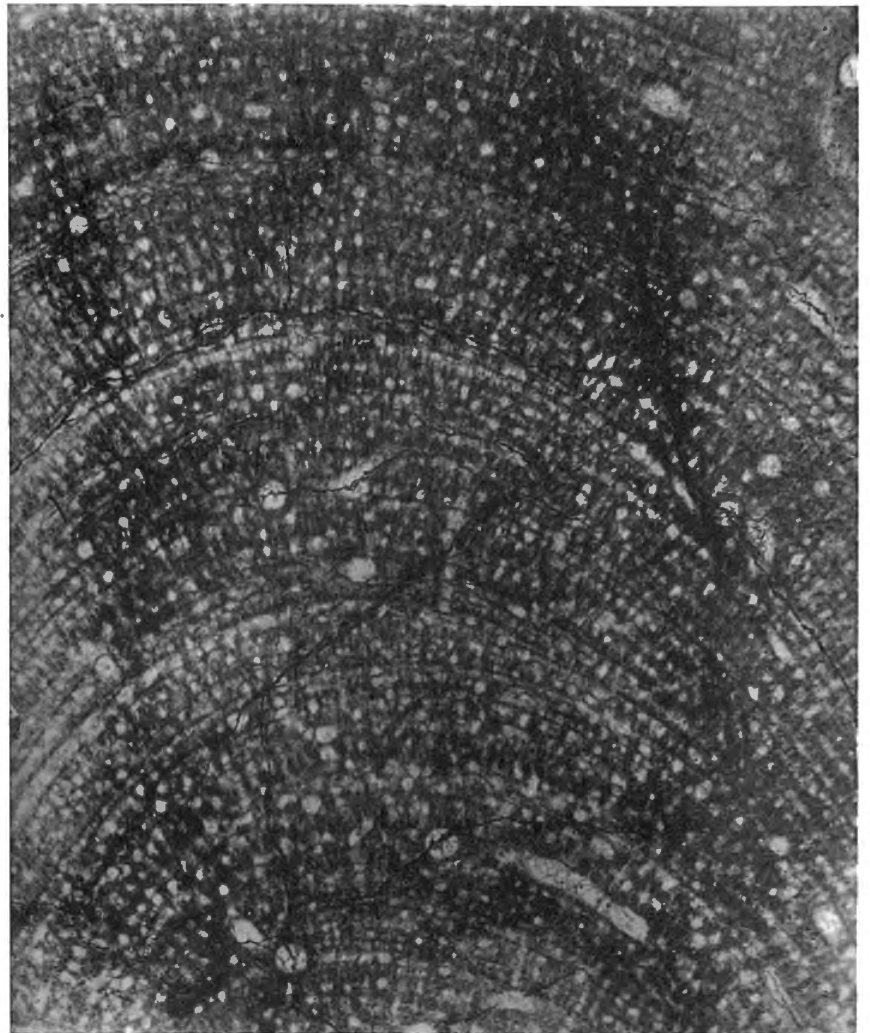
Fig. 4. — *Syringostroma microfrosom* mut. *latum* mut. nov.

EXPLICATION DE LA PLANCHE XXXI.

	Pages.
FIG. 1 à 2. — <i>Syringostroma capitatum</i> (GOLDFUSS)	202
1. Coupe verticale dans le spécimen type (×3). Lame taillée à l'Institut royal des Sciences naturelles de Belgique et conservée au Musée de Paléontologie de l'Université de Bonn. Dévonien moyen de Bensberg.	
1a. Partie agrandie de la même coupe (×12).	
2. Coupe tangentielle dans un spécimen de l'Ardenne (×3). Pl. Surice 7328, n° 8608, <i>F2g</i> .	
2a. Coupe verticale dans le même spécimen (×3).	
FIG. 3. — <i>Syringostroma percanaliculatum</i> nov. sp.	204
3. Coupe verticale dans un paratype (×3). Pl. Rance 50, n° 5876, <i>F2g</i> .	
3a. Coupe tangentielle dans le même spécimen (×3).	



1^a ($\frac{12}{1}$)



1 ($\frac{3}{1}$)

2 ($\frac{3}{1}$)

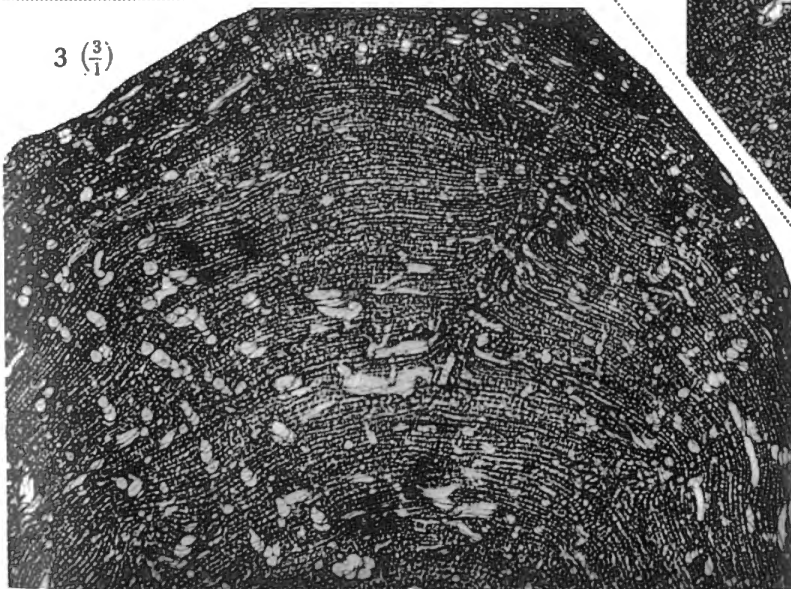


2^a ($\frac{3}{1}$)



Fig. 1-2. — *Syringostroma capitatum* (GOLDFUSS).

3 ($\frac{3}{1}$)



3^a ($\frac{3}{1}$)

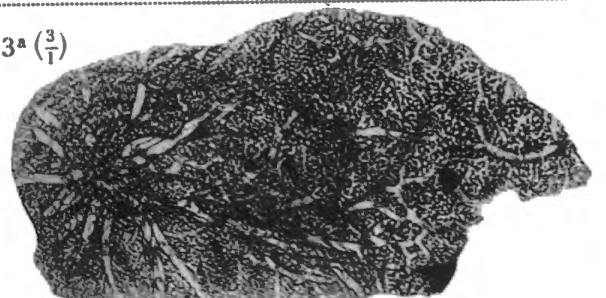


Fig. 3. — *Syringostroma percanaliculatum* nov. sp.

EXPLICATION DE LA PLANCHE XXXII.

	Pages.
FIG. 1 à 2: — <i>Syringostroma percanaliculatum</i> nov. sp.	204
1. Coupe verticale dans le holotype (×3). Pl. Rance 50, n° 5477, F2g.	
1a. Partie agrandie de la même coupe (×12).	
2. Coupe verticale dans un paratype (×3). Pl. Rance 50, n° 5498, F2g.	
FIG. 3. — <i>Syringostroma vesiculosum</i> nov. sp.	206
3. Coupe tangentielle dans le holotype (×3). Pl. Rance 50, n° 5484, F2g.	
3a. Coupe verticale dans le même spécimen (×3).	
3b. Partie agrandie de la même coupe (×12).	

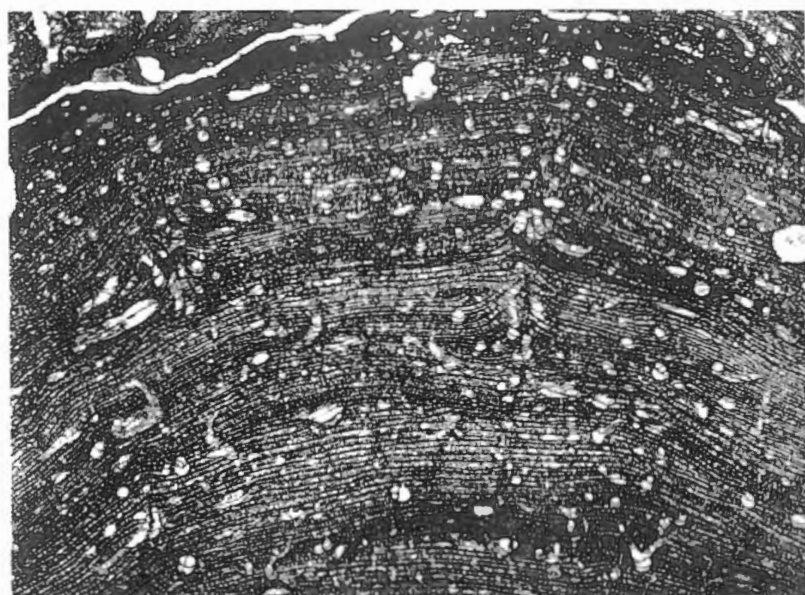
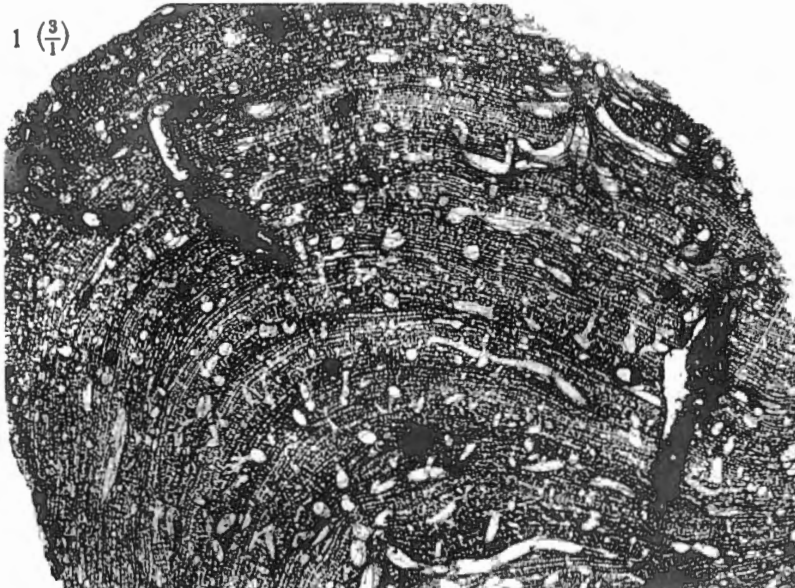


Fig. 1-2. — *Syringostroma percanaliculatum* nov. sp.

2 $\left(\frac{3}{1}\right)$

3^b $\left(\frac{12}{1}\right)$

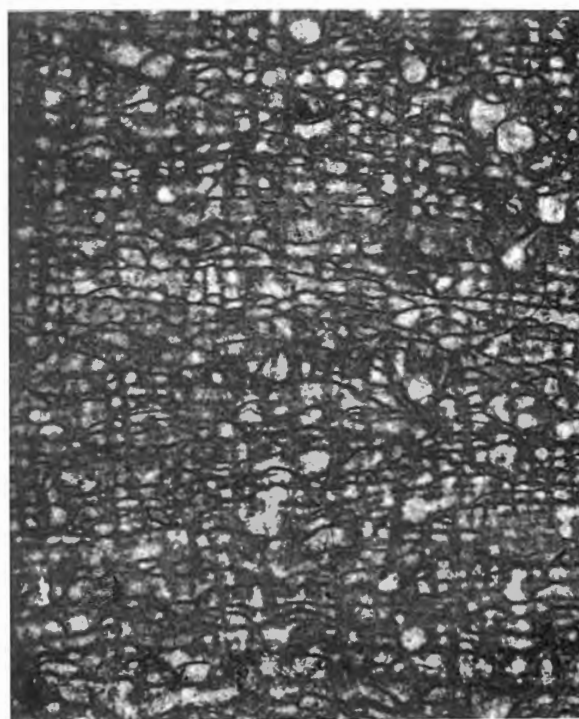


Fig. 3. — *Syringostroma vesiculosum* nov. sp.

3^a $\left(\frac{3}{1}\right)$

EXPLICATION DE LA PLANCHE XXXIII.

	Pages
FIG. 1 à 4. — <i>Syringostroma vesiculosum</i> nov. sp.	206
1. Coupe tangentielle dans un paratype (×3). Pl. Rance 50, n° 5505, <i>F2g</i> .	
2. Lame verticale à tissu partiellement vésiculaire en disposition zonaire (×3). Pl. Rance 50, n° 5843, <i>F2g</i> .	
3. Coupe verticale dans un autre paratype à tissu entièrement vésiculaire (×3). Pl. Rance 50, n° 5882, <i>F2g</i> .	
4. Coupe verticale dans un spécimen à éléments squelettiques très serrés (×3). Pl. Rance 50, n° 5481, <i>F2g</i> .	
FIG. 5. — <i>Syringostroma micropertusum</i> nov. sp.	208
5. Lame verticale dans le holotype (×3). Pl. Rance 50, n° 5869, <i>F2g</i> .	
5a. Partie agrandie de la même coupe (×12).	

EXPLICATION DE LA PLANCHE XXXIV.

	Pages.
FIG. 1 à 4. — <i>Syringostroma minutitextum</i> nov. sp.	209
1 Coupe verticale dans le holotype (×3). Pl. Olloy 12, n° 5145, <i>Gtd.</i>	
1a. Partie agrandie de la même coupe (×12).	
2. Coupe tangentielle dans un spécimen à tissu très épaissi (×3). Pl. Olloy 12, n° 5188, <i>Gtd.</i>	
3. Autre coupe tangentielle dans un spécimen à tissu normal (×3). Pl. Olloy 12, n° 4846, <i>Gtd.</i>	
4. Coupe verticale dans un paratype à éléments squelettiques bien différenciés (×3). Pl. Olloy 12, n° 5186, <i>Gtd.</i>	
FIG. 5. — <i>Syringostroma lensiforme</i> nov. sp.....	211
5. Coupe dans le holotype (×3). Pl. Senzeille 6848, n° 5134, <i>Gtd.</i>	
5a. Partie agrandie de la même coupe (×12).	
5b. Coupe verticale dans le même spécimen (×12).	

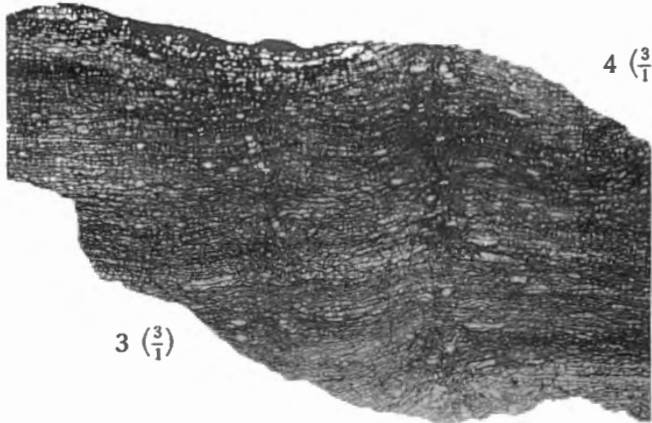
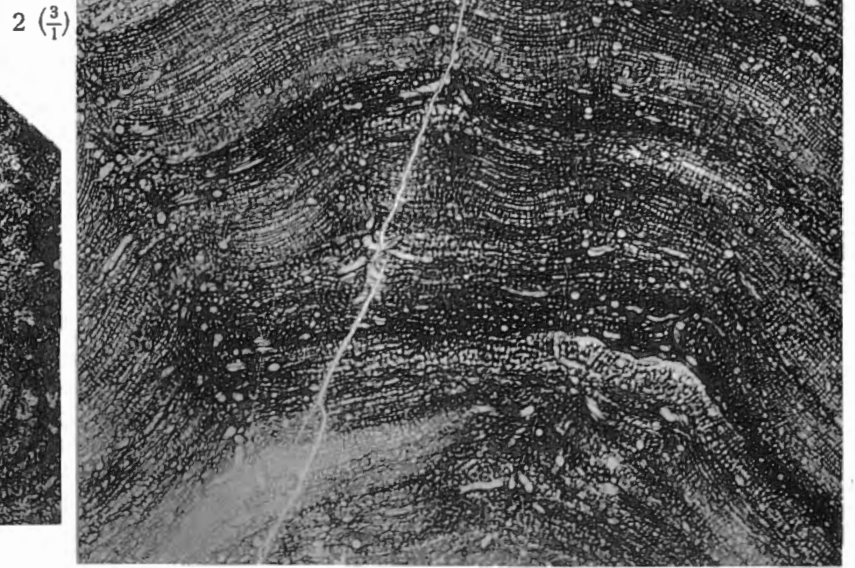
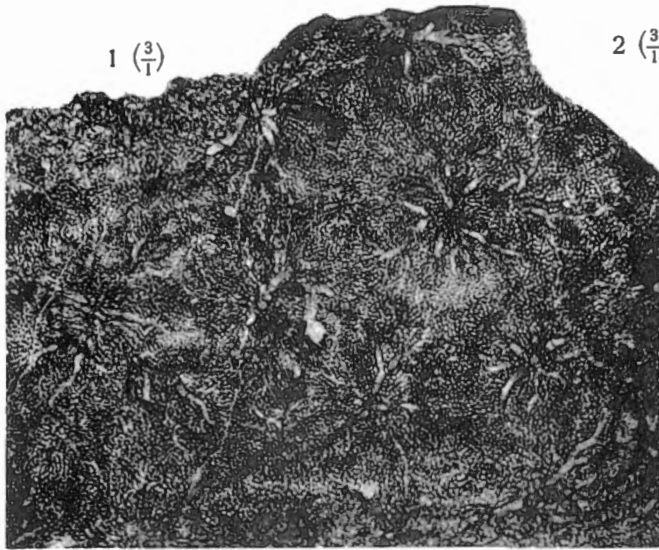


Fig. 1-4. — *Syringostroma vesiculosum* nov. sp.

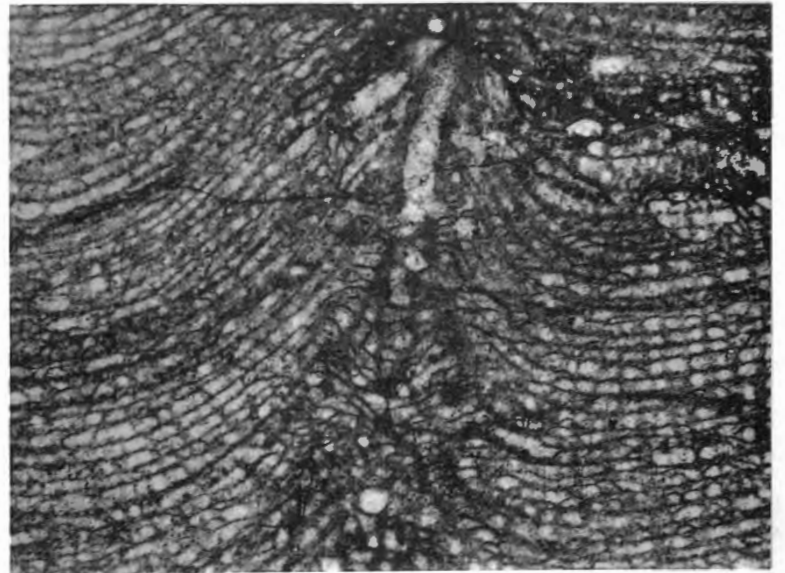
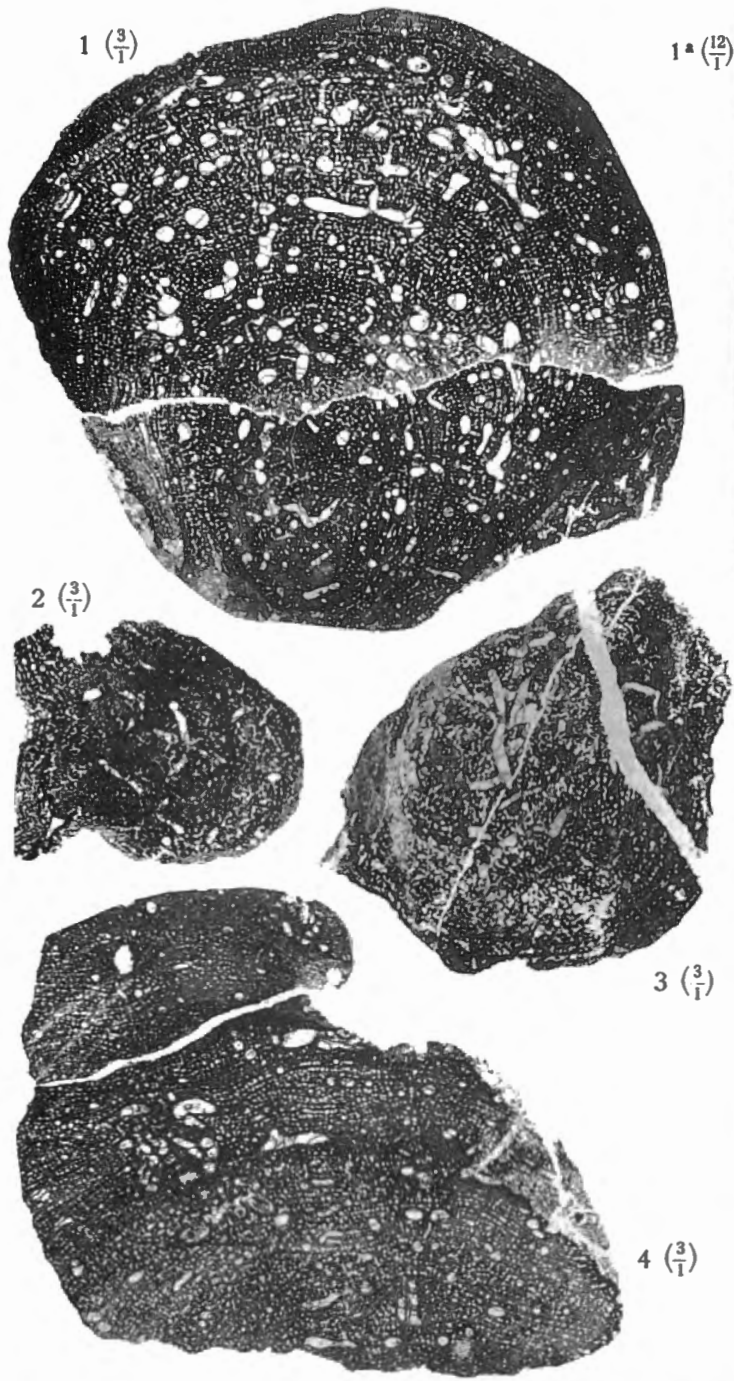


Fig. 5. — *Syringostroma micropertusum* nov. sp.

EXPLICATION DE LA PLANCHE XXXV.

	Pages.
FIG. 1. <i>Syringostroma lensiforme</i> nov. sp.	211
1. Coupe verticale dans le paratype (×3). Pl. Olloy 12, n° 4802, <i>Gid.</i>	
FIG. 2. — <i>Syringostroma baccatum</i> nov. sp.	212
2. Coupe verticale dans le holotype (×3). Pl. Senzeille 6848, n° 5134, <i>Gid.</i>	
2a. Partie agrandie de la même coupe (×12).	
2b. Autre coupe verticale dans le même spécimen (×3).	
2c. Partie agrandie de la coupe précédente (×12).	
2d. Coupe tangentielle dans le même spécimen (×12).	



1^a ($\frac{12}{1}$)

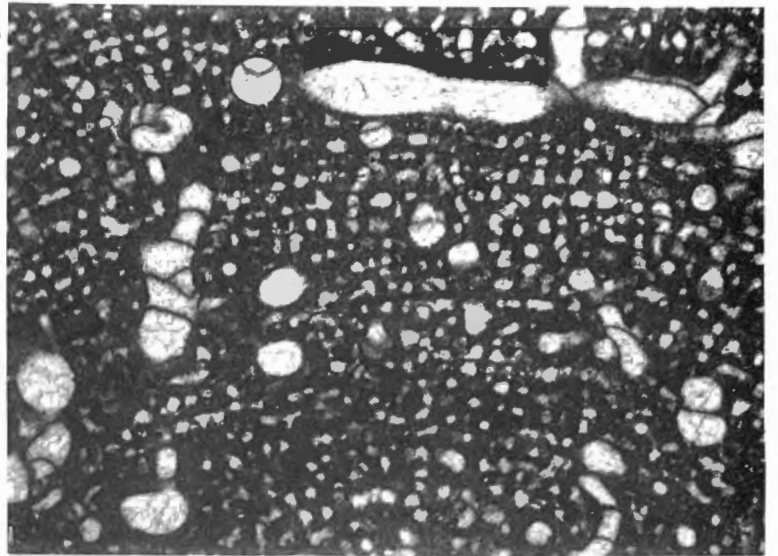
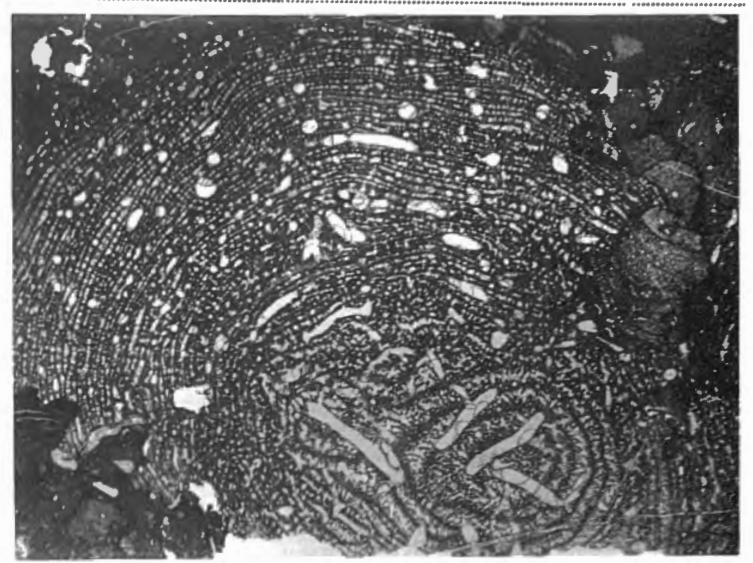
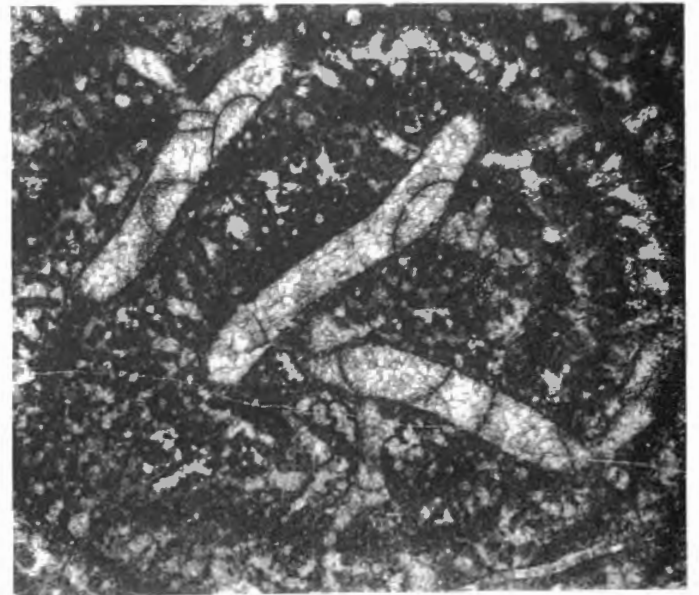


Fig. 1-4. — *Syringostroma minutitextum* nov. sp.



5 ($\frac{3}{1}$)

5^a ($\frac{12}{1}$)



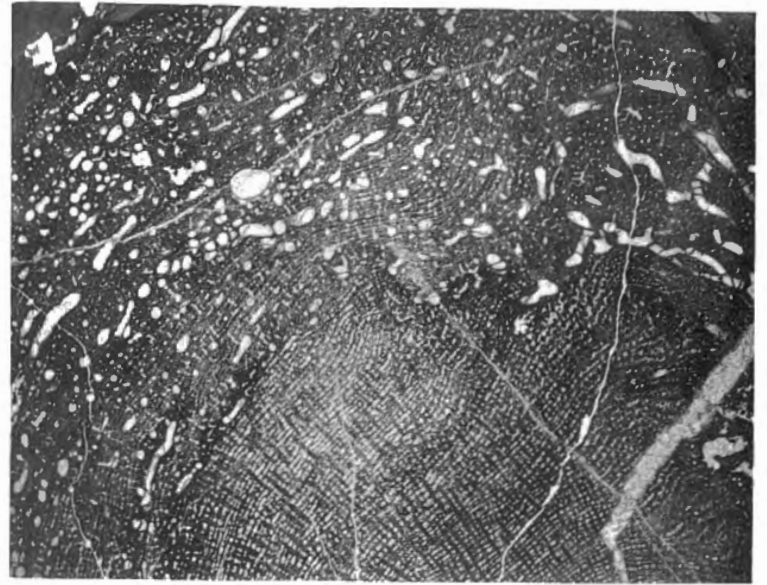
5^b ($\frac{12}{1}$)

Fig. 5. — *Syringostroma lensiforme* nov. sp.

1 ($\frac{3}{1}$)



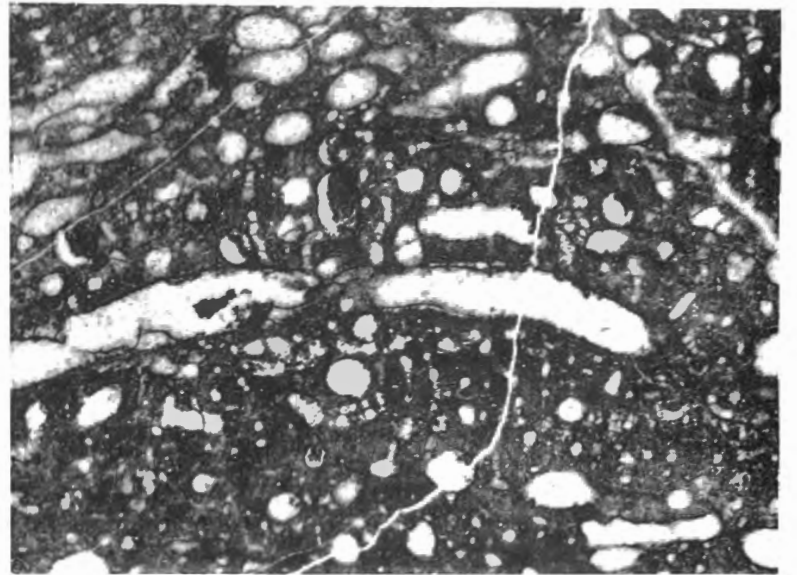
Fig. 1. — *Syringostroma lensiforme* nov. sp.



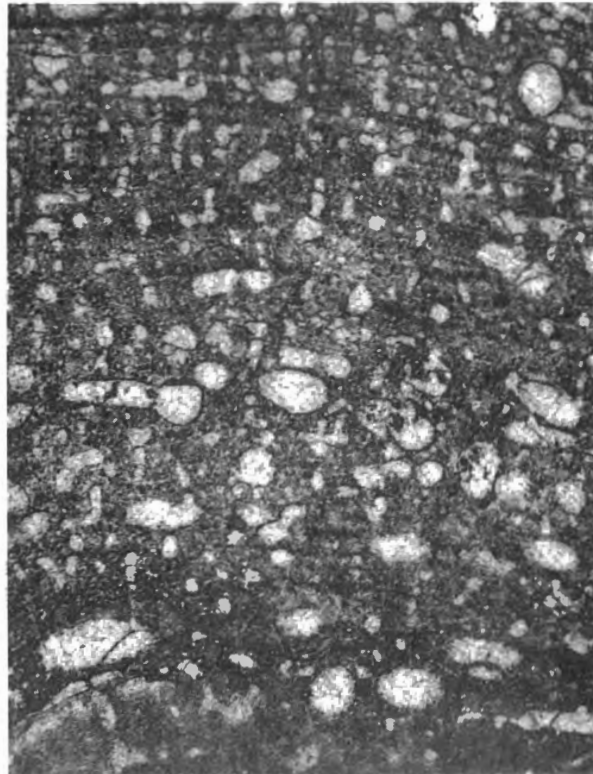
2 ($\frac{3}{1}$)



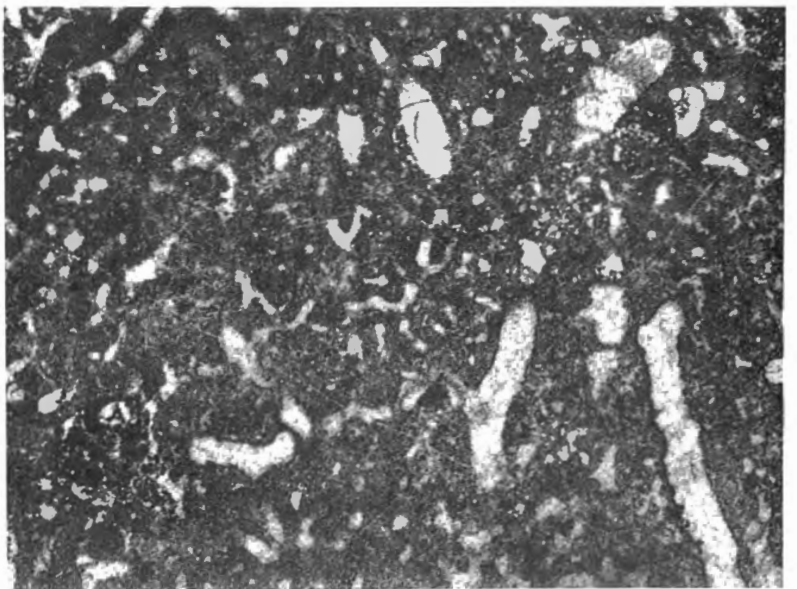
2b ($\frac{3}{1}$)



2a ($\frac{12}{1}$)



2c ($\frac{12}{1}$)



2d ($\frac{12}{1}$)

Fig. 2. — *Syringostroma baccatum* nov. sp.